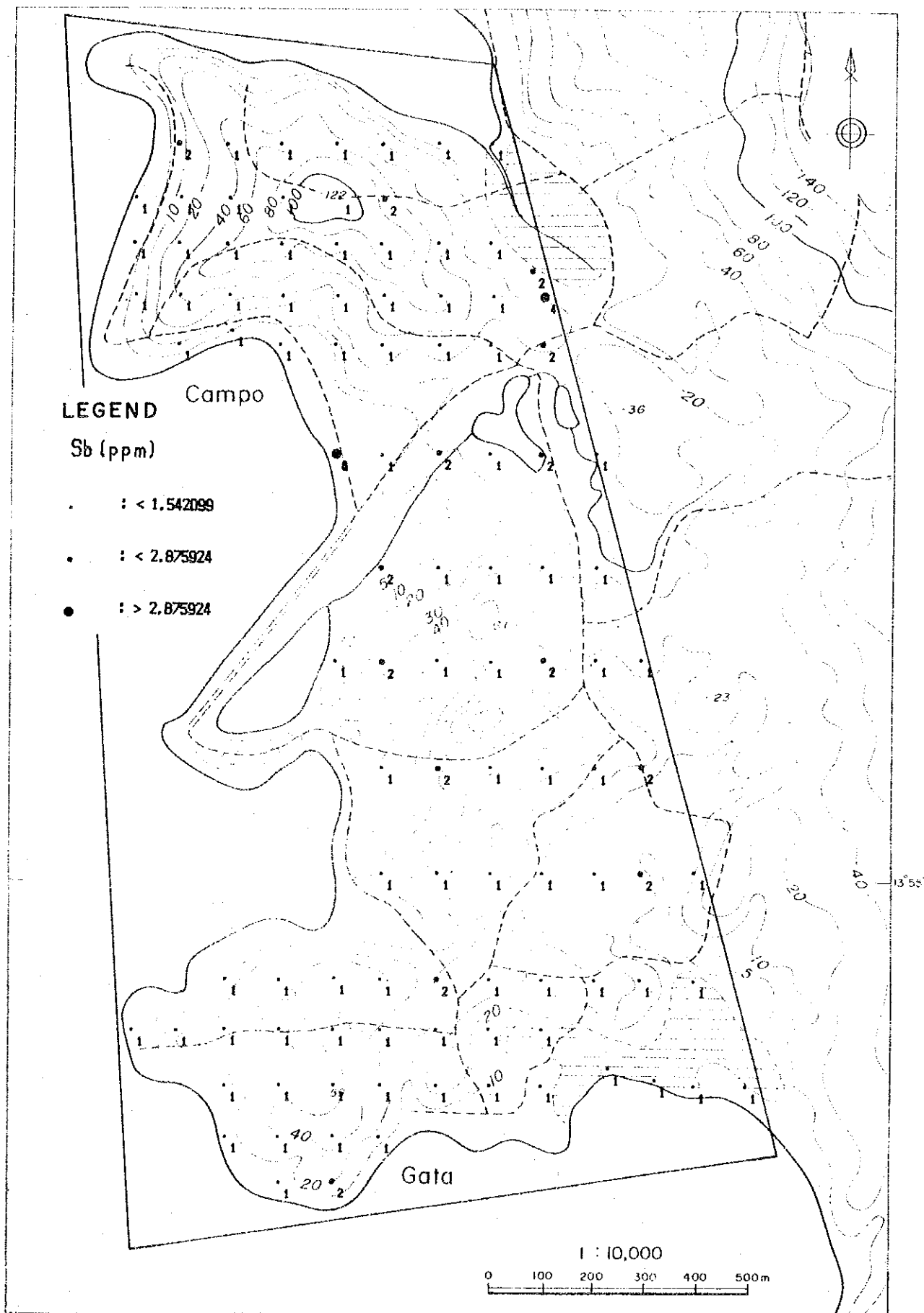
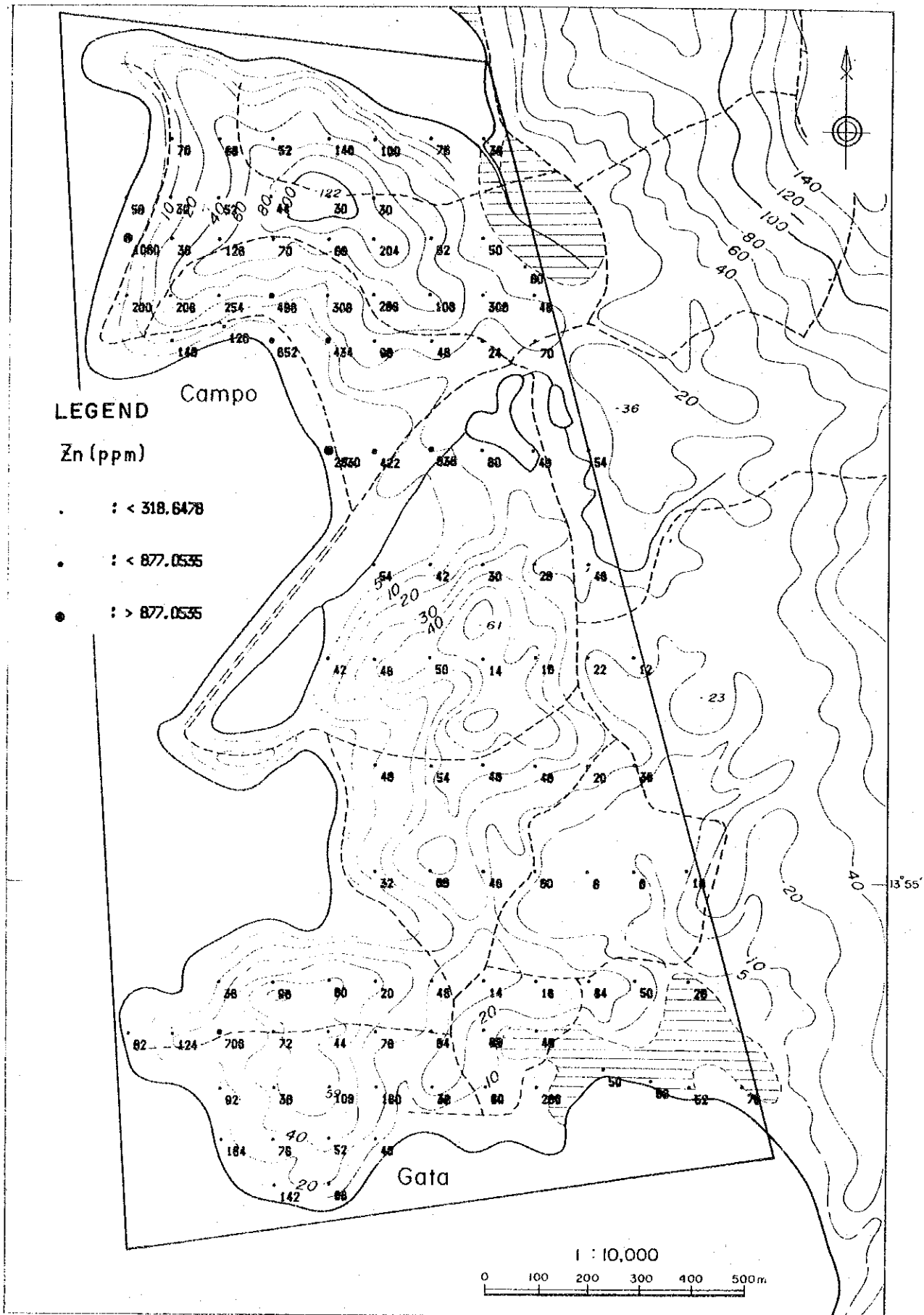


第41图 土壤化学异常值分布图(精查地域)(8)



第 4 1 图 土壤化学异常值分布图 (精查地域) (9)



第 4 1 図 土壤地化学異常値分布図 (精査地域) (10)

[Pb] 鉛の異常域の分布はカンボ鉱微地に限られる。カンボ鉱微地南斜面からカンボ集落西の海浜にかけて異常域が分布するほか、カンボ集落北東の尾根、西海岸にごく小規模な異常域が認められる。

[S] 硫黄はカンボ鉱微地南斜面からカンボ集落南方の低地にかけて比較的広い異常域が分布するほか、西海岸に狭い異常域が分布する。ガタ鉱微地東方の低地にはやや強い異常域の分布が認められる。

[Sb] アンチモニーはカンボ鉱微地東からカンボ集落南方の低地を経てカリシン岬東の丘の西～南斜面を通過してガタ鉱微地北東の低地に至る帯状の異常域が認められるほか、カンボ鉱微地の東西の尾根、西海岸、ガタ鉱微地の北斜面、南海岸にごく狭い異常域が認められる。

[Zn] 亜鉛はカンボ鉱微地南の低地に広い異常域が分布するほか、ガタ鉱微地西部に極めて狭い異常域が認められる。

両鉱微地には全域に金の異常が見られ、両地区のポテンシャルの高いことが確認された。カンボ鉱微地南部ではすべての元素の異常が認められ、ポテンシャルの高い地区である。また、カンボ鉱微地の南部の海岸から貯水池にかけても異常が認められるが、これは二次汚染による異常と思われる。

ガタ集落付近には金・銀・砒素の異常が重なっており、この地区も重要な地点である。

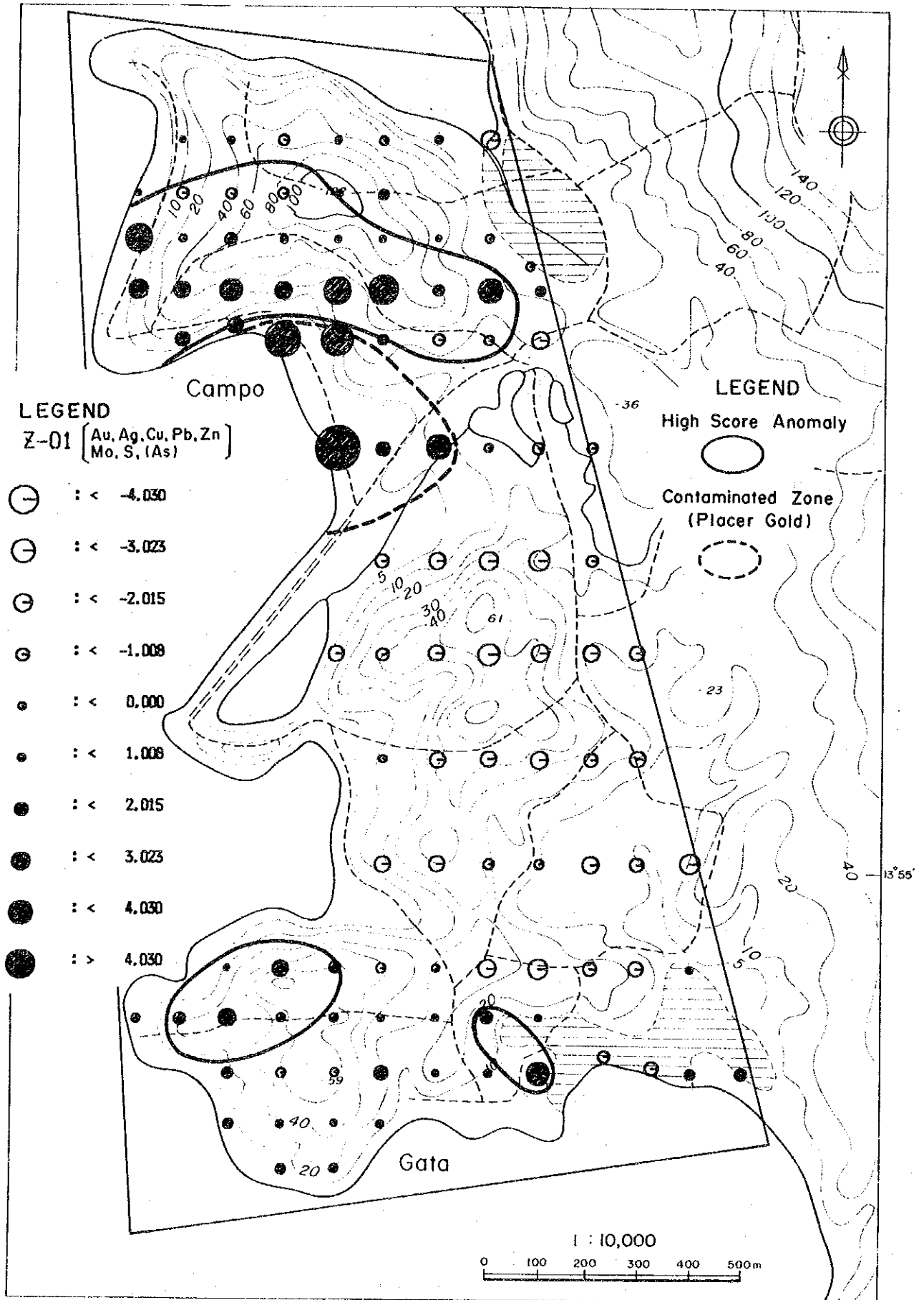
(3) 主成分分析結果

指示元素同士が相関をもって挙動しているか、また、相関の強いグループがあるとするればどのような因子によって支配されているのかを検討するため、主成分分析を行った。

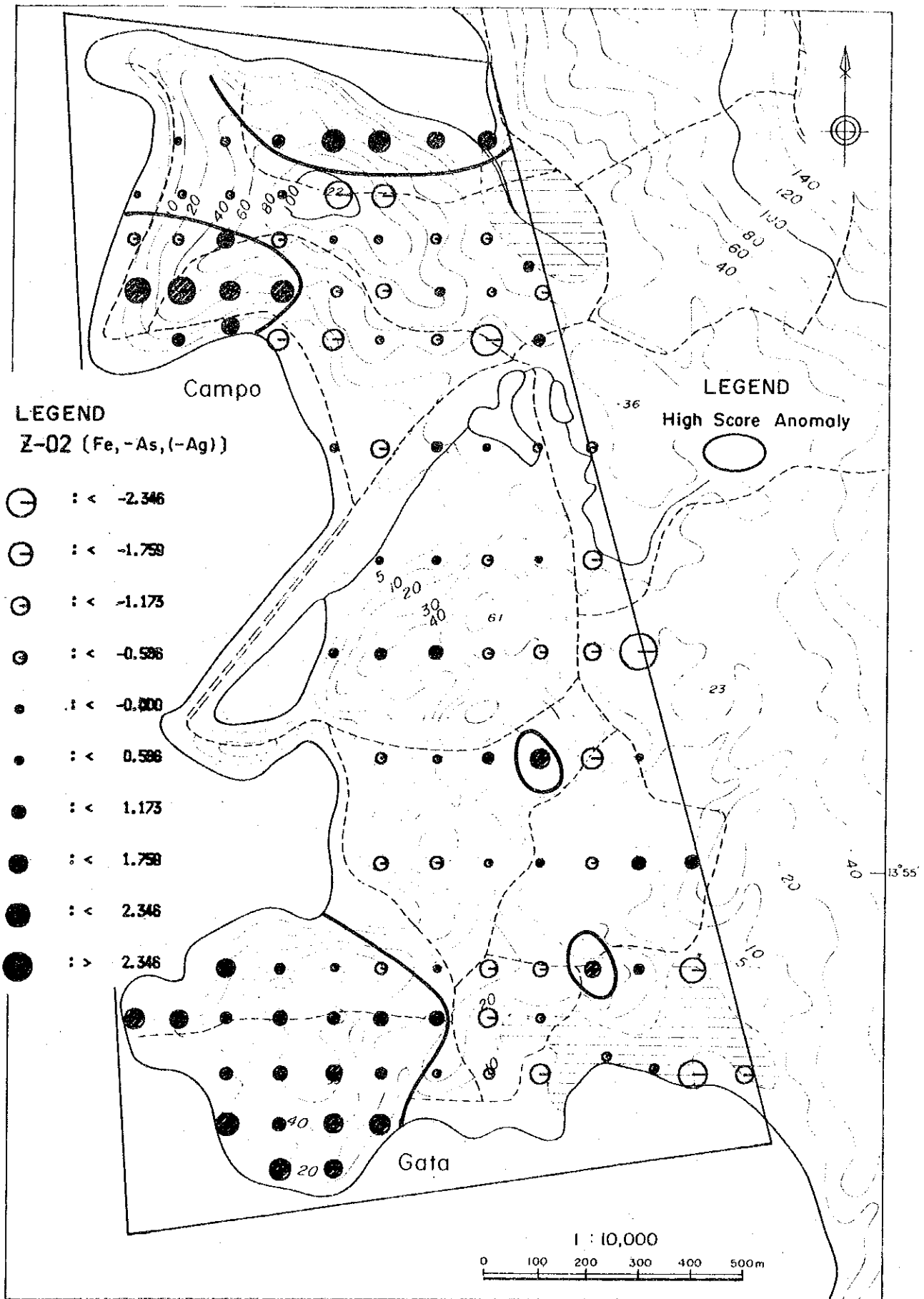
主成分分析の計算には、第38表の相関行列を用いた。ただし、水銀は分析検出限界以上の値を示す試料が少なかったため、処理から除外した。主成分分析結果を第40表に、主成分得点図を第42図に示す。

第40表 主成分分析結果（土地化学探査・精査地域）

固有値				因子負荷量					
主成分	固有値	寄与率	累積	Z-01	Z-02	Z-03	Z-04	Z-05	
Z-01	<u>4.061</u>	<u>40.610</u>	<u>40.610</u>	Pb	<u>0.880</u>	0.189	-0.153	-0.218	0.001
Z-02	<u>1.375</u>	<u>13.754</u>	<u>54.364</u>	Zn	<u>0.852</u>	0.233	0.040	-0.098	-0.022
Z-03	<u>1.055</u>	<u>10.554</u>	<u>64.918</u>	Cu	<u>0.819</u>	0.226	0.015	0.132	-0.075
Z-04	0.822	8.222	73.139	Au	<u>0.812</u>	0.107	-0.126	-0.390	-0.079
Z-05	0.764	7.643	80.782	Ag	<u>0.574</u>	-0.469	0.183	0.153	-0.033
Z-06	0.593	5.925	86.707	Mo	<u>0.522</u>	-0.346	-0.178	<u>0.508</u>	0.386
Z-07	0.559	5.592	92.299	Fe	0.394	<u>0.633</u>	0.180	0.324	0.298
Z-08	0.426	4.260	96.559	As	0.406	<u>-0.599</u>	0.078	-0.360	0.412
Z-09	0.233	2.334	98.893	Sb	0.109	-0.033	<u>0.953</u>	-0.036	-0.052
Z-10	0.111	1.107	100.000	S	<u>0.545</u>	-0.351	-0.052	0.280	<u>-0.584</u>



第42图 主成分得点分布图(土地化学探査, 精査地域)(1)



第42图 主成分得分点分布图(土壤地化学探查, 精查地域)(2)

第38表の相関行列において、金・銅・鉛・亜鉛の間に比較的強い正の相関が見られることから推察される様に、主成分分析結果でもきわめて明瞭な結果が得られた。すなわち、第1主成分は、固有値が4.06、寄与率が40.6%であり、全元素の分析値の変動の2/5以上を説明している。また、第3主成分までの固有値が1.0以上の値を示している。各々の主成分には以下のような特徴を示す因子が含まれているものと考えられる。

第1主成分： 金・銀・銅・鉛・亜鉛・モリブデン・硫黄・（砒素）の因子負荷量が大きく、明らかに鉱化作用を代表する因子である。鉱化作用には金・銀・銅・鉛・亜鉛・モリブデンを伴うことが推定される。主成分得点分布図ではカンボ鉱微地、ガタ鉱微地及びその周辺にプラスの得点が分布している。特にカンボ鉱微地及びその南斜面下には高得点異常域が分布する。しかし、カンボ鉱微地南方の平坦地の高得点域は、選鉱場跡、ズリなどによる二次汚染によるものと判断される。現在、付近の海岸では海砂から砂金を採取している。

第2主成分： 鉄・砒素・（銀）の因子負荷量が多い。風化作用による褐鉄鉱化作用などとの関連が推定される因子である。主成分得点分布図では鉱微地周辺の斜面に高得点域が分布している。

第3主成分： 特に地質的に意味のある因子との関連を推定することができない。

以上の様に、鉱化作用の指標としては、第1主成分に金・銀・銅・鉛・亜鉛・モリブデンの鉱化作用を表現する因子が集約されており、金・銀・銅・鉛・亜鉛・モリブデン・硫黄・（砒素）が類似した挙動を示していることがわかる。主成分得点分布は既知鉱微地の分布と極めて調和的であり、これらの元素と関係のある元素の挙動を追跡することが、ラフイ島における重要な探査指標となろう。

3-4-4 概査地域の土地化学探査

(1) データ解析

地化学データ処理に当たっては分析値の常用対数を用いた。検出限界値未満のデータは検出限界値の1/2の値を便宜的に統計計算に使用した。

(1-1) 統計解析

概査地域の土地微量成分の基本統計値を第41表に示す。精査地域のデータに比べ、金・鉛・硫黄・亜鉛がかなり低くなっているのに対し、銅はほとんど変わらない平均値となっている。銀・砒素・モリブデン・アンチモニーでは精査地域のデータに比べ若干低めの値となっており、鉄は逆に若干高めの値となっている。

第41表 土壤微量成分基本統計値（概査地域）

元素	単位	最大値	最小値	平均値	対数平均値	標準誤差
Au	ppb	154	<1	5.244	0.324	0.021
Ag	ppm	0.6	<0.2	0.112	-0.966	0.004
As	ppm	30	<2	3.606	0.294	0.016
Cu	ppm	226	8	58.732	1.726	0.008
Fe	%	12.7	1.66	4.602	0.650	0.004
Hg	ppm	2	<1	0.544	-0.278	0.003
Mo	ppm	2	<1	0.569	-0.264	0.004
Pb	ppm	214	<2	5.769	0.465	0.018
S	%	0.65	<0.001	0.015	-2.341	0.028
Sb	ppm	6	<2	1.167	0.042	0.005
Zn	ppm	172	16	50.402	1.686	0.005

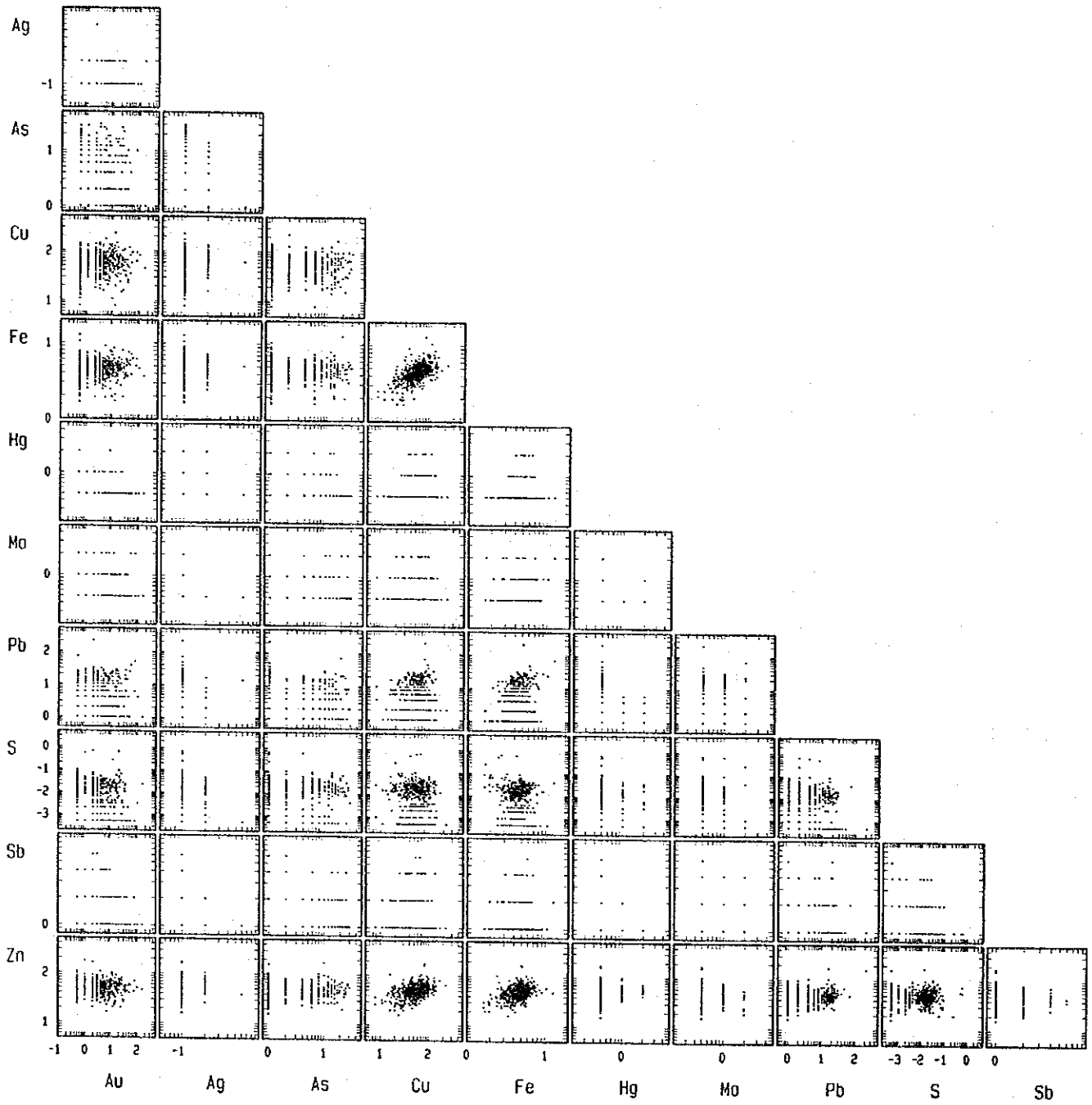
第42表に概査地域の土壤微量成分の相関行列を、第43図に土壤微量成分分析値の散布図を示す。銅と鉄の間に正の相関が認められ、銅と亜鉛の間にごく弱い正の相関がある。精査地域で顕著に認められた、金と銅・鉛・亜鉛の間の正の相関は認められないが、精査地域の地化学データは本島における金鉱化作用の性格を端的に示すものと考えられるため、銅・鉛・亜鉛の挙動には注意を払う必要がある。

第42表 土壤微量成分の相関行列（概査地域）

	Au	Ag	As	Cu	Fe	Hg	Mo	Pb	S	Sb	Zn
Au	1.000										
Ag	-0.071	1.000									
As	-0.035	-0.060	1.000								
Cu	0.198	0.139	-0.011	1.000							
Fe	0.112	0.028	-0.012	0.590	1.000						
Hg	-0.128	0.098	0.101	0.029	0.061	1.000					
Mo	0.144	-0.116	0.042	0.015	0.075	-0.056	1.000				
Pb	0.108	-0.137	0.018	0.084	0.167	-0.120	0.203	1.000			
S	-0.159	0.106	0.199	-0.140	-0.110	-0.049	-0.133	-0.039	1.000		
Sb	0.038	-0.085	0.104	-0.023	0.012	-0.059	0.156	0.055	-0.040	1.000	
Zn	-0.070	0.135	-0.005	0.411	0.386	0.117	-0.156	0.023	0.064	-0.110	1.000

(1-2) 異常値の区分（概査地域）

ガタ村鉱徴地と同様の方法でしきい値を決定した。金・砒素・銅・モリブデン・鉛・硫黄・亜鉛についてはデータの分布特性から、2段階に異常値を設けることで、特に分析値の大きい試料を区分した。第44図に土壤微量成分分析値の頻度分布図及び累積頻度分布図を示す。クラス区分は $1/2\sigma$ である。第43表に各元素の異常値の区分を示す。



第43図 土壤微量成分分析値の散布図(概査地域)

第43表 土地化学異常地の区分 (概査地域)

Au	M+ σ (7.643ppb)	M+2 σ (27.718ppb)
Ag	M+ σ (0.136ppm)	
As	M+ σ (5.259ppm)	M+2 σ (14.043ppm)
Cu	M+ σ (84.484ppm)	M+1.5 σ (106.433ppm)
Fe	M+1.5 σ (6.442%)	
Hg	M+2 σ (0.807ppm)	
Mo	M+1.5 σ (0.800ppm)	M+3 σ (1.174ppm)
Pb	M+ σ (8.698ppm)	M+2 σ (25.925ppm)
S	M+ σ (0.026%)	M+1.5 σ (0.061%)
Sb	M+1.5 σ (1.699ppm)	M+3 σ (2.620ppm)
Zn	M+ σ (63.968ppm)	M+1.5 σ (73.462ppm)

(2) 異常域の分布

第45図に概査地域の土地化学異常値の分布図を示す。

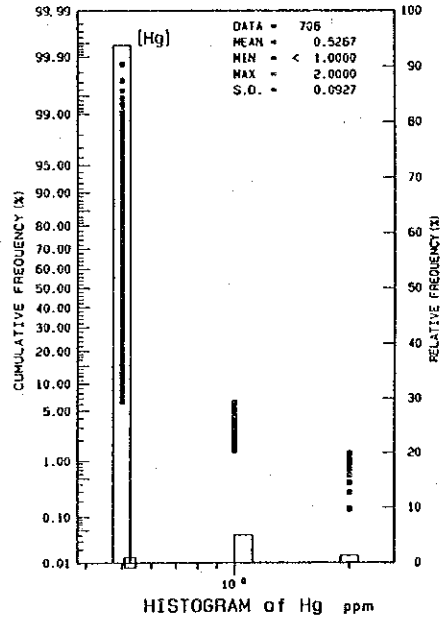
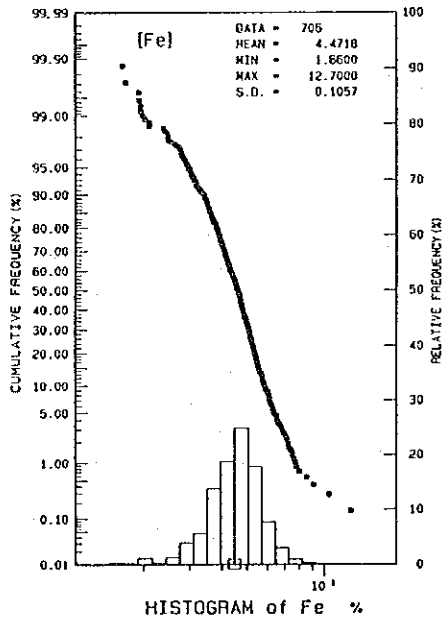
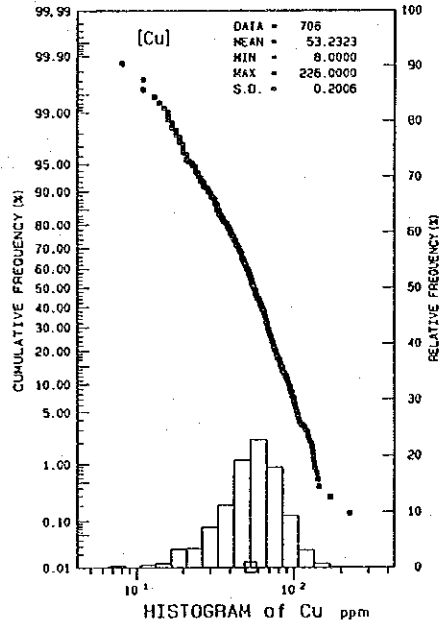
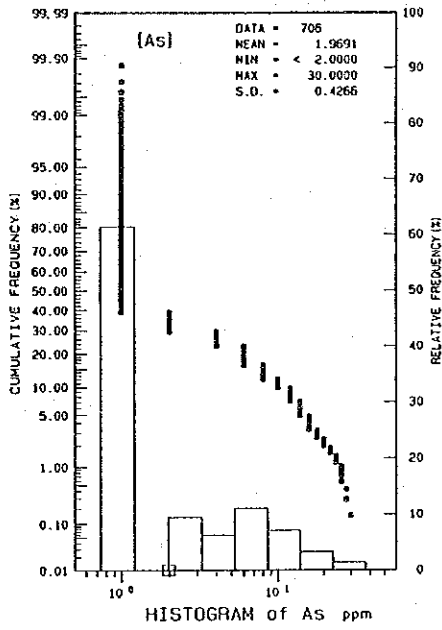
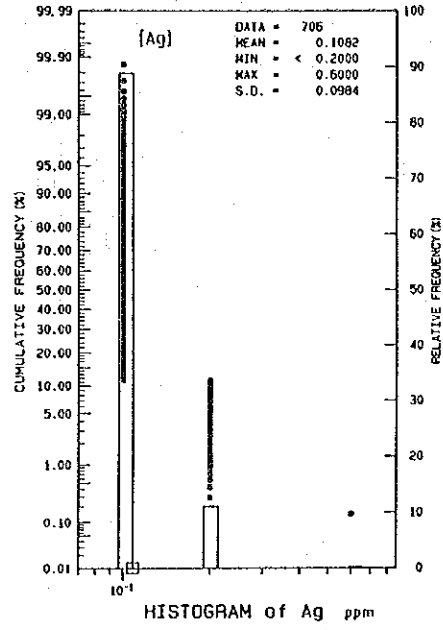
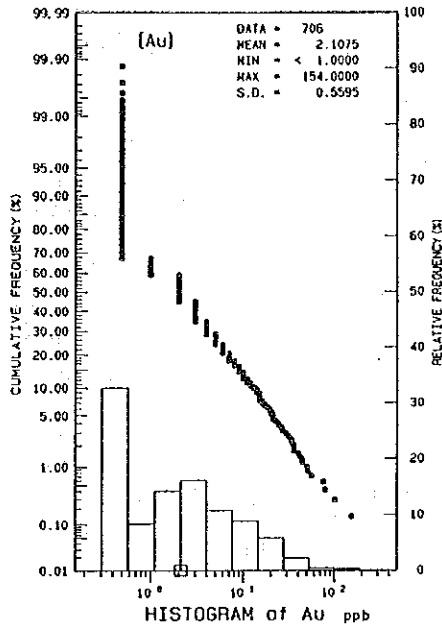
[Au] 金の異常域は本島の南部にまとまったものが見られる。本島の南東のオリン村から西方のガタ村に向かって西北西に延びる、比較的広い異常域の分布が認められる。この異常域はガタ村から南方に海岸沿いに延び、本島の南端近くまでの広がりを示している。特にオリン村付近でこの異常域はまとまった分布を示している。この他に比較的まとまった分布を示す異常域としては、カンボ鋳徴地東方からダラガ (Daraga) 村西方に向けて、南にふくらむ馬蹄形の異常域、ゴゴン村南西方に北北東の延びを示すもの、本島の北西部から東北東に延びるものなどがある。

[Ag] 銀については弱いコントラストしか現われていないが、本島の北部に異常域の分布が集まっており、ゴゴン村から西に向かう地区に比較的広い異常域の分布が認められる。

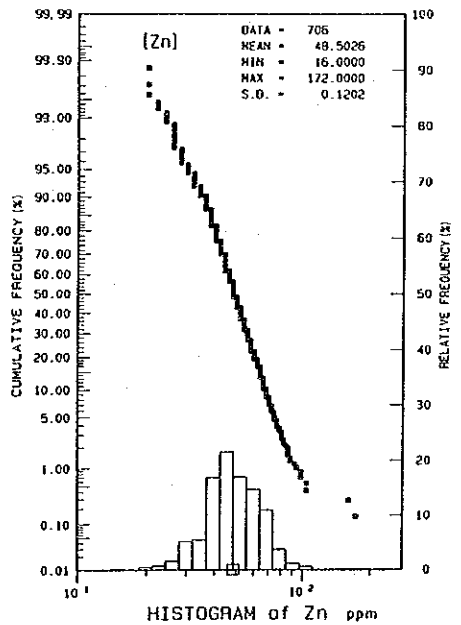
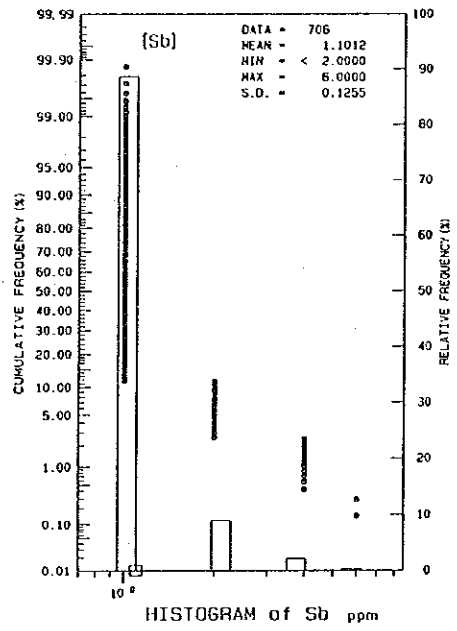
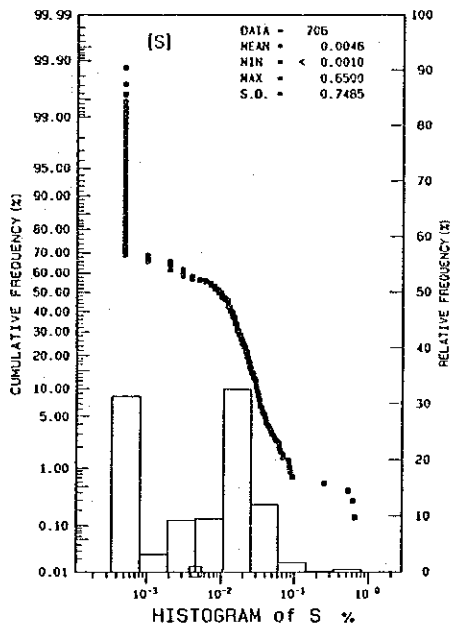
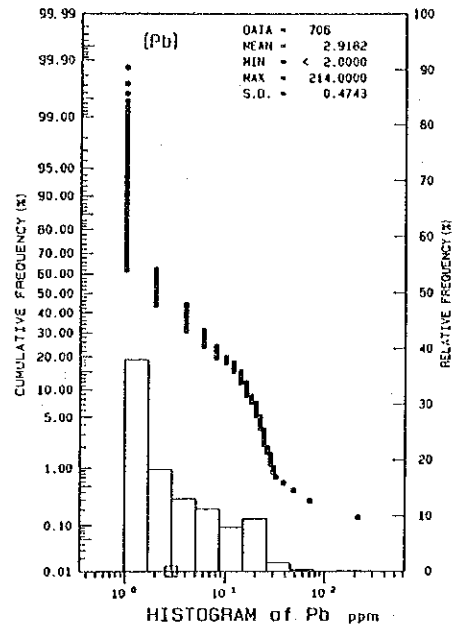
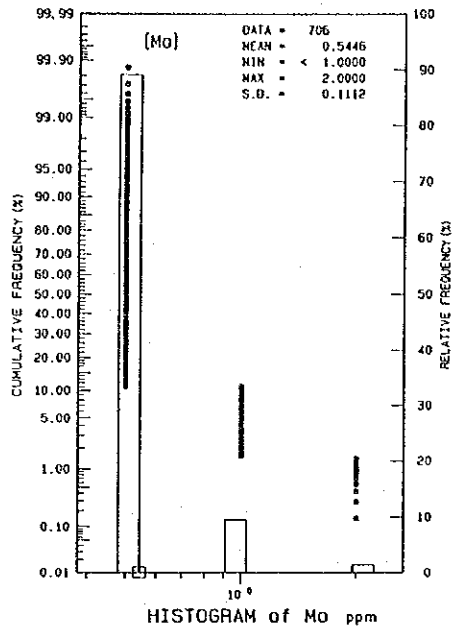
[As] 砒素については本島の北部にまとまった異常域の分布が認められ、ゴゴン村北方2km付近から西にやや強い異常域の分布が認められる。その北には小規模な異常域が点在する。また、ゴゴン村南西方に広く、複雑な形態を示す異常域が認められる。また、本島の中央部のダラガ村南方から、カンボ鋳徴地に向けて東西に異常域が延びている。本島の南部には小規模な異常域が点在する。

[Cu] 銅については本島の北西部を南北に走る顕著な異常域が認められるほか、北東部のゴゴン村をかこむ様に比較的まとまった異常域が分布する。また、本島の中央西部に半環状の形態を示す異常域の分布が認められる。本島の南部には小規模な異常域が点在するが、本島の南西部海岸沿いに分布する異常域は金・砒素・鉄の異常に重なるものである。

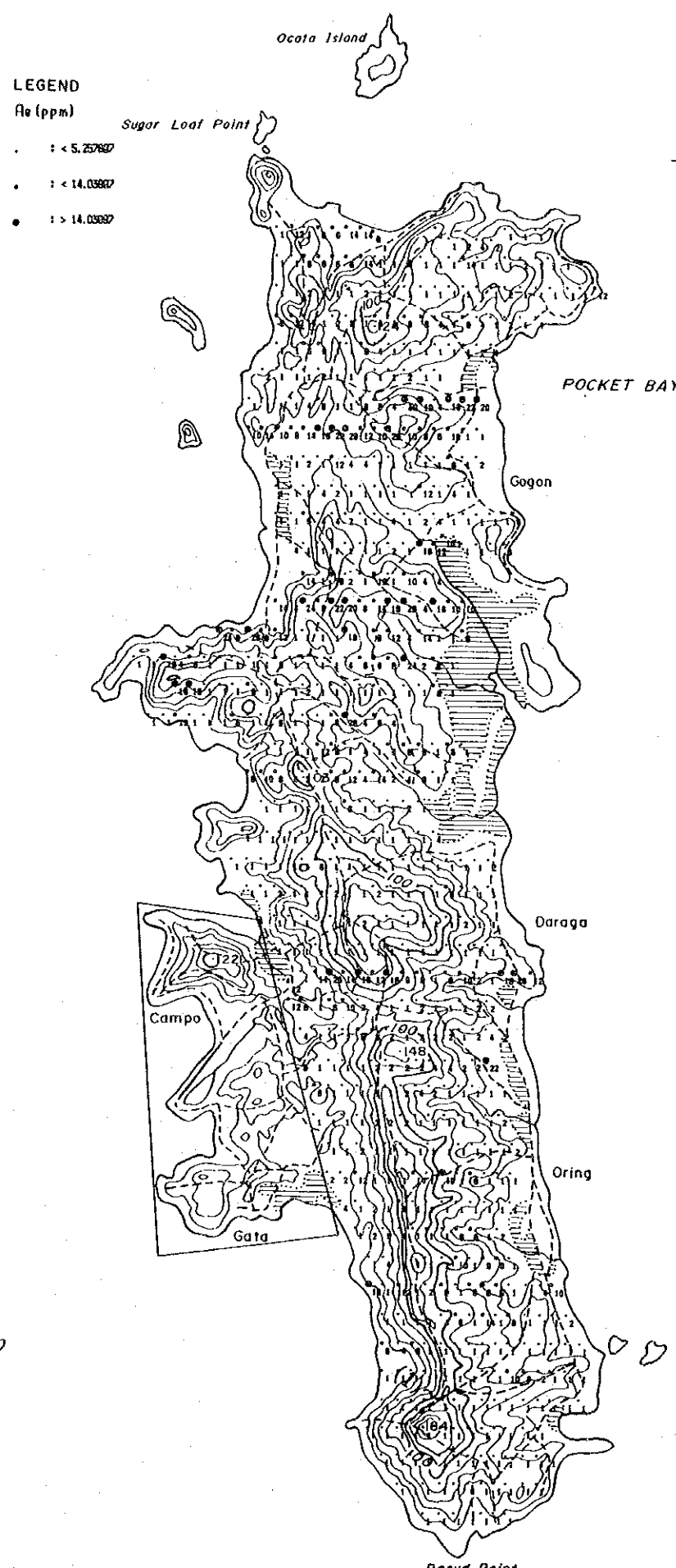
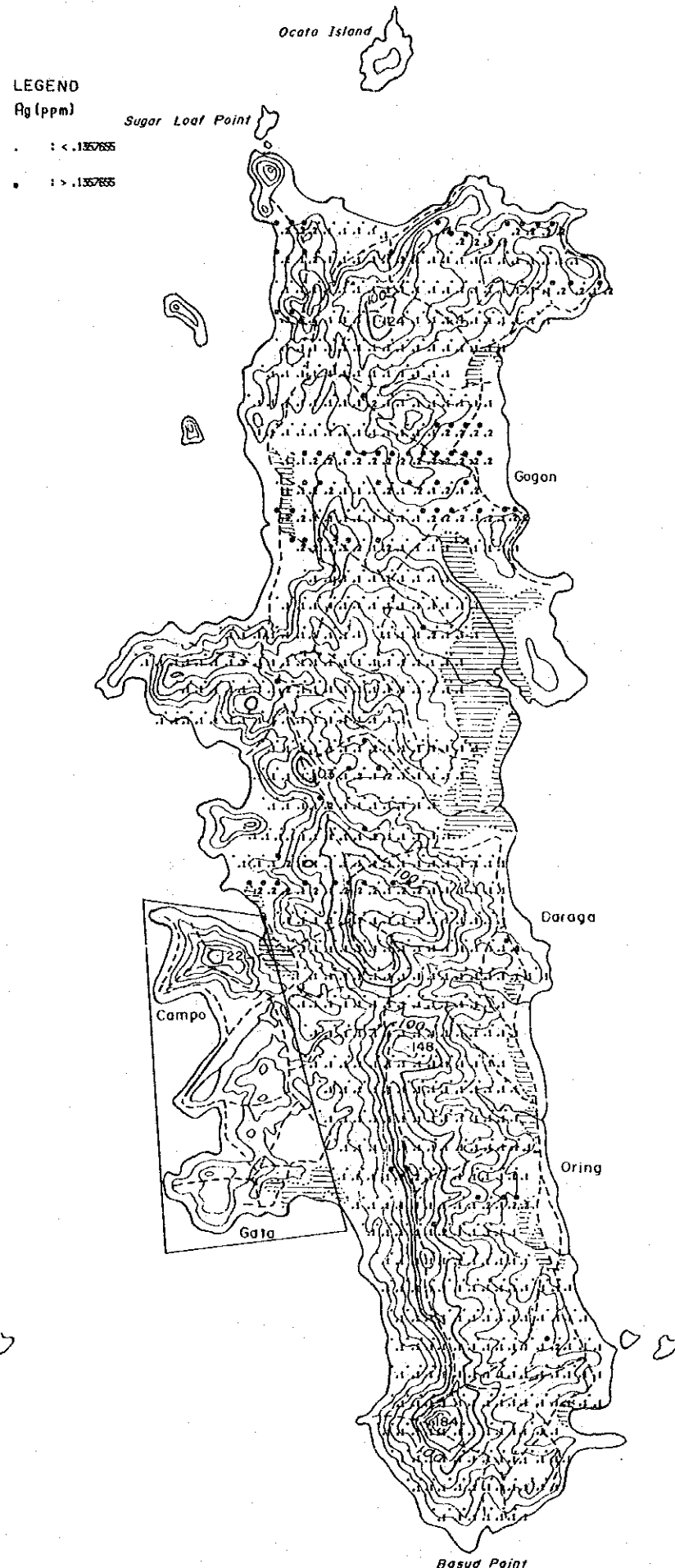
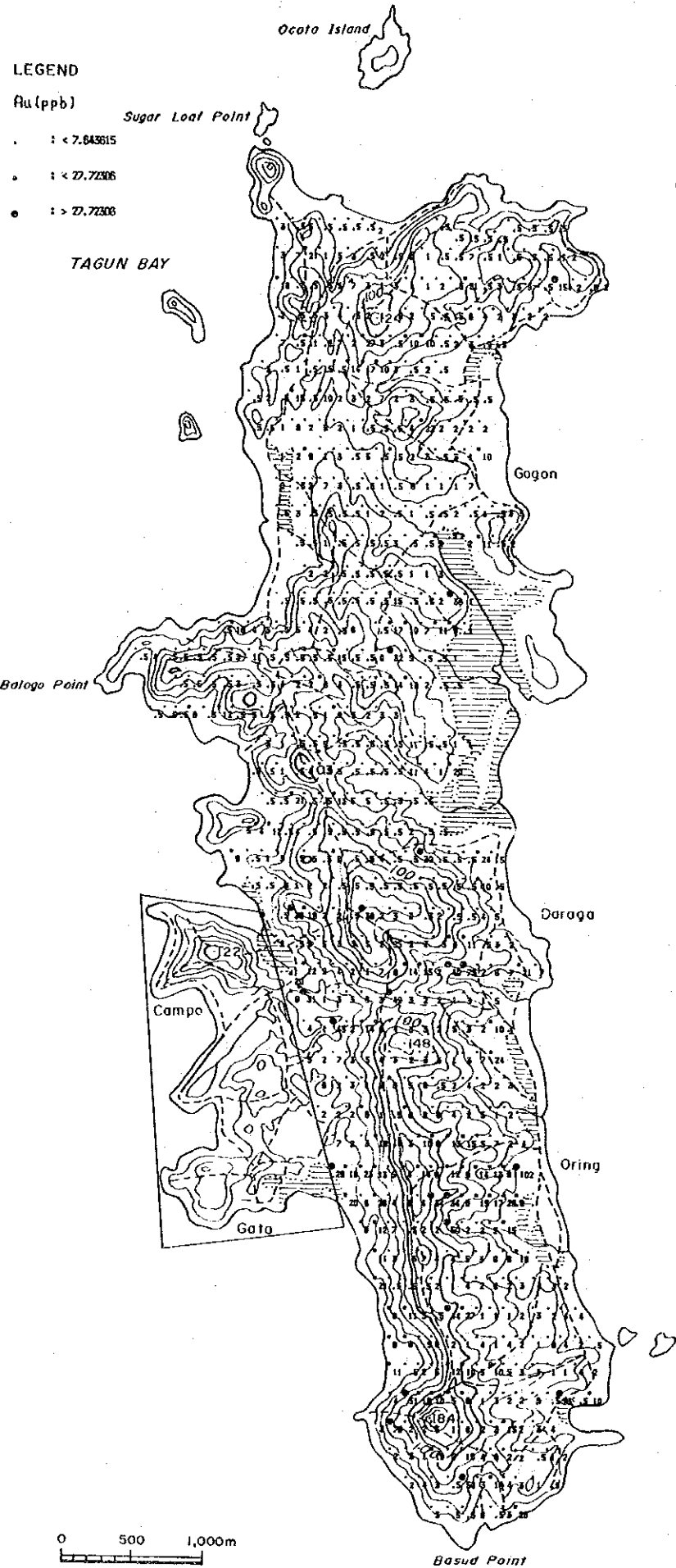
[Fe] 鉄の異常域は小規模なものが本島の各地に点在する。しかし、その中で北北西走向の4列の直線状の配列を示す異常域の分布が特筆される。すなわち本島の北西端からダラガ



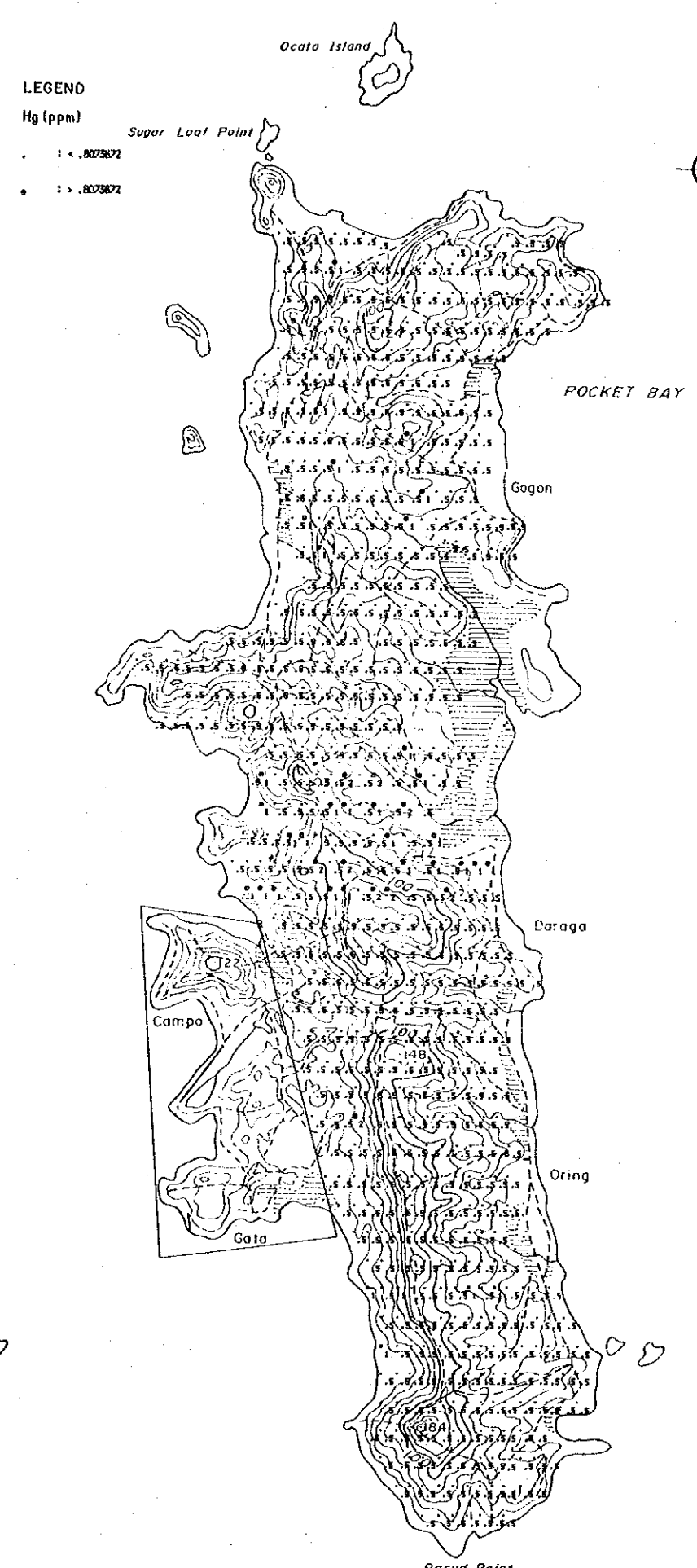
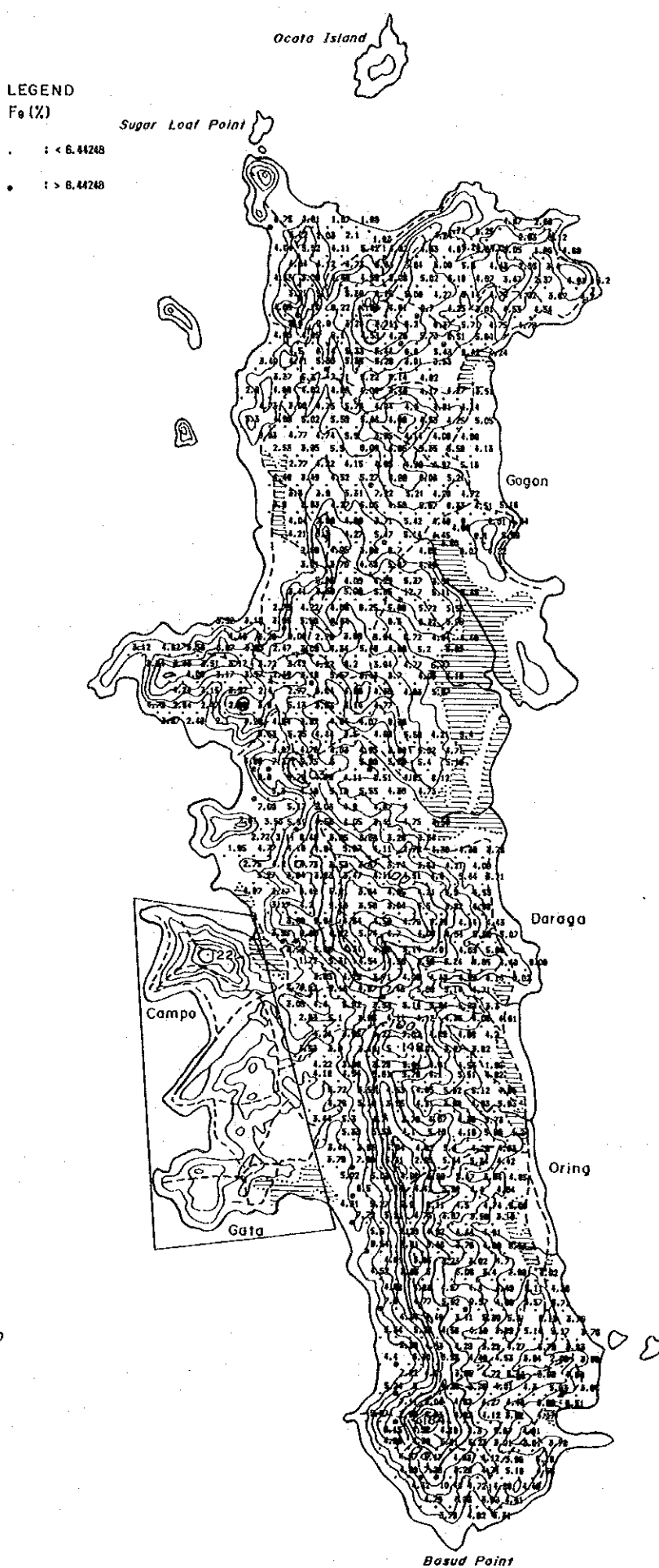
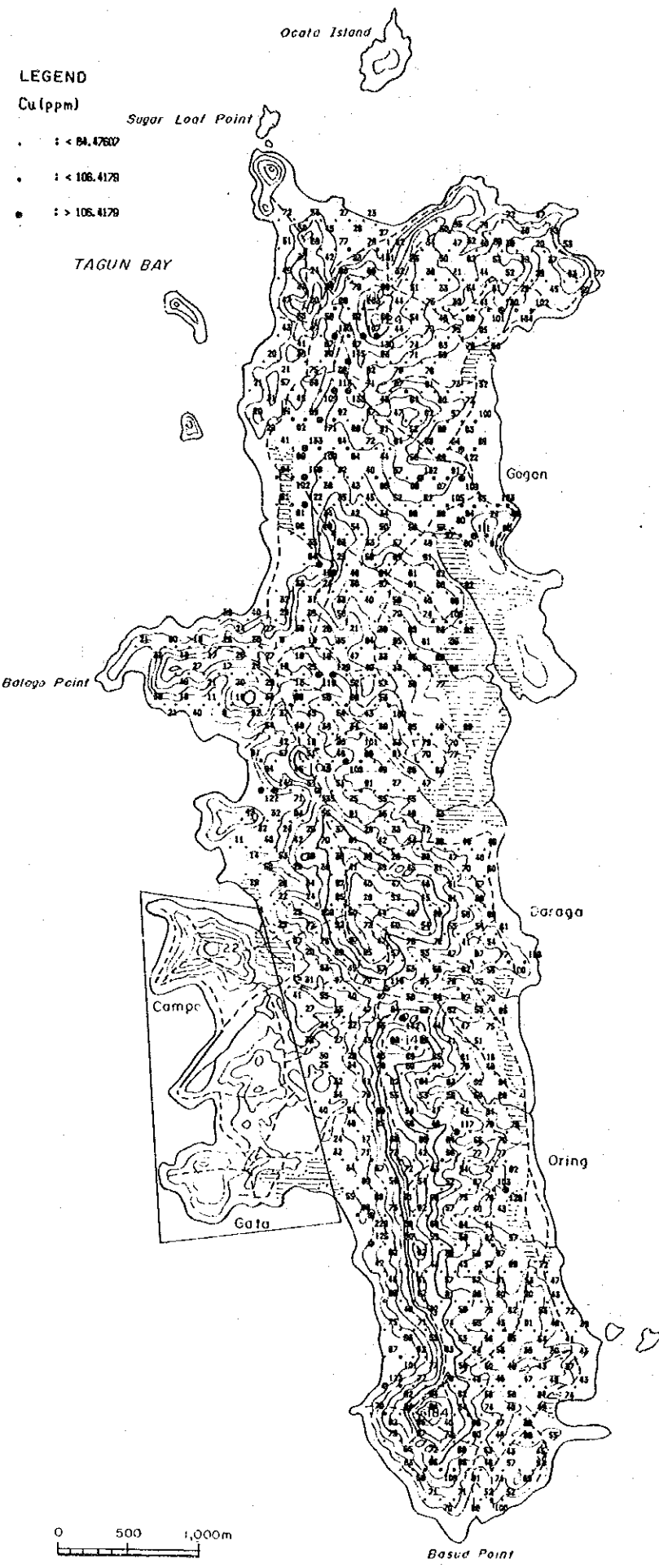
第4 4図 土壤微量成分分析値の頻度分布図及び累積頻度分布図(概査地域)(1)



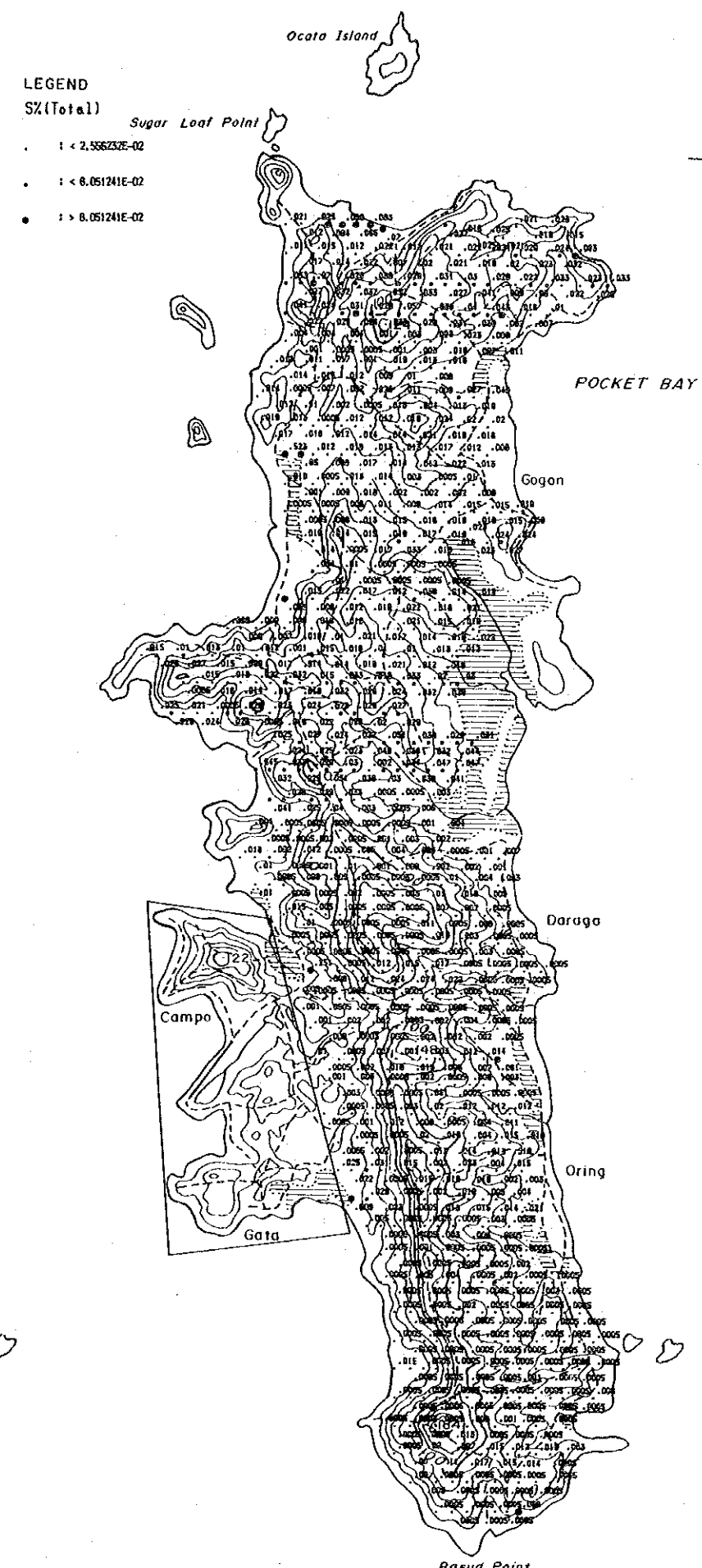
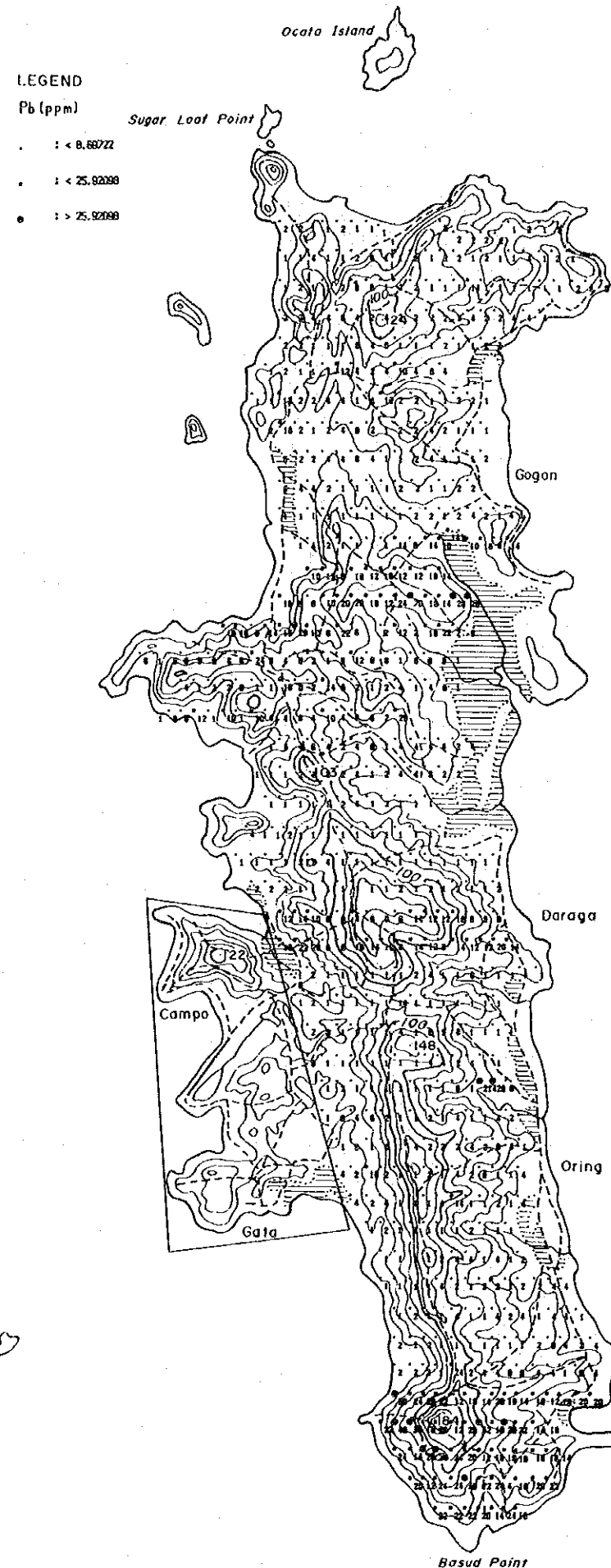
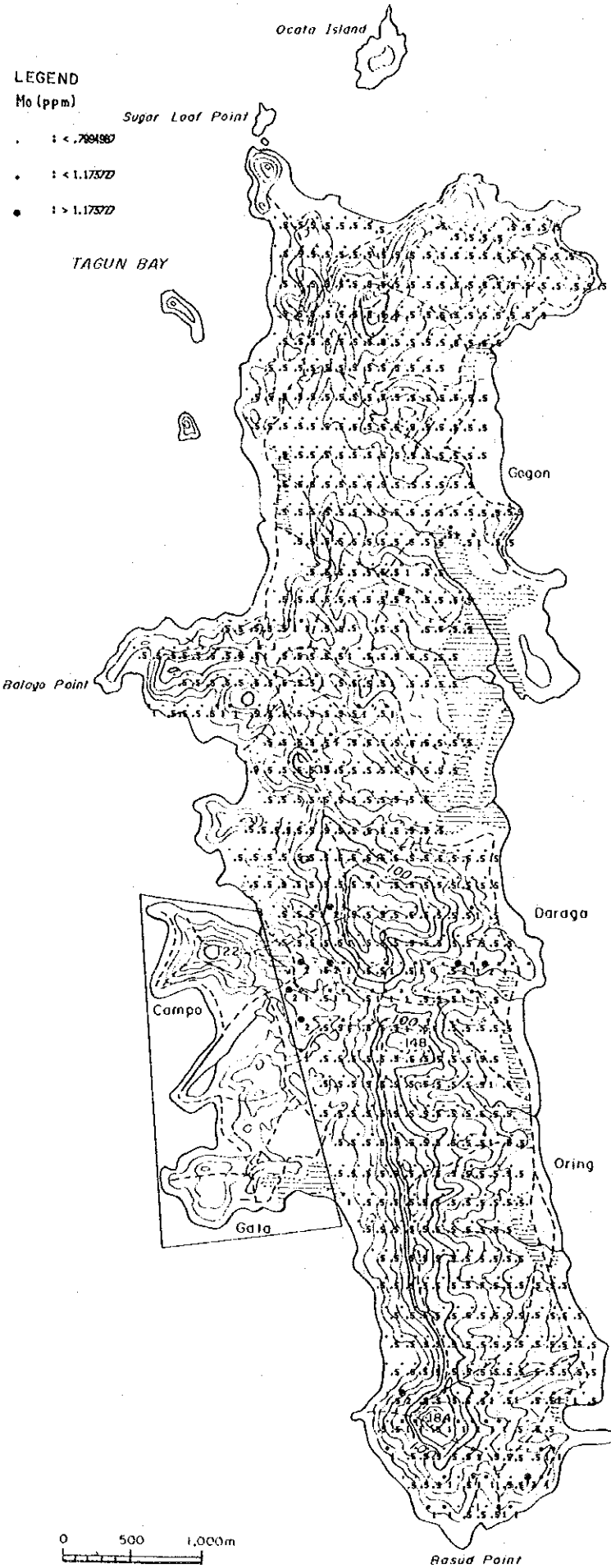
第44図 土壤微量成分分析値の頻度分布図及び累積頻度分布図(概査地域)(2)



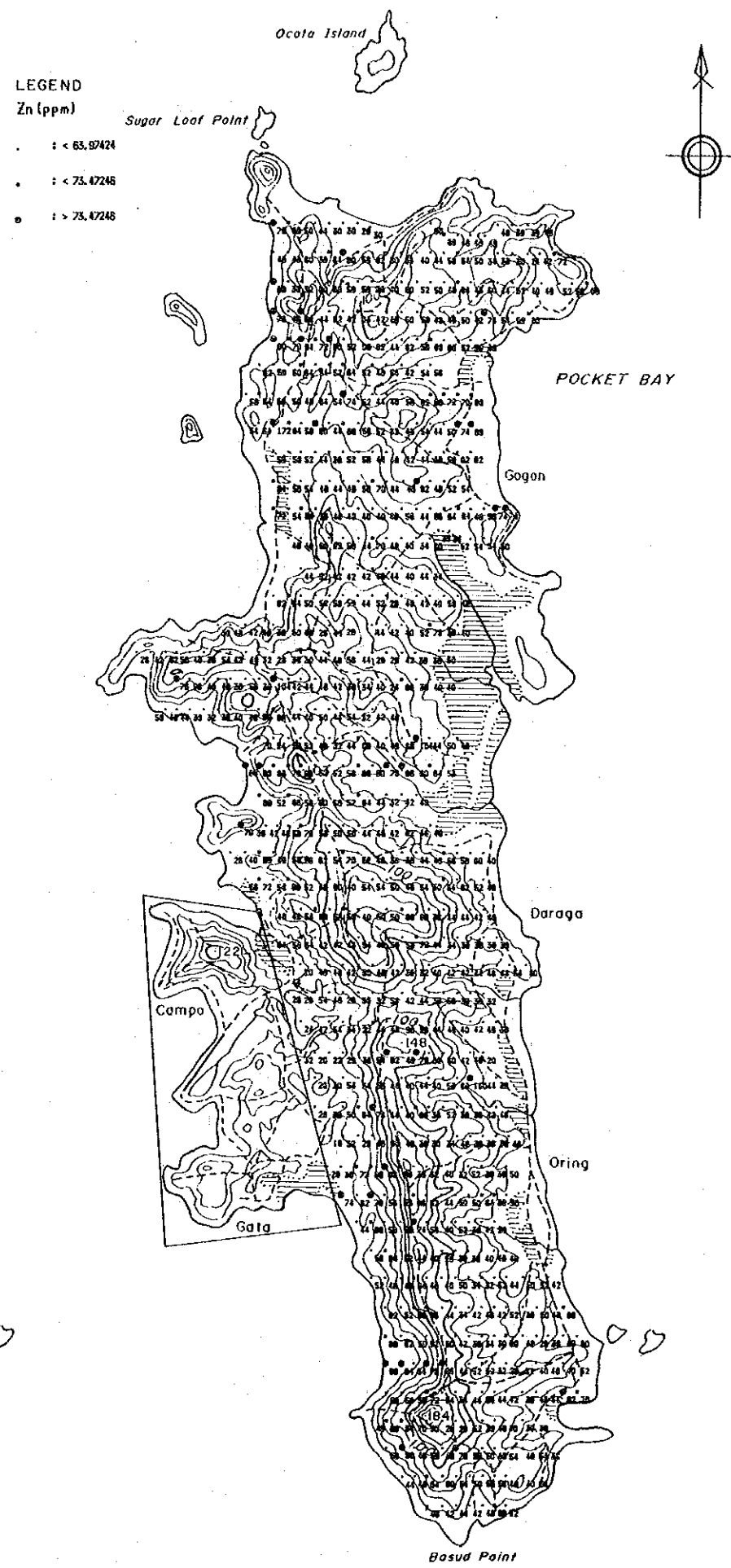
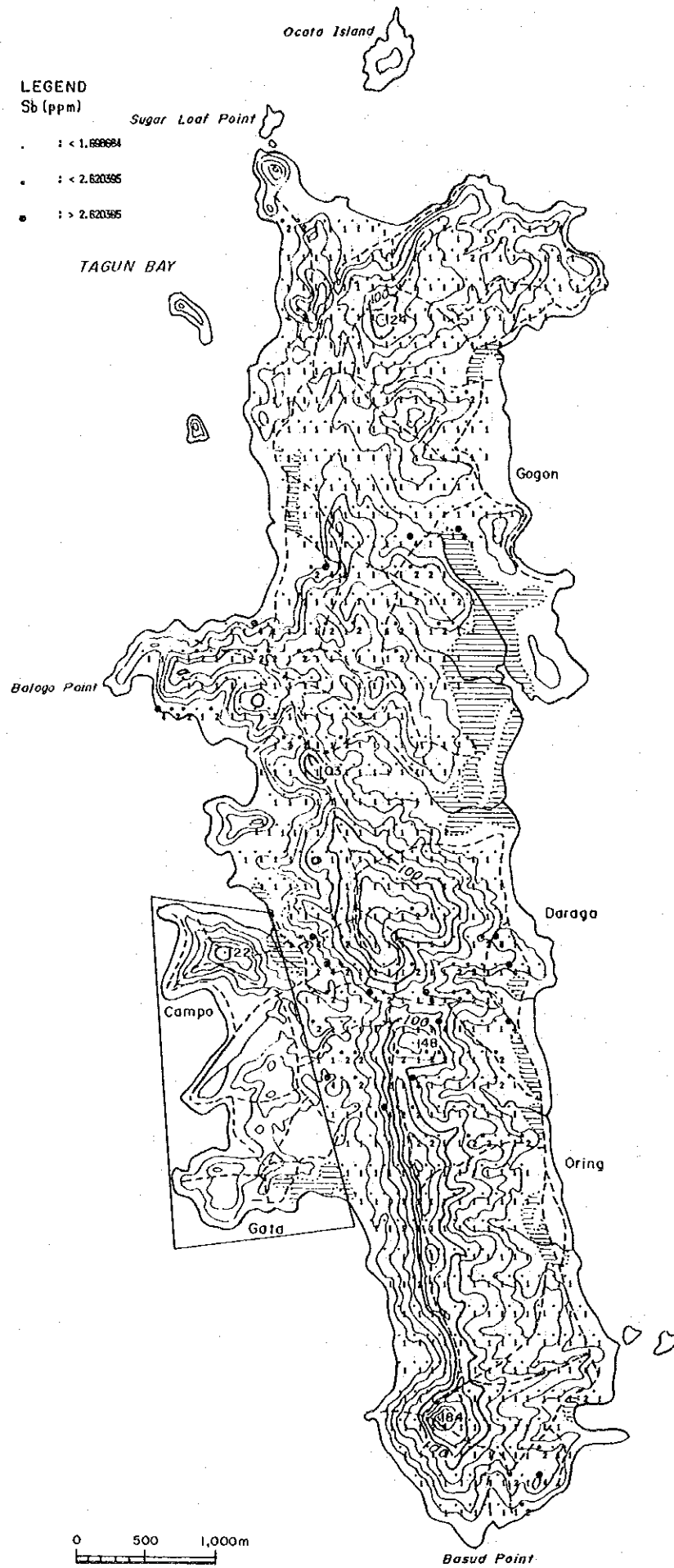
第45图 土壤化学异常值分布图(概查地域)(1)



第45图 土壤化学异常值分布图(概查地域)(2)



第 4 5 图 土壤地化学异常值分布图 (概查地域) (3)



第 4 5 図 土地化学異常値分布図 (概査地域) (4)

村北方に向かうもの、バロゴ岬 (Balogo Point) からダラガ村に向かうもの、バロゴ岬からオリン村に向かうもの、そしてカンボ鋳徴地北西の湿地帯から本島の南西海岸沿いに本島の南端に向かうものの4列である。本島土壌試料の地化学データにおいて鉄と銅の間には正の相関が認められ、銅は亜鉛との間に弱い正の相関を示す。銅・亜鉛の異常はこれらの線状構造に調和的に分布している。

[Hg] 水銀の異常はコントラストが弱く、その分布は本島の中央部の東海岸から西海岸にかけて複雑な形態の異常域が分布する他には、ごく小規模な異常域が点在するに過ぎない。

[Mo] モリブデンについてもコントラストの弱い異常しか得られていない。異常域の分布はカンボ鋳徴地東方からダラガ村にかけてラフィ島ではやや強い異常域がとぎれながら分布するほか、本島の南端部に複雑な形態の異常域が分布する。また、本島の北部のゴゴン村から南西方向に向かって小規模な異常域が点在している。カンボ鋳徴地からダラガ村にかけて、また、ゴゴン村から南西方に延びる異常域は金の異常域に重なるものである。

[Pb] 鉛は本島北部のゴゴン村南方から西海岸にかけてまとまった異常域が分布するほか、本島の南端部にもまとまった異常域が分布する。カンボ鋳徴地北東方からダラガ村にかけて東西に延びる異常域の分布が認められる。これらの異常域はいずれも、部分的には金の異常と重なるものである。

[S] 硫黄は本島の北端部と中央部に東西に延びる異常域が分布するほか、本島の北部を中心に小規模な異常域が点在している。硫黄の異常域の中心はいずれも金の異常域の中心をはずれて分布している。

[Sb] アンチモニーはカンボ鋳徴地東方からダラガ村南方にかけて、不規則な形態の異常域の分布が認められ、他にゴゴン村南西から西南西方向に小規模な異常域の点在するのが認められる。これらの分布は概ね金の異常に重なるものである。この他には本島の北端部、南端部にごく小規模な異常域の点在が認められる。

[Zn] 亜鉛の異常域は複雑な形態を示すものが各地に点在しており、ゴゴン村以北の地区にはこうした異常域が西北西の方向に延びた形態を示して比較的多く分布している。カンボ鋳徴地北方の西海岸地区には複雑な形態の異常域が南北に延びた分布を示し、その東方には小規模な異常域が点在している。ガタ鋳徴地東方から南方にやはり細長く複雑な形態の異常域が西海岸に沿って分布し、これを取り囲むように小規模な異常域が点在している。これらの異常域の分布は銅の異常域と比較的良く一致しており、また鉄異常域の線状配列にも調和的な分布を示している。

(3) 主成分分析

各指示元素が相関をもって挙動しているか、また、それはどのような因子によって支配

されているのかを検討するために、主成分分析を行った。主成分分析の計算には、第42表の相関行列を用いた。主成分分析結果を第44表に、主成分得点分布図を第46図に示す。

第44表 主成分分析結果（土地化学探査・概査地域）

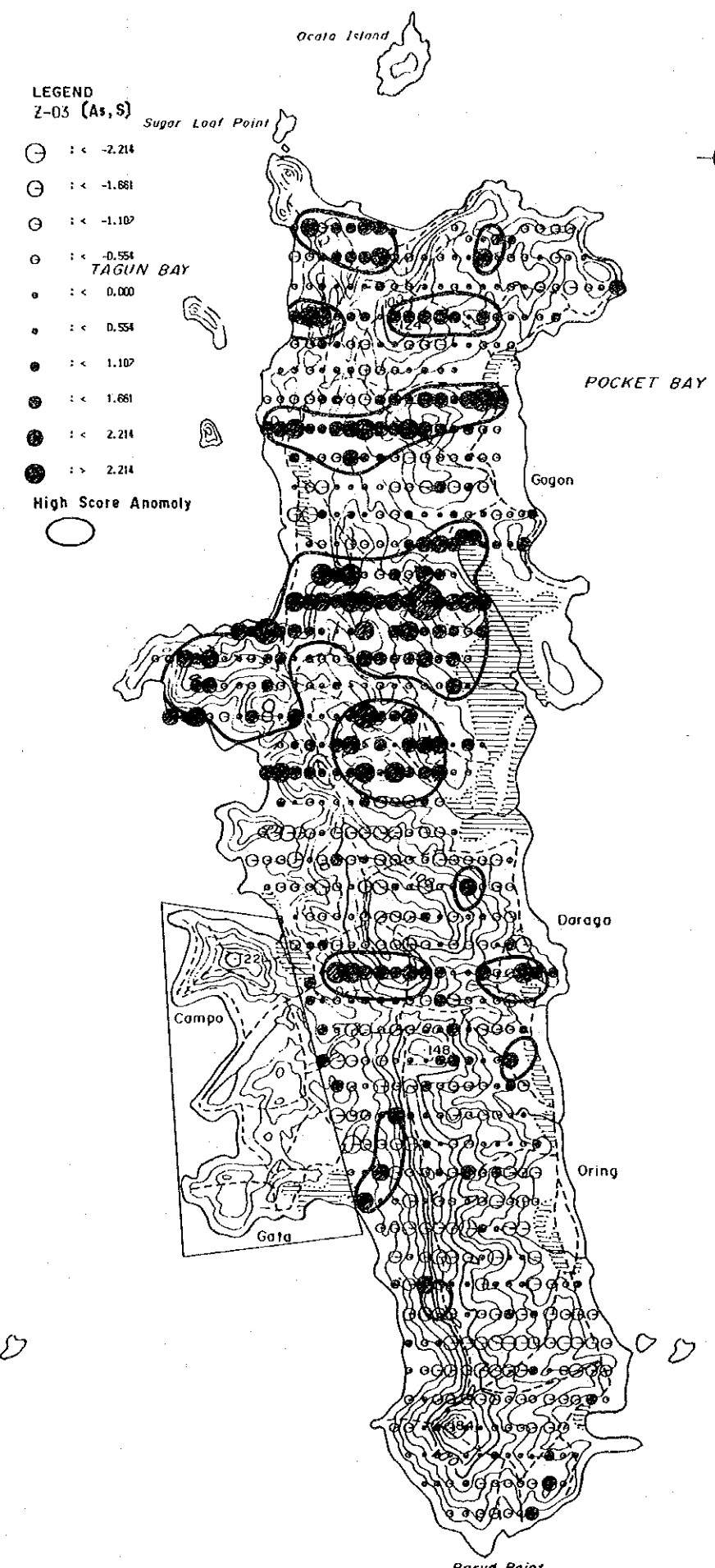
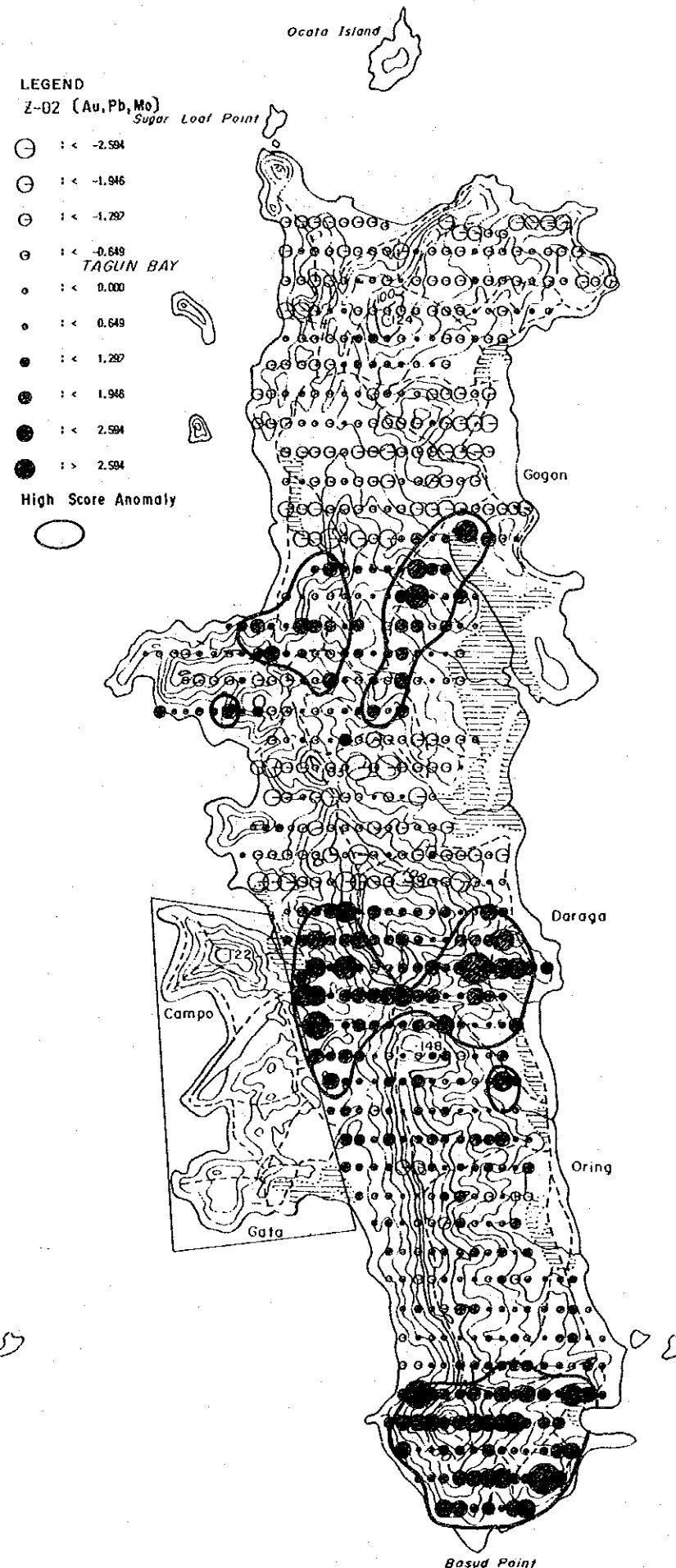
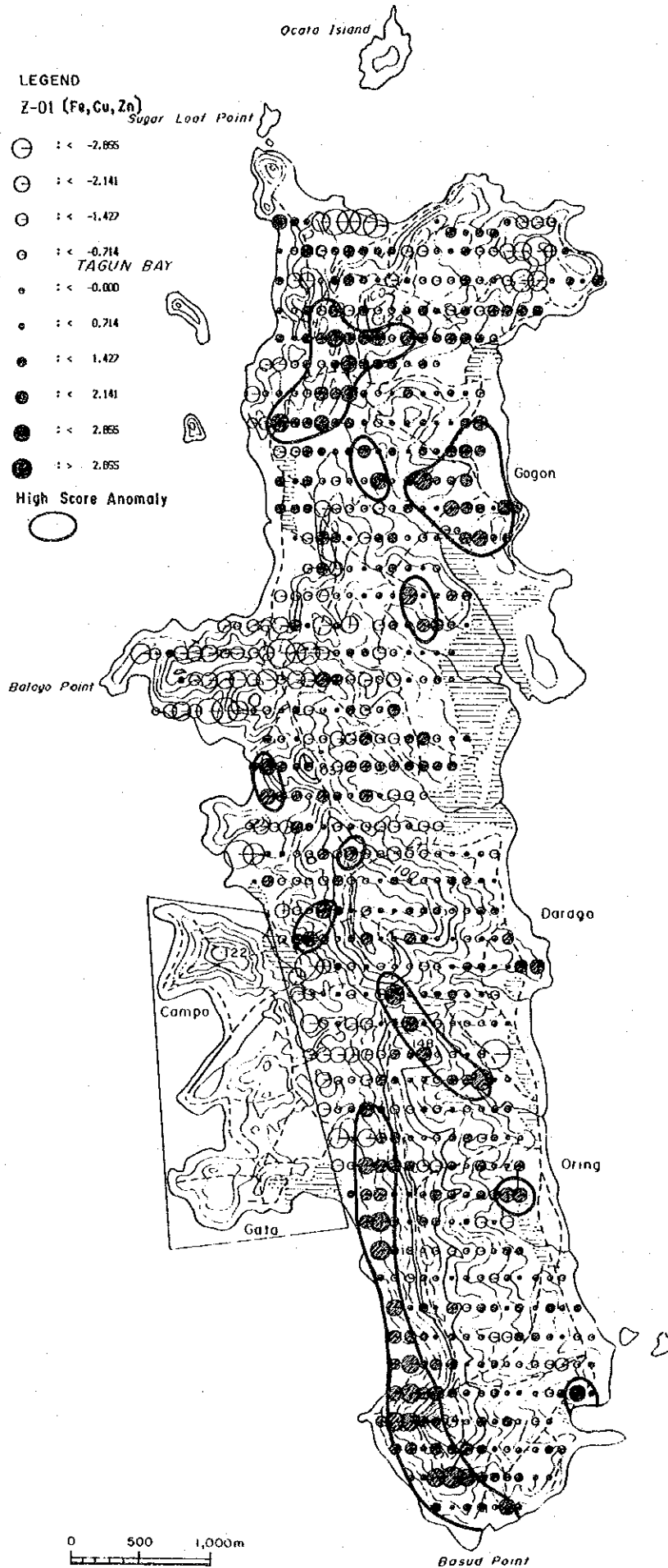
固有値				因子負荷量					
主成分	固有値	寄与率%	累積寄与率%		Z-01	Z-02	Z-03	Z-04	Z-05
Z-01	<u>2.038</u>	<u>18.524</u>	<u>18.524</u>	Cu	<u>0.850</u>	0.009	0.009	-0.009	0.151
Z-02	<u>1.683</u>	<u>15.297</u>	<u>33.821</u>	Fe	<u>0.825</u>	0.078	0.120	0.015	-0.051
Z-03	<u>1.226</u>	<u>11.144</u>	<u>44.965</u>	Zn	<u>0.658</u>	-0.382	0.126	-0.122	-0.145
Z-04	<u>1.062</u>	<u>9.655</u>	<u>54.620</u>	Mo	0.036	<u>0.618</u>	0.174	0.209	0.036
Z-05	<u>0.950</u>	<u>8.634</u>	<u>63.254</u>	As	-0.071	-0.043	<u>0.792</u>	0.129	0.066
Z-06	0.888	8.075	71.329	S	-0.209	-0.397	<u>0.516</u>	<u>-0.505</u>	0.123
Z-07	0.871	7.920	79.249	Hg	0.113	-0.367	0.131	<u>0.746</u>	-0.234
Z-08	0.713	6.480	85.729	Ag	0.173	<u>-0.482</u>	-0.127	-0.014	<u>0.564</u>
Z-09	0.647	5.880	91.609	Sb	-0.073	0.379	0.375	0.252	<u>0.463</u>
Z-10	0.546	4.965	96.574	Au	0.240	<u>0.496</u>	-0.203	-0.091	0.367
Z-11	0.377	3.426	100.000	Pb	0.216	<u>0.483</u>	0.238	-0.323	-0.401

第42表の相関行列から、各元素間には鉄・銅・亜鉛の間に弱い正の相関が認められるのみである。これから推察されるように、主成分分析結果でも、説明量の多い、明瞭な主成分は得られなかった。固有値は第1主成分が2.04、第2主成分が1.68であり、両者を合わせても全元素の分析値の変動の1/3強を説明するに過ぎない。また、第5主成分までの固有値が約1.0以上の値を示す。おのおのの主成分には以下の様な特徴を示す因子が含まれているものと考えられる。

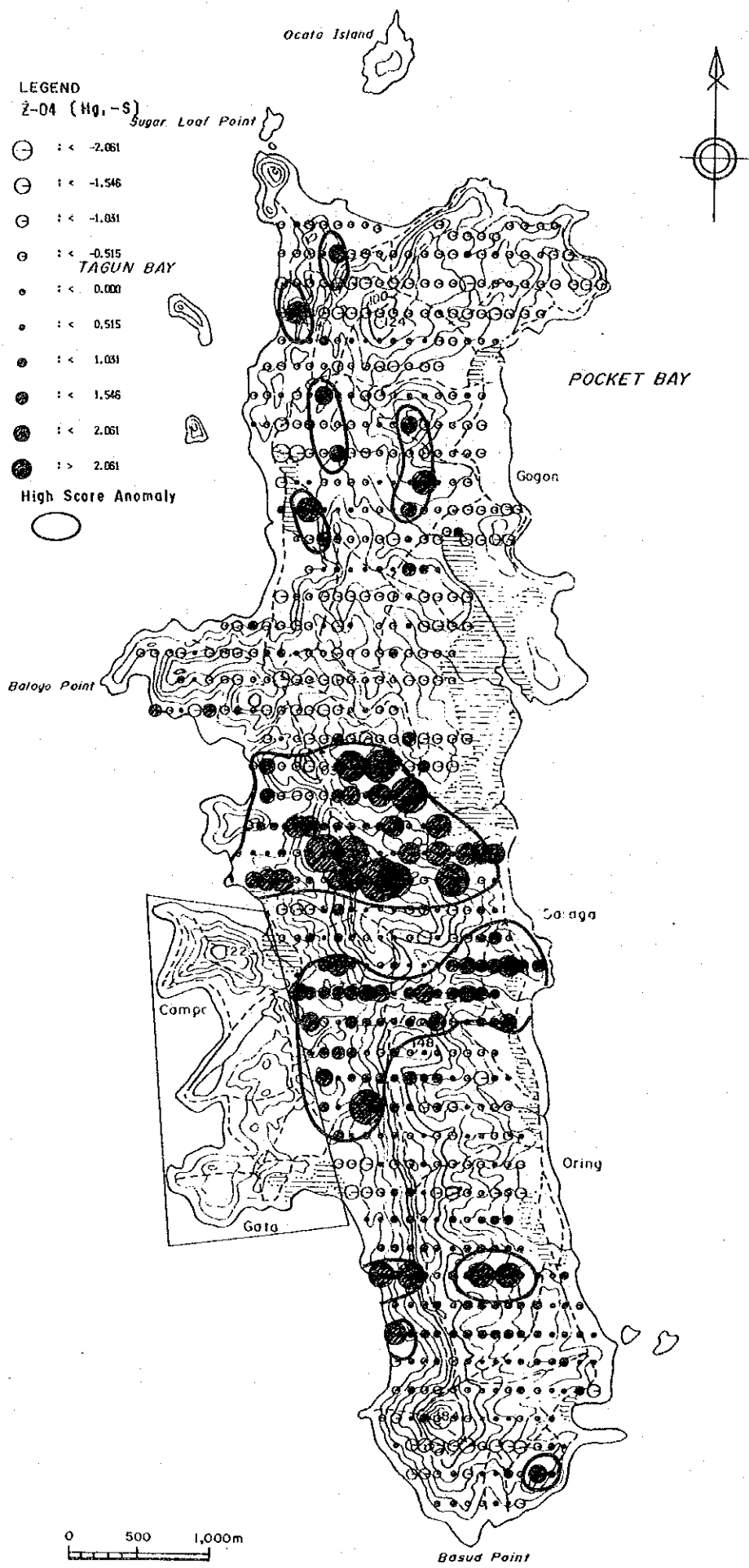
第1主成分： 鉄・銅・亜鉛の因子負荷量が大い、これらは一般的に塩基性岩類に多く含まれる元素であることを考慮すると、この主成分は周辺の地質を反映しているものと考えられる。ラフィ島南西部の玄武岩質凝灰角礫岩の分布域に主成分得点の高い試料が分布することもこれを支持するものである。

第2主成分： モリブデン・（金・鉛）の因子負荷量が大い。これらの元素は精査地区の土地化学探査において、鉍化作用を表わす主成分にたいして大い因子負荷量を示した成分である。従ってラフィ島の鉍化作用を表わす指標と考えることができ、第2主成分は含金銀鉍化作用の指標の一つと考えられる。主成分得点分布図ではガタ村の東方延長部に高得点異常域が分布する。また、ゴゴン村から西南西に延びる地域及び本島の南端部にも高得点異常域の分布が認められる。

第3主成分： 砒素・硫黄の因子負荷量が大い、硫化物に関連した因子を表わしているものと考えられる。主成分得点分布図ではガタ村の東方に正の異常が認められる。一方ゴ



第46图 主成分得分点分布图(土地化学探查, 概查地域)(1)



第 4 6 图 主成分得点分布图 (土地化学探查, 概查地域) (2)

ゴン村の南西には高得点異常域が顕著に現われている。

第4主成分： 水銀・硫黄の因子負荷量大きい。水銀と硫黄の挙動が相反することを示しているが、単元素の挙動を考慮すれば、水銀の影響が大きい因子である。主成分得点分布図では、ガタ村の北東延長に顕著な高得点異常域が分布しており、ガタ村東方にも弱い高得点異常域の分布が認められる。

第5主成分： 銀・（アンチモニー）の因子負荷量大きい。いずれの元素も分析検出限界地未満の試料が多く、地質的な意味を持った因子ではないと考えられる。

以上の様に、概査地域においては第2主成分、第3主成分及び第4主成分が、鉱化作用の指標として有効である。特に第2主成分はガタ村の鉱微地における金・銀の鉱化作用を表わす主成分と類似しており、重要な指標であると考えられる。

ガタ村の東方延長部にはこれら3主成分の高得点異常域が重複して現われており、概査地域では、本島で金鉱床賦存の可能性の最も高い地区といえる。

また、ラフィ島北部のゴゴン村の南西～西南西の地区には第2主成分及び第3主成分の高得点異常域の分布が認められ、鉱化作用の頂部を示すと思われる玉髄質石英の転石、二次的マンガンの被覆などが認められることから、やはり有望な地区であると考えられる。

ラフィ島南端部には第2主成分の高得点異常域が分布している。これらの地域の地下には鉱床賦存の可能性が期待されるが、分析値が全体的に低く、かつ、分析値の差（コントラスト）が小さいため、浅部に稼行対象となる様な鉱床の賦存を示唆する程の地化学異常ではないと判断される。

3-5 考 察

精査地域においてはきわめて明瞭な結果が得られた。すなわち、岩石による地化学探査において、金は鉛との間に強い相関を示し、また、銀・砒素・銅・（亜鉛）との間にも正の相関を示す。また、銅・鉛・亜鉛の間にそれぞれ正の相関が認められ、砒素と鉛の間に正の相関が認められる。主成分分析の結果では固有値3.45、寄与率34.5%を示す、第1主成分に金・銀・銅・鉛・亜鉛の鉱化作用が表わされており、カンボ及びガタ鉱微地にのみ高得点異常域が分布する。

土壌地化学探査でも同様に金は鉛との間に強い正の相関を示し、また、金・銅・鉛及び亜鉛の各元素の間に正の相関が認められる。主成分分析の結果では岩石地化学探査と同様に、固有値4.06、寄与率40.6%を示す第1主成分に金・銀・銅・鉛・亜鉛・モリブデンの鉱化作用が表わされており、ガタ及びカンボ鉱微地を中心に高得点異常域が分布する（第48図）。

精査地域での地化学探査の結果から、本島の鉱化作用において、金・銀・及び銅・鉛・

亜鉛・（モリブデン）が同じ挙動を示すことが明らかとなった。

精査地域において採取した石英脈の流体包有物均質化温度が230～300℃以上というやや高い温度であったことは精査地域において水銀が検出限界未満であったことと符合する。水銀を含む岩石はすでに削剥され、下部の地質が露出しているものと考えられる。

一方、概査地域、ガタ村北東部において水銀の因子負荷量の大きい第4主成分の高得点異常域が分布することは、ガタ村が断層によって突き上げられ、その東方に比して深部の地質が地表に現われているとするモデルに調和するものである。この地域にはさらにモリブデン・金・鉛の因子負荷量の大きい第2主成分と小規模ではあるが、砒素・硫黄の因子負荷量の大きい第3主成分が重なっており、概査地域のラフィ層では最も鉱床賦存の可能性の高い地域といえる。

同様にゴゴン村から南西に延びる地区第2主成分と第3主成分の、本島の南端部には第2主成分の高得点異常が認められ、この地域には玉髄質石英の転石、二次的マンガンの被覆が認められ、鉱化の頂点が地表に現われているものと解釈されることから、この地域のポテンシャルも高いと判断される（第49図）。

しかし、分析値が全体的に低く、浅部に有望な鉱床が賦存する程の地化学異常を示していない。流体包有物均質化温度から算出されたガタ村の削剥深度は601mと非常に深く、上記の地域についても相当の深部に鉱床が賦存することが予想されるため、探鉱調査、開発には困難を伴うこととなろう。

第Ⅲ部 結論および提言

第Ⅲ部 結論及び提言

第1章 結 論

1-1 カタンドゥアネス島

第47図にカタンドゥアネス島の調査結果総合解析図を示す。

カタンドゥアネス島では地質調査、沢砂地化学探査の結果、カロロンガン地区、バト市東方地区、ドゥグイトゥー地区、バト川東方地区が有望地区として抽出された。

カロロンガン地区にはバタレイ貫入岩類の貫入岩体は見い出されていない。しかし、本地区には無数の石英転石が散在し、また、各種元素の地化学異常域が重なっている。カロロンガン地区の東方のティナガ(Tinaga)川には金やその他の地化学異常が重なっており、ティナガ地区を含むこの地域の地質精査を進め、鉱床の賦存状況を明らかにする必要がある。

バト市東方地区には本島最大のバタレイ貫入岩類に属する花崗閃緑岩を主とする貫入岩体が分布し、周囲には小貫入岩体も多く、鉱徴地の存在も多く知られている。しかし、これら鉱徴地の実態は断片的にしか知られていない。この地区を総合的に調査し、それぞれの鉱徴の規模、品位を明らかにし、それらを総合的に評価することにより、新たな鉱徴が発見され、既知鉱徴が見直される可能性は高い。さらに、本地区の北東方のアグバン地区では本島で最も優勢な含銅石英脈が発見された。従ってバト市東方地区にアグバン鉱徴地を含めた地区について、調査を進めることが望ましい。

ドゥグイトゥー地区には本島で最も強い金の地化学異常が現われている。地区には砂金鉱床の存在が知られており、また、バタレイ貫入岩類に属する小貫入岩体が多数分布しており、貫入岩とその周辺部には熱水変質が認められる。また、ドゥグイトゥー地区に隣接するヒクミン(Hikming)、ダニコップ(Danicop)の鉱徴はドゥグイトゥー地区と一連のものと考えられる。したがって、これらの地区を含めたドゥグイトゥー地区の地質精査を実施することが望まれる。

バト川東方の山岳地区には地質調査では金鉱化の兆候は認められなかったものの、金やその他の元素の地化学異常が点在している。この地区にはこれまで十分な調査がなされてはならず、地質調査を進めることで新たな鉱徴が発見される可能性は高い。

1-2 ラフィ島

第48図にラフィ島精査地域の調査結果総合解析図を示す。

ラフィ島の精査地域ではガタ村鉱徴地に顕著な鉱化作用が現われており、地化学データを用いた主成分分析によって金・銀・銅・鉛・亜鉛の鉱化作用の存在が明らかとなった。

全島を対象とした地化学探査では、ガタ村東方に同様の地化学異常が認められ、また、本島北部のゴゴン村南西方、本島の南端部にも地化学異常域が認められた。第49図に概査地域の調査結果総合解析図を示す。地質調査の結果からはガタ村の鉱床地では断層によって地下深部の地質が地表に現われている構造が想定されており、これら3地区の地下深所にはガタ村と同様の鉱床が胚胎する可能性がある。しかし、分析値は全体的に低く、コントラストが弱いため、地下浅所に移行対象となる優勢な鉱床の存在を示唆する地化学異常とは考えられない。本島を取り巻く諸々の条件を勘案すると今後の調査を継続することは難しいと判断される。

第2章 第2年次調査への提言

2-1 カタンドゥアネス島

(1) カロロンガン地区：マヌリア(Manuria)川中、上流からその支流のカロロンガン(Carorongán)川にかけての地区に種々の地化学異常が重なり、また、カロロンガン川からタガノボル(Taganopol)川にかけては無数の石英の転石が認められ、この地区に多くの石英脈が胚胎する可能性を示唆するものと考えられる。また、その東方のティナガ川には金やその他の地化学異常が重なっており、この地区一帯の地質精査を実施し、鉱脈の規制、規模、有用金属の賦存状況を明らかにする必要がある。

さらに石英脈の多い、タガノボル川からカロロンガン川にかけての地区では土壌地化学探査を実施することが鉱床胚胎地区の抽出に有効であると考えられる。

(2) バト市東方地区：バト市東方の地区には本島最大のバタレイ貫入岩類の花崗閃緑岩体が分布し、サンベドロ、リブホ、アロヤオ(Aroyao)、ティロッドなどの鉱床地が点在する。これら花崗閃緑岩体周辺地域に、地質精査を実施し、個々の鉱床地の関係、鉱化規制を明らかにすることは、本島における鉱化作用の本質を探る上で不可欠である。これら鉱床地の規模、有望性も明らかになり、新たな鉱床の発見も期待される。

さらにその北東方には本島で最も優勢な石英脈露頭の発見されたアグバン地区があり、アグバンから本地区にかけての地域には多く貫入岩体、鉱床が存在するものと期待される。アグバン周辺地区についても地質精査の実施が望まれる。

(3) ドウグイトゥー地区：本地区には本島で最も強い金の地化学異常が認められ、また、砂金鉱床の存在も知られている。本地区にはバタレイ貫入岩類に属する小貫入岩体が数多く分布し、付近の岩石に熱水変質を与えている。本地区を中心としてヒクミン、ダニコップを含めた地区に対して地質精査を実施することにより、鉱床の実態を明らかにする

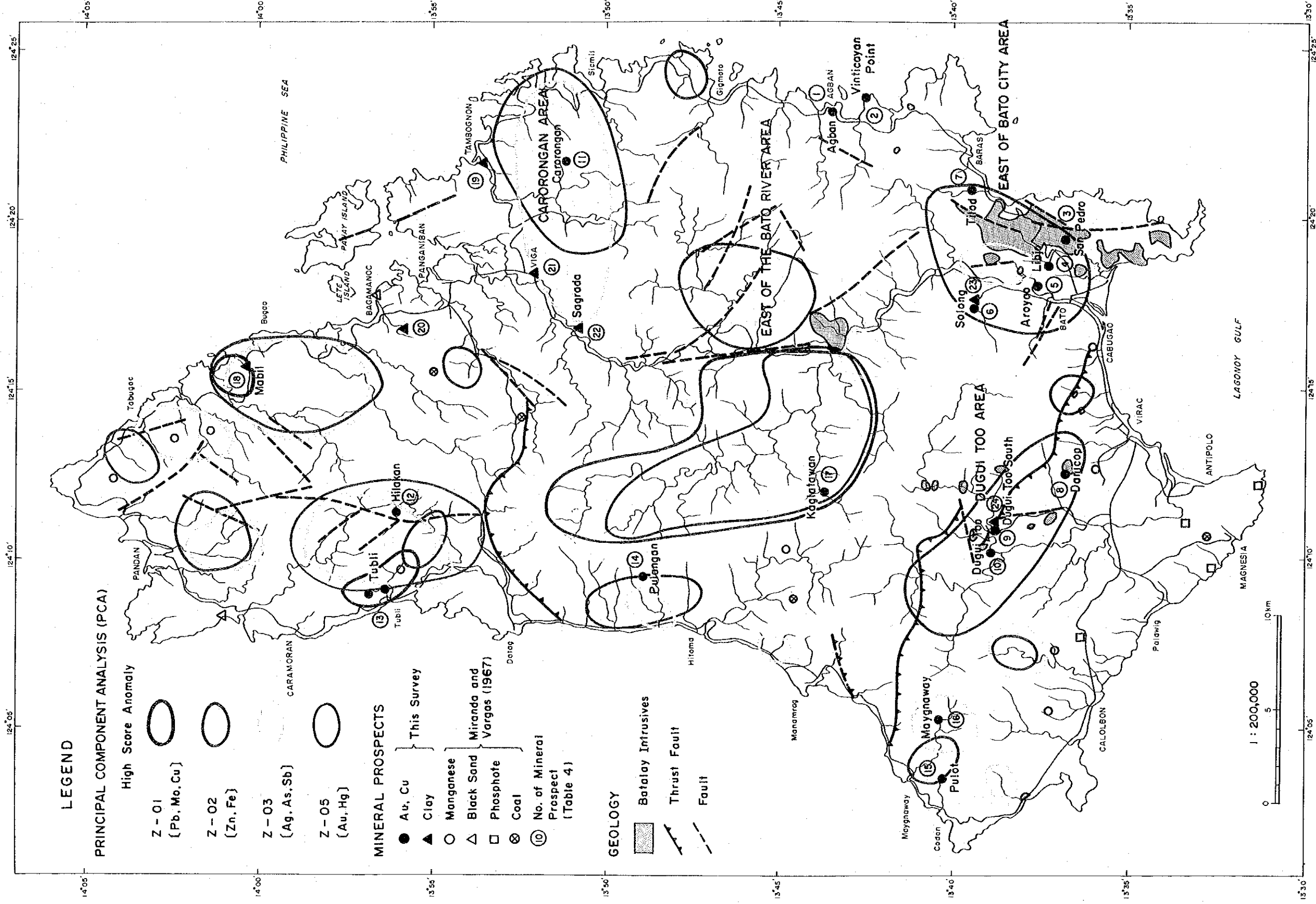
必要がある。

(4) バト川東方地区：本島中央部のバグサガハン村の東には、本調査によって新たなバタレイ貫入岩類の分布が発見されており、その北東方の山間部には金やその他の地化学異常が点在している。本地区は鉱床探査の面では未調査地に近い状態で、集中的な地質精査を実施することで、新たな鉱徴が発見される可能性がある。

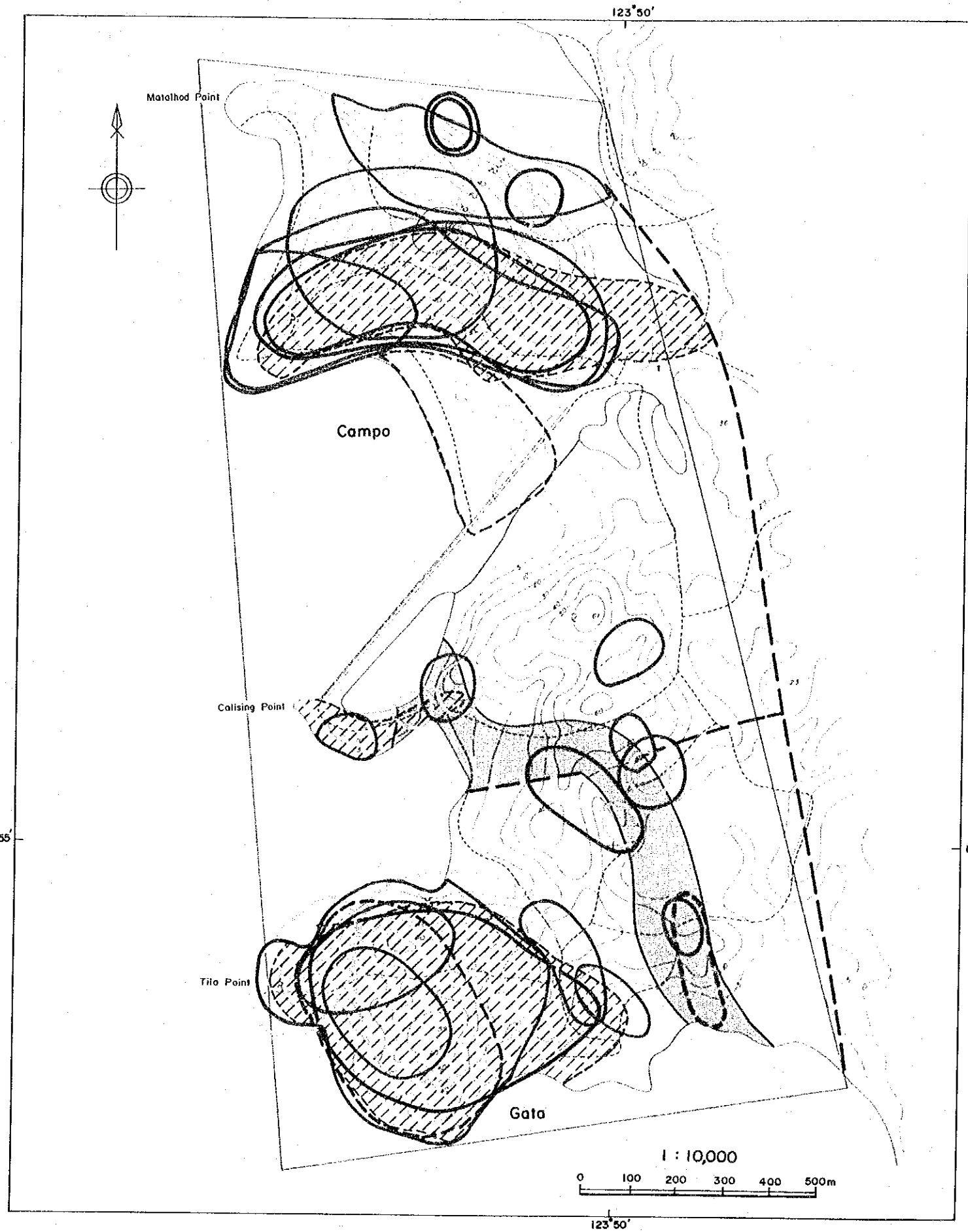
2-2 ラフィ島

精査地域においては、地質調査及び岩石地化学探査の結果、既知鉱徴地で粘土化変質、地化学異常などの有望な示徴が認められた。

概査地域においては土壌地化学探査の結果、ガタ村の鉱徴地東方、本島の北部のゴゴン村南西方、本島の南端部の地区に地化学異常が見い出されたが、元素の分析値は全体的に低く、コントラストが弱い。従って、地下浅所に稼行対象となる鉱床の賦存を示唆する地化学異常はないと判断される。精査地域と概査地域の断層による落差、侵食の程度を考慮すると、有望な鉱床があってもかなりの地下深部と推定される。さらに、鉱徴地が海岸に接しているため、開発に際しては海水の進入が予想されることなどにより、今後、本島における調査を継続することは難しいと判断する。



第47図 カタンドゥアネス島の調査結果総合解析図



LEGEND

PCA of Rock Samples

Anomaly	High Score	Low Score
Z - 01 (Au, Ag, As, Cu, Pb, (S))		
Z - 02 (As, Mo, -Zn, (-Fe))		
Z - 03 (S, Ag)		
Z - 05 (Fe, (-Sb))		

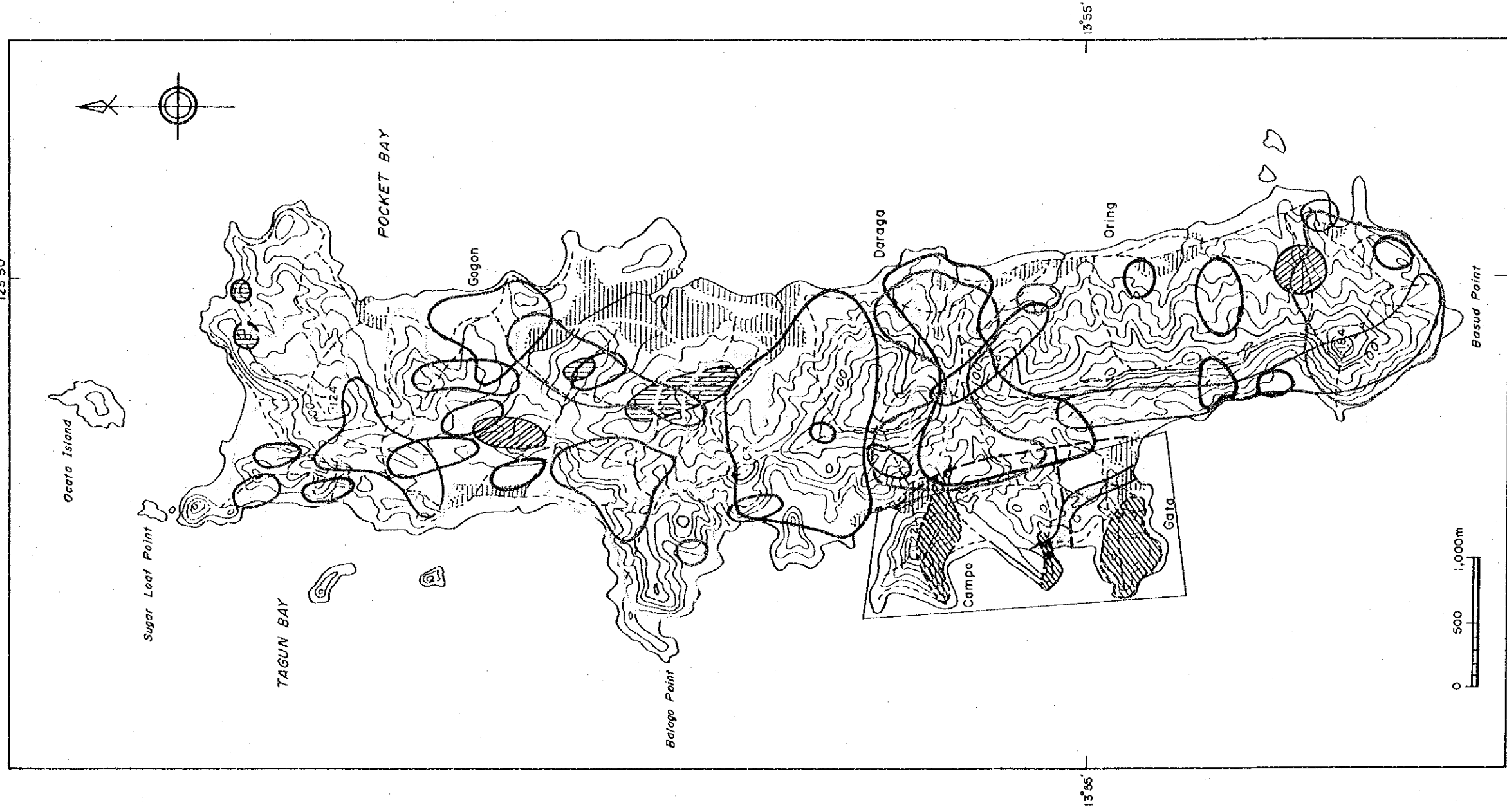
PCA of Soil Samples

Anomaly	High Score	Contaminated Zone (Placer Gold)
Z - 01 (Au, Ag, Cu, Pb, Zn, Mo, S, (As))		
Z - 02 (Fe, -As, (-Ag))		

Geology

- Hydrothermally Altered Zone
- Dacitic Dyke
- Fault (Inferred)

第48図 ラフィ島の精査地域調査結果総合解析図



LEGEND

PCA of Soil Samples

High Score Anomaly

Z - 01 (Fe, Cu, Zn)

Z - 02 (Au, Pb, Mo)

Z - 03 (As, S)

Z - 04 (Hg, -S)

Geology

Dacitic Dyke

Hydrothermally Altered Zone

Area of Chalcedony Floats

Area of Mn - Coated Floats

High Angle Fault (Inferred)

第49図 ラファイ島の概査地域調査結果総合解析図

REFERENCE

- Angeles, C. M. and Teodoro, L. G. (1980) : Detailed Geological/ Geochemical Survey of Tilod and Guiamlong Area in Catanduanes. MGB.
- Angeles, C. M. and Teodoro, L. G. (1983) : Statistical Analysis of the Geochemical Data in Kaglatawan, San Miguel, Catanduanes. MGB Region V.
- Berkman, D. A. (1976) : Field Geologists' Manual. The Australasian Institute of Mining and Metallurgy.
- Capistrano, P. M. (1951a) : Geological reconnaissance of Catanduanes. Progress report, Philippine Bureau of Mines.
- Capistrano, P. M. (1951b) : Preliminary Report on the A.A.R. Botelho Coal Claim, Hitoma, Caramoran, Catanduanes. MGB.
- Capistrano P. M. (1952) : Notes on the Mineral Resources of Catanduanes Island. The Philippine Geologist, vol. VI, no.4, The Geochemical Society of the Philippines, Manila.
- Crispin, O. A., Weller, J. M. and Ibanez, C. B. (1955) : Geology and coal resources of the Panganiban region, Catanduanes . Philippine Bureau of Mines Special Project Series Publication no.2.
- Govett, G.J.S.(1983) : Handbook of exploration geochemistry, Volume 2. Statistics and Data Analysis in Geochemical Prospecting. ELSEVIER SCIENTIFIC PUBLISHING COMPANY, p437.
- Kajitani, Yuji (1993) : Environment of Mining Investment in the Philippines (part 2), Mineral Information Center, Metal Mining Agency of Japan.
- Lepeltier, C. (1969) : A simplified statistical treatment of geochemical data by graphical representation. Econ. Geol., 64, 538-550.
- Meek, W. B. (1938) : Report on the Geological Survey and Investigation of copper prospect in Agban, Catanduanes : unpublished report. MGB.
- Metal Mining Agency of Japan (1992) : Geology and Mineral Resources of Southeast Asia - Oceanian Islands , 1991 Report of Geology Analysis Committee , Mineral Information Center , Metal Mining Agency of Japan.
- MGB (1982a): Geology and Mineral Resources of Catanduanes Province, Report of Investigation No.108, Map and Mineral Resources Compilation Team, MGB. Region V.
- MGB (1982b): Geology and Mineral Resources of the Philippines, vol. 1.
- MGB (1983a): Geological Map of Nagumbuaya Point Quadrangle, Sheet 3860 I., Bureau of Mines and Geo-Sciences, Ministry of Natural Resources.
- MGB (1983b): Geological Map of Calolbon Quadrangle, Sheet 3860 IV., Bureau of Mines and Geo-Sciences, Ministry of Natural Resources.
- MGB (1983c): Geological Map of Bagamanok Quadrangle, Sheet 3861 I., Bureau of Mines and Geo-Sciences, Ministry of Natural Resources.

- MGB (1983d): Geological Map of Gigmoto Quadrangle, Sheet 3861 II., Bureau of Mines and Geo-Sciences, Ministry of Natural Resources.
- MGB (1983e): Geological Map of Hitoma Quadrangle, Sheet 3861 III., Bureau of Mines and Geo-Sciences, Ministry of Natural Resources.
- MGB (1983f): Geological Map of Caramoran Quadrangle, Sheet 3861 IV., Bureau of Mines and Geo-Sciences, Ministry of Natural Resources.
- MGB (1983g): Geological Map of Pandan Quadrangle, Sheet 3862 III., Bureau of Mines and Geo-Sciences, Ministry of Natural Resources.
- MGB (1985): Geological Map of Gibgos Quadrangle, Sheet 3761 I., Bureau of Mines and Geo-Sciences, Ministry of Natural Resources.
- Mitchell, A. H. G. and Balce, G. R. (1990): Geological features of some epithermal gold systems, Philippines, Epithermal gold mineralization of the circum-pacific, 1, pp.241-296.
- Nishido, H. Itaya, T. and Ogata, K. (1984): K-Ar age determination method. Bull. Hiruzen Res. Inst. No. 9, 19-38
- Santos, V. , et al. (1955) : Geology and Coal Resources of the Hitoma-Manambrag Region, Catanduanes, Bureau of Mines, Manila.
- Santos, V. , et al. (1959): Memorandum report on the phosphate and manganese deposits, Catanduanes : unpublished report, Bureau of Mines, Manila.
- Sinclair, A. J. (1976) : Application of probability graphs in mineral exploration. Special Volume No.4, The Association of Exploration Geochemists.
- Steiger, R. and Jaeger, E. (1977): Subcommittee on geochronology, Convention on the use of decay constants in geo- and cosmo-chronology, Earth Planet. Sci. Lett., 36, 359-362
- Teodoro, Levy G. et al. (1988): Preliminary Report on the Small-Scale Gold Mining Development Project in Catanduanes for the Period September 19 to December 18, 1988. MGB.
- Teves, J. S., et al. (1949): Report on the investigation of rock phosphate and other mineral possibilities of Bohol: Philippine Geologist, Vol. III, No. 2.
- Torres, M. A. (1978) : Geologic Investigation of the Gold Property of Rajah Lahuy Mining Company at Gata, Caramoan, Camarines Sur. MGB.
- United Nations (1992): The Philippines, A Prospectus for the International Mining Industry., United Nations Development Programme 1992, United Kingdom.

APPENDICES

付表 1 カタンドウアネス島の岩石薄片検鏡結果一覧表

No.	試料名		採取地		形状・大きさ		薄切片																備考			
							火成岩								変成岩											
							Qz	Pl	Bi	Hb	An	Ilv	Op	Py	C	Pl	Qtz	Ms	Kfs	Ilm	Chl	Py				
1	ADR-010	砂岩	Solong 島東海岸西 1.5km 上流	塊状	1.5cm																		石英状	石英状	シルコンを少量含む	
2	ADR-026	砂岩	Solong 島東海岸																					石英状		
3	ADR-027	花崗閃緑岩	Calabon 町北西 6.2km 東河橋																					斑状		
4	ADR-033	砂岩	Muamara 町東方 1.0km																					斑状		
5	ADR-082	火山噴出物	Bugui Too 南 1.0km 東河橋	塊状	5cm																			斑状		
6	ADR-089	黒雲母花崗岩	Adon 島東端																					斑状		
7	ADR-117	スカルン	Vico 町北西 3.5km	塊状	5cm																			斑状		
8	ADR-138	石英閃緑岩	Adon 島東端																					斑状		
9	ADR-151-2	スカルン	Bato 町北西 2.0km Arayao 東河橋																					斑状		
10	ADR-151-1	スカルン	Bato 町東方 2.0km Arayao 東河橋																					斑状		
11	ADR-031	安山岩	Ritona 町東 4.2km Ritoma 川																					斑状		
12	ADR-032	砂岩	Palawan 町北西 2.7km																					斑状		
13	ADR-013	安山岩	Negaway 町東 3.4km																					斑状		
14	ADR-021	花崗閃緑岩	Bugui Too 南 3.0km Pajo 川東流																					斑状		
15	ADR-022	花崗閃緑岩	Bugui Too 南 1.8km Pajo 川西流																					斑状		
16	ADR-023	砂岩	Bato 町北東 3.7km 東河橋																					斑状		
17	ADR-030	花崗閃緑岩	Bato 町北東 3.7km 東河橋																					斑状		
18	ADR-031	安山岩	Stat 町南東 1.0km Bato 川東流	塊状	5cm																			斑状		
19	ADR-032	花崗閃緑岩	Stat 町南東 1.0km Bato 川東流																					斑状		
20	ADR-033	安山岩	Vico 町北西 2.0km																					斑状		
21	ADR-040	砂岩	Caravonon 東河橋																					斑状		
22	ADR-007	砂岩	Tobil 町東方 1.6km																					斑状		
23	ADR-011	砂岩	Calabon 町東方 1.6km																					斑状		
24	ADR-012	閃緑岩	Calabon 町東方 1.8km																					斑状		
25	ADR-008	安山岩	Tabaco 町北西 2.4km Huarabon 川																					斑状		
26	ADR-026	閃緑岩	Soboc 町東方 0.8km Soboc 川																					斑状		
27	ADR-002	安山岩	Bugui Too 南 0.9km 東河橋																					斑状		
28	ADR-001	安山岩	Bato 川東流 Kabitawan 川																					斑状		
29	ADR-002	安山岩	Bato 川東流 Kabitawan 川																					斑状		
30	ADR-004	花崗閃緑岩	Calabon 町北東 1.5km Bato 川東流																					斑状		
31	ADR-006	砂岩	Bato 川東流 Lower Suatin 川																					斑状		

【岩片】
T: 斑状岩
Ba: 閃緑岩
An: 安山岩

【結晶】
斑状
斑状
斑状

【出所】
C: カタンドウアネス
M: カタンドウアネス
H: カタンドウアネス
V: カタンドウアネス
P: カタンドウアネス
B: カタンドウアネス

【備考】
50% 以上
25~50%
0~25%
0% 以下

付表 2 カタンドゥアネス島の鉱石研磨片検鏡結果一覧表

番号	試料番号	岩石名	試料採取位置	粒 度	変成鉱物および二次鉱物													備 考	
					カリ長石	絹雲母	石英	白雲母	沸石	炭酸塩鉱物	粘土鉱物	磁鉄鉱	赤鉄鉱	磁硫鉄鉱	黄鉄鉱	閃亜鉛鉱	斜鉄鉱 他		チタン鉄鉱
1	ACB-030	自然絹を伴う 緑色スカルン	Tubli 鉱徴地	細			○												Native Cu:○ Cuprite:△ 銅の2次鉱物:△?
2	ACR-058	黄銅鉱を伴う 石英脈	San Pedro 鉱徴地	細			◎												Cpの周縁をCv+Ccが交代。 Cv:△, Cc:△
3	ACE-064	黄銅鉱を伴う 石英脈	San Pedro 鉱徴地	細			◎												Cv:., Cc:. Cpの周縁部をCv+Coが交代し、 それをさらにGoeが交代。
4	ACE-075	黄鉄鉱+酸化鉄 褐鉄鉱 針鉄鉱	Libjo 鉱徴地	中															比較的粗粒のPyが Fe oxideによって交代。
5	ACR-104	輝水鉛鉱? + 黄銅鉱 を伴う石英	Agban 鉱徴地	細			◎												Mo:△? Cv:., Cc:.
6	ACR-132	黄銅鉱を伴う石英	Agban 鉱徴地	細			◎												Cv:., Cc:. Mo:..?
7	BCR-026	輝水鉛鉱? を伴う 石英	San Pedro 鉱徴地	細			◎												Mo:△
8	BCOR-006	黄鉄鉱の鉱染 を伴う砂岩	Hilacan 鉱徴地	細															粒状Py Fe oxide:△ Py中のみOp.Spの粒子あり。
9	BCOR-007	黄鉄鉱の鉱染 を伴う砂岩	Hilacan 鉱徴地	細															粒状Py BCR-006に比べ? やや粗粒なPyが多い Fe oxide:(Goe) Leu:△?
10	HCOR-003	石英脈	Dugui村 東方1.5Km	細			◎												Leu:..? 肉眼:Ser? Fe oxide:△(Goe) Mn?

◎:多量, ○:中量, △:少量, .:微量, ?:不確実(判別困難)
Sc:2次的に生成, Al:変質が著しい, Ve:脈状

<鉱物の略号>
Sp:閃亜鉛鉱, Gt:方鉛鉱, Mt:磁鉄鉱, Ht:赤鉄鉱, Cp:黄銅鉱
Cv:銅藍, Cc:輝銅鉱, Mo:輝水鉛鉱, Py:黄鉄鉱, Th:四面銅鉱
Bl:自然金, Po:磁硫鉄鉱, Ti:リニエーコクシナイト
Chl:綠泥石, Qz:石英, Goe:針鉄鉱, Ser:絹雲母

付表 3 カタンドゥアネス島の鉱石分析結果一覧表

No	Sample No.	Location	Element	Au	Au	Ag	Cu	Fe	Mo	Pb	S%	Zn
			Unit	g/t	Oz/t	ppm	%	%	%	%	Total	%
1	ACR-011	Solong Prospect.		<0.03	<0.001	<2	0.022	2.59	<0.001	<0.001	0.006	0.002
2	ACR-015	Solong Prospect.		<0.03	<0.001	<2	0.033	4.59	<0.001	<0.001	0.244	0.006
3	ACR-020-2	Solong Prospect.		0.09	0.003	<2	0.030	0.96	0.004	0.001	0.047	<0.001
4	ACR-030	Tubli Prospect.		<0.03	<0.001	2	1.495	5.36	<0.001	<0.001	0.004	0.007
5	ACR-058	San Pedro Prospect.		<0.03	<0.001	<2	0.171	0.70	0.137	<0.001	0.180	<0.001
6	ACR-064	San Pedro Prospect.		<0.03	<0.001	<2	0.474	1.51	0.022	0.001	0.344	0.001
7	ACR-066	San Pedro Prospect.		0.25	0.008	2	0.055	0.51	0.097	0.001	0.082	<0.001
8	ACR-067	San Pedro Prospect.		<0.03	<0.001	2	0.054	0.83	0.052	<0.001	0.054	<0.001
9	ACR-075	Libjo Prospect.		<0.03	<0.001	14	0.513	34.40	0.003	<0.001	8.970	0.006
10	ACR-081	Dogui Too Prospect.		<0.03	<0.001	<2	0.003	1.18	<0.001	<0.001	0.134	0.003
11	ACR-097	Agban Prospect.		<0.03	<0.001	2	0.440	1.27	0.059	0.001	0.278	0.002
12	ACR-100	Agban Prospect.		<0.03	<0.001	<2	0.029	0.90	0.008	<0.001	0.129	0.001
13	ACR-104	Agban Prospect.		<0.03	<0.001	<2	0.124	0.93	0.033	<0.001	0.102	<0.001
14	ACR-106	Agban Prospect.		<0.03	<0.001	2	0.748	1.70	0.024	0.001	0.014	0.002
15	ACR-109	Agban Prospect.		<0.03	<0.001	<2	0.006	0.90	0.001	<0.001	0.003	<0.001
16	ACR-112	Agban Prospect.		<0.03	<0.001	<2	0.014	0.77	0.001	<0.001	0.005	<0.001
17	ACR-132	Agban Prospect.		<0.03	<0.001	2	1.445	1.71	0.025	<0.001	1.350	0.007
18	ACR-150	Aroyao Prospect.		0.96	0.031	22	1.350	16.30	<0.001	<0.001	11.400	21.600
19	BCR-017	Pulot Prospect.		<0.03	<0.001	2	0.023	5.60	<0.001	0.001	0.015	0.074
20	BCR-026	San Pedro Prospect.		<0.03	<0.001	<2	0.004	3.58	<0.001	<0.001	0.016	0.015
21	BCR-044	Carorongon Prospect.		<0.03	<0.001	2	0.010	0.81	0.074	<0.001	0.053	0.016
22	BCOR-004	Dulangan Prospect.		22.71	0.730	<2	0.003	1.67	<0.001	<0.001	0.500	0.014
23	BCOR-005	Dulangan Prospect.		28.02	0.901	4	0.002	1.09	<0.001	<0.001	0.275	0.012
24	BCOR-006	Hilacan Prospect.		0.16	0.005	<2	0.008	5.05	0.001	<0.001	2.470	0.014
25	BCOR-007	Hilacan Prospect.		0.06	0.002	<2	0.006	4.81	0.003	<0.001	3.750	0.022
26	BCOR-008	Maygnaway Prospect.		0.25	0.008	<2	0.007	2.01	<0.001	<0.001	0.224	0.008
27	BCOR-009	Maygnaway Prospect.		<0.03	<0.001	<2	0.026	6.89	<0.001	0.001	3.710	0.095
28	BCOR-014	Carorongon Prospect.		1.71	0.055	<2	0.009	6.75	<0.001	<0.001	2.940	0.035
29	BCOR-014-1	Carorongon Prospect.		0.68	0.022	<2	0.008	5.09	<0.001	<0.001	1.910	0.074
30	BCOR-017	Carorongon Prospect.		<0.03	<0.001	<2	0.002	0.55	<0.001	<0.001	0.020	0.017
31	CCR-022	0.5Km South of Minaile River		<0.03	<0.001	2	0.005	5.04	0.006	<0.001	0.572	0.007
32	FCOR-001	The Kaglatawan River.		<0.03	<0.001	<2	0.010	4.49	<0.001	<0.001	1.020	0.027
33	FCOR-002	Carorongon Prospect.		<0.03	<0.001	<2	0.002	0.74	<0.001	<0.001	0.013	0.017
34	HCOR-003	1.5Km East of Dogui Too.		<0.03	<0.001	<2	0.016	5.76	<0.001	<0.001	1.230	0.015

付表 5 ラファイ島の鉱石研磨薄片検鏡結果一覽表

番号	試料番号	岩石名	試料採取位置	粒 度	生成鉱物および二次鉱物													不透明鉱物	備 考									
					緑泥石	純紋石	綠泥石族	ブドウ石	パンベリール石	アクチノ閃石	綠閃石	スフェーン	石英	白雲母	沸石	炭酸塩鉱物	粘土鉱物			磁鉄鉱	赤鉄鉱	磁硫鉄鉱	黄鉄鉱	黄銅鉱	閃亜鉛鉱	針鉄鉱 他	チタン鉄鉱	
1	LA-01 -17B	Py を伴う 珪化脈	Soil Sample Point LA-01-17	細																							Fe oxide:△	
2	ALR- 41-1	Sp-Cp-Gn 鉱石	tata 鉱徴地 北方旧坑	細						◎	△																	Sp:透明なものが多い(Fe poor) Th:極微粒のため判別困難 Gn:△~○, Th:?, Ti:?, Cv:?, Cc:? Pyは細粒六面体自形多し.一部,Fe oxideに分解? Sp>Cp>Gn
3	ALR- 41-2	Sp-Cp-Gn 鉱石	tata 鉱徴地 北方旧坑	中						◎	△																	Gn:◎ Sp>Cp>Gn Sp:透明(Fe poor) Cv:?, Cc:?
4	BLR- 010-8	黄銅脈	Campo 鉱徴地 6号旧坑	中						◎	△																	El: → 微粒でQz中に単独であるため, Cp.の可能性もある Sp:透明~淡黄色(Fe poor)
5	BLR- 010- 10-2	El bearing 黄銅脈鉱石	Campo 鉱徴地 6号旧坑	細						◎																		Gn:△~○ CpやGnは,Py中に包有されて存在する El: → Pyと接したり,Py中に存在する ⇒Qz-Ad-(Cc)に包む部分に存在?
6	BLR- 010-11	Sp-Cp-(Gn) 鉱石	Campo 鉱徴地 6号旧坑	細						◎																		Gn:△ Sp:透明~淡黄色(Fe poor)
7	BLR- 024-1	Sp-Gn 鉱石	Campo 鉱徴地 5号旧坑	中						◎																		Gn:○ Gn>Cp Qzの粒径がやや大きい Sp中にEl? (Cpかも) 1粒子
8	BLR- 024-8	Sp-Cp-Gn 鉱石	Campo 鉱徴地 5号旧坑	中						◎																		Sp:淡黄色~透明 Gn:○
9	BLR- 034	Py を含む 珪化脈	Campo 鉱徴地 Panique旧坑	細						◎																		Fe oxide:△ Sericite or clay minerals:○

◎:多量, ○:中量, △:少量, ? :微量, ? :不確実(判別困難) < 鉱物の略号> Sp:閃亜鉛鉱, Gn:方鉛鉱, Mt:磁鉄鉱, Ht:赤鉄鉱, Cp:黄銅鉱
Cv:銅蓋, Cc:輝銅鉱, Mo:輝水鉛鉱, Py:黄鉄鉱, Th:四面銅鉱
El:自然金, Po:磁硫鉄鉱, Ti:リューコークソンないしTi鉱物
Chl:綠泥石, Qz:石英, Geo:針鉄鉱, Ser:絹雲母

付表 6 ラファイ島のx線回折試験結果一覧表 (1)

試料番号	採取位置	粘土鉱物					その他の鉱物							備考			
		モンモリロナイト	緑泥石/モンモリロナイト	雲母/モンモリロナイト	緑泥石	セリサイト	カオリナイト	石英	カリ長石	斜長石	ジャロサイト	明ばん石	方解石		石膏	黄鉄鉱	
1	ALR-012	Tila Point東北東(Gata)				△			◎	○	○						
2	ALR-014	Tila Point東(Gata)				・?			◎	○	◎						
3	ALR-016	Tila Point東(Gata)						△	○	○							
4	ALR-017	Tila Point東(Gata)				・?			◎	○							
5	ALR-018	Tila Point東(Gata)					△	△	◎	△							
6	ALR-019	Tila Point東南東(Gata)				・	・		◎		○		△				
7	ALR-026	Tila Point南東(Gata)							◎	△	○						
8	ALR-028	Tila Point南東(Gata)				△			◎	△	○						
9	ALR-030	Tila Point南東(Gata)				・?			◎	○	△						
10	ALR-031	Tila Point東南東(Gata)				・?			◎	○							
11	ALR-032	Tila Point南東(Gata)				△			○	○	△						
12	ALR-034	Tila Point東北東(Gata)	・			・			◎	△	△						
13	ALR-036	Tila Point東北東(Gata)				・?	・		◎	△							
14	ALR-038	坑口付近(Gata)				・	△		◎	・	○		△	・	・		
15	ALR-039	坑口付近(Gata)					△	△	◎		○		○				
16	ALR-043	Tila Point東(Gata)				△			○	△	○					△	
17	ALR-045	Tila Point東北東(Gata)					△		◎								
18	ALR-048	Tila Point東北東(Gata)				・?	・		◎	△	△						
19	ALR-049	Tila Point東北東(Gata)				△			○	△	○						
20	ALR-051	Tila Point東北東(Gata)					・		◎								
21	ALR-052	Tila Point東北東(Gata)					・		◎	△							
22	ALR-056	Calising Point東南東(Gata)					・		◎	△							
23	ALR-060	Gata地区東側					・	△	◎								
24	ALR-062	Gata地区東側							◎								
25	ALR-063	Gata地区東側	・						○		◎						
26	ALR-064	Gata地区東側	△						○		○						
27	BLR-006	Tila Point南東(Gata)					・		◎	○	△						

凡例 [量] ◎:多量 ○:中量 △:少量 ・:微量 ? :不確実

付表 6 ラフイ島のx線回折試験結果一覧表 (2)

試料番号	変質鉱物 採取位置	粘 土 鉱 物					そ の 他 の 鉱 物							備考		
		モンモロロナイト	緑泥石/モンモロロナイト	雲母/モンモロロナイト	緑泥石	セリサイト	カオリナイト	石 英	カリ長石	斜 長 石	ジャロサイト	明ばん石	方 解 石		石 膏	黄 鉄 鉱
28	BLR-007	Tila Point南東(Gata)						○	○							
29	BLR-010-8	Campo地区坑口付近					△	◎								△
30	BLR-016	Campo地区中央					△	◎	○							
31	BLR-017	Campo地区中央						◎	△							
32	BLR-018	Campo地区中央						◎	△							
33	BLR-020	Campo地区中央					△	◎	△							
34	BLR-029	Campo地区東側						◎						・?		
35	BLR-030	Campo地区東側						◎	△							
36	BLR-031	Campo地区東側					△	◎								
37	BLR-036	Campo地区東側坑口付近					△	◎								
38	BLR-038	Campo地区北東側						◎	○	△						
39	BLR-048	Campo地区中央						◎	△							
40	BLR-070	Campo地区西側						◎	△							
41	BLR-075	Calising Point東(Campo)					△	◎		◎						
42	BLR-080	Calising Point東(Campo)						○	○	△						
43	BLR-083	Calising Point南東(Campo)						◎		△						
44	BLR-089	Tila Point北東(Gata)					△	○		△						
45	BLR-090	Tila Point北東(Gata)						○		△						
46	BLR-093	Calising Point東(Campo)					△	◎								
47	BLR-112	Gata地区北東側						◎	○							
48	BLR-115	Calising Point東(Campo)						◎	○							
49	BLR-116	Calising Point東(Campo)						◎	○							
50	LAGR-04	Tila Point東(Gata)						◎	△							
51	LAGR-05	Tila Point東(Gata)						○		△						
52	LAGR-19	Gata地区南東側						◎								
53	LA-01-17R	Lahuy島北部						◎								

凡例 [量] ◎:多量 ○:中量 △:少量 ・:微量 ? :不確実

付表 7 ラファイ島の鉱石分析結果一覧表

No	Sample No.	Location	Element	Au	Au	Ag	Cu	Fe	Mo	Pb	S%	Zn
			Unit	g/t	oz/t	ppm	%	%	%	%	Total	%
1	ALR-013	Gata Prospect.		9.33	0.300	8	0.044	5.99	0.003	0.144	0.098	0.026
2	ALR-040	Old Tunnel of Gata Prospect.		1.52	0.049	6	0.967	4.30	0.002	1.665	5.760	3.700
3	ALR-044	Gata Prospect.		0.53	0.017	<2	0.014	5.53	<0.001	0.063	0.026	0.013
4	ALR-047	Gata Prospect.		2.43	0.078	2	0.007	7.16	<0.001	0.045	0.015	0.021
5	BLR-005	Gata Prospect.		2.52	0.081	<2	0.024	3.35	<0.001	0.142	0.203	0.037
6	BLR-010	No.6 Tunnel, Campo Prospect.		46.84	1.506	28	1.745	5.60	<0.001	0.308	6.270	1.825
7	BLR-013	No.6 Tunnel, Campo Prospect.		3.14	0.101	<2	0.064	4.09	<0.001	0.079	1.710	0.293
8	BLR-016	Campo Prospect.		0.16	0.005	<2	0.007	3.15	<0.001	0.006	0.822	0.013
9	BLR-024-1	No.5 Tunnel, Campo Prospect.		21.65	0.696	18	1.055	7.12	<0.001	4.520	4.700	2.400
10	BLR-024-2	No.5 Tunnel, Campo Prospect.		11.82	0.380	16	0.749	5.99	<0.001	3.590	2.200	1.100
11	BLR-026	No.4 Tunnel, Campo Prospect.		9.08	0.292	4	0.102	3.29	<0.001	0.334	3.420	2.920
12	BLR-034	Panique Tunnel, Campo Prospect		2.12	0.068	20	0.031	6.24	<0.001	0.006	6.070	0.021
13	BLR-035	Panique Tunnel, Campo Prospect		6.00	0.193	16	0.036	5.99	<0.001	0.006	5.930	0.011
14	BLR-045	Campo Prospect.		2.95	0.095	60	3.380	1.60	<0.001	50.700	19.400	6.500
15	BLR-046	Campo Prospect.		<0.03	<0.001	<2	0.007	3.25	<0.001	0.035	0.192	0.080
16	BLR-051	Campo Prospect.		0.81	0.026	<2	0.005	3.23	<0.001	0.022	2.090	0.040
17	BLR-053	Campo Prospect.		1.46	0.047	2	0.041	3.56	<0.001	0.353	0.654	0.100
18	BLR-055	Campo Prospect.		3.05	0.098	6	0.018	5.11	<0.001	0.109	0.079	0.028
19	BLR-059	Campo Prospect.		<0.03	<0.001	<2	0.004	2.45	<0.001	0.008	2.200	0.016
20	LAE-17R	Old Tunnel of Gata Prospect.		0.12	0.004	<2	0.003	4.15	<0.001	0.008	1.490	0.021
21	LAE-18R	Old Tunnel of Gata Prospect.		0.72	0.023	<2	0.038	3.92	0.001	0.035	1.970	0.064

付表 8 ラファイ島の岩石試料微量成分化学分析結果一覽表

No Sample No.	Au ppb	Ag ppm	As ppm	Cu ppm	Fe %	Hg ppm	Mo ppm	Pb ppm	S% Total	Sb ppm	Zn ppm
1 ALR-008	6	0.2	10	74	3.65	<1	<1	30	0.005	2	154
2 ALR-011	11	<0.2	10	40	1.92	<1	<1	72	0.002	<2	52
3 ALR-012	7	<0.2	8	31	2.86	<1	<1	150	0.937	<2	288
4 ALR-014	123	<0.2	28	60	3.39	<1	<1	58	<0.001	<2	98
5 ALR-016	14	<0.2	18	49	2.77	<1	<1	80	0.016	<2	52
6 ALR-017	451	<0.2	24	140	3.35	<1	<1	436	0.006	<2	102
7 ALR-018	385	<0.2	16	73	1.10	<1	1	36	0.008	2	40
8 ALR-019	<1	<0.2	6	10	2.61	<1	<1	2	0.023	<2	82
9 ALR-021	10	0.2	<2	49	2.92	<1	<1	<2	<0.001	<2	54
10 ALR-023	8	0.2	2	105	3.03	<1	<1	24	0.241	<2	278
11 ALR-025	8	0.2	18	4	3.26	<1	<1	<2	<0.001	2	100
12 ALR-026	75	<0.2	12	83	3.49	<1	<1	8	0.004	<2	124
13 ALR-027	23	0.2	6	18	3.11	<1	<1	6	0.589	<2	104
14 ALR-028	59	0.2	16	26	2.58	<1	<1	<2	0.145	<2	84
15 ALR-030	379	<0.2	30	115	6.30	<1	<1	458	0.002	<2	140
16 ALR-031	2190	<0.2	36	110	3.09	<1	<1	396	0.005	<2	166
17 ALR-032	285	0.4	42	96	3.54	<1	1	220	1.710	<2	216
18 ALR-033	29	<0.2	22	75	3.63	<1	<1	2	0.004	<2	170
19 ALR-034	34	<0.2	24	40	3.58	1	<1	8	0.004	<2	170
20 ALR-039	2	<0.2	2	58	2.58	<1	<1	<2	0.500	<2	58
21 ALR-042	184	<0.2	2	63	2.88	<1	<1	170	0.006	<2	236
22 ALR-043	213	<0.2	20	78	4.05	<1	7	444	1.390	<2	502
23 ALR-048	91	<0.2	12	40	3.36	1	<1	188	0.002	<2	776
24 ALR-049	21	0.2	2	94	2.58	<1	<1	274	0.199	<2	378
25 ALR-051	37	<0.2	40	13	1.15	<1	<1	48	0.010	<2	10
26 ALR-052	74	<0.2	64	29	2.68	<1	2	40	0.016	<2	22
27 ALR-053	<1	<0.2	6	31	4.04	<1	<1	<2	0.003	<2	58
28 ALR-056	<1	<0.2	16	20	1.90	<1	25	6	<0.001	<2	4
29 ALR-057	<1	<0.2	16	22	3.21	<1	<1	<2	0.001	<2	96
30 ALR-058	<1	<0.2	28	25	4.25	<1	<1	<2	0.025	<2	28
31 ALR-060	<1	<0.2	8	30	4.05	<1	<1	<2	0.010	<2	90
32 ALR-063	<1	<0.2	6	38	3.49	<1	<1	<2	<0.001	<2	116
33 ALR-064	<1	<0.2	2	66	3.17	<1	<1	<2	0.004	<2	86
34 ALR-088	<1	<0.2	2	6	0.15	<1	<1	20	0.002	<2	14
35 BLR-001	<1	<0.2	4	39	3.84	<1	<1	<2	<0.001	<2	74
36 BLR-003	<1	<0.2	2	19	3.19	<1	<1	4	0.108	<2	40
37 BLR-004	3	<0.2	2	48	2.87	<1	<1	<2	0.005	2	124
38 BLR-006	24	<0.2	14	108	3.04	<1	<1	76	<0.001	<2	186
39 BLR-007	16600	0.2	18	30	4.46	<1	<1	16	0.010	<2	176
40 BLR-008	72	<0.2	<2	23	2.53	<1	<1	40	0.018	<2	602
41 BLR-009	<1	<0.2	6	52	3.61	<1	<1	<2	0.212	<2	112
42 BLR-016	102	0.8	50	42	2.93	<1	<1	14	0.447	<2	36
43 BLR-017	56	<0.2	6	10	1.92	<1	<1	24	0.281	<2	26
44 BLR-018	462	0.6	16	201	3.22	<1	2	162	1.270	<2	176
45 BLR-019	86	0.2	24	27	2.84	<1	<1	32	1.370	<2	424
46 BLR-026	30400	7.8	16	2600	4.94	<1	2	8740	6.050	>10000	70
47 BLR-028	108	<0.2	<2	17	2.91	<1	<1	8	0.005	<2	60
48 BLR-030	35	<0.2	8	33	1.90	<1	<1	228	0.007	<2	90
49 BLR-033	2	<0.2	<2	32	2.61	<1	<1	<2	0.027	<2	268
50 BLR-038	620	1.2	74	218	2.92	<1	<1	222	0.166	<2	80
51 BLR-040	2	<0.2	4	9	2.75	<1	<1	<2	<0.001	2	558
52 BLR-041	1290	5.8	4	2610	2.86	<1	<1	774	0.069	<2	72
53 BLR-042	4	<0.2	6	9	2.37	<1	<1	<2	<0.001	<2	386
54 BLR-044	60	<0.2	22	43	5.05	<1	2	456	0.033	<2	230
55 BLR-048	7	<0.2	12	26	2.44	<1	<1	32	0.646	<2	150
56 BLR-050	245	<0.2	18	87	2.71	<1	<1	150	<0.001	<2	34
57 BLR-060	5	<0.2	26	17	1.81	<1	<1	16	0.007	<2	8
58 BLR-061	57	2.8	54	8	1.88	<1	<1	4	0.109	<2	236
59 BLR-062	4	<0.2	10	47	2.57	<1	<1	144	<0.001	<2	110
60 BLR-064	42	<0.2	6	36	2.80	<1	<1	2	0.180	<2	52
61 BLR-065	5	0.6	22	14	2.22	<1	<1	4	0.159	<2	52
62 BLR-066	<1	<0.2	4	31	2.22	<1	<1	2	<0.001	<2	22
63 BLR-068	35	<0.2	42	29	2.30	<1	<1	12	0.008	<2	268
64 BLR-070	753	0.6	32	433	3.67	<1	1	4680	0.009	<2	72
65 BLR-071	2	<0.2	8	5	2.74	<1	<1	12	0.013	<2	18
66 BLR-075	6	<0.2	<2	12	1.31	<1	<1	18	0.030	<2	76
67 BLR-076	<1	<0.2	2	19	3.04	<1	<1	2	0.022	<2	46
68 BLR-078	<1	<0.2	2	29	2.91	<1	<1	4	0.005	<2	234
69 BLR-079	52	<0.2	<2	83	1.45	<1	<1	16	0.004	<2	48
70 BLR-080	<1	<0.2	<2	23	2.96	<1	<1	<2	0.006	<2	104
71 BLR-082	96	<0.2	8	26	2.40	<1	1	6	0.005	<2	4
72 BLR-083	32	<0.2	22	10	1.49	<1	4	<2	0.009	<2	652
73 BLR-089	1	<0.2	20	27	3.52	<1	<1	222	<0.001	<2	132
74 BLR-090	67	<0.2	2	11	4.62	<1	<1	<2	0.331	<2	12
75 BLR-093	16	<0.2	10	18	4.64	<1	7	6	0.016	<2	58
76 BLR-095	<1	<0.2	14	30	2.97	<1	<1	<2	<0.001	<2	88
77 BLR-096	6	<0.2	14	147	3.45	<1	<1	<2	0.011	<2	72
78 BLR-098	<1	<0.2	6	27	2.63	<1	<1	2	<0.001	<2	26
79 BLR-099	1	<0.2	30	25	3.06	<1	1	22	0.005	<2	86
80 BLR-103	<1	<0.2	2	16	3.51	<1	<1	<2	0.015	<2	48
81 BLR-104	<1	<0.2	<2	26	2.65	<1	<1	4	0.022	<2	80
82 BLR-106	4	0.2	<2	42	2.58	<1	<1	<2	0.462	<2	34
83 BLR-107	<1	<0.2	<2	31	2.93	<1	<1	<2	0.010	<2	76
84 BLR-108	<1	<0.2	<2	11	2.04	<1	<1	<2	0.010	<2	60
85 BLR-109	<1	<0.2	<2	33	3.31	<1	<1	<2	0.009	<2	18
86 BLR-110	<1	0.2	<2	33	3.36	<1	<1	<2	0.028	<2	80
87 BLR-111	<1	0.2	<2	24	2.87	<1	<1	<2	0.014	2	16
88 BLR-112	<1	<0.2	2	24	1.53	<1	<1	6	0.053	<2	52
89 BLR-116	4	0.2	8	21	2.69	<1	6	2	0.017	<2	58
90 BLR-119	2	0.2	<2	48	3.46	<1	<1	<2	0.026	2	54
91 BLR-120	<1	0.2	<2	45	3.36	<1	<1	<2	0.011	2	74
92 BLR-121	<1	0.2	<2	13	2.52	<1	<1	<2	0.020	<2	70
93 BLR-122	9	<0.2	<2	16	2.31	<1	<1	14	0.032	<2	50
94 BLR-124	<1	<0.2	<2	26	2.47	<1	<1	<2	0.009	<2	78
95 BLR-125	<1	0.2	<2	27	3.60	<1	<1	<2	0.054	<2	48
96 FLR-001	2	<0.2	<2	15	1.87	<1	<1	<2	0.011	<2	20
97 FLR-003	1	<0.2	16	11	1.30	<1	<1	<2	0.036	2	138
98 LAGR-015	2	<0.2	<2	44	4.44	<1	<1	14	0.019	<2	164
99 LAGR-016	<1	<0.2	<2	36	4.67	<1	<1	48	0.040	4	28
100 LAGR-018	627	1.6	110	43	3.85	<1	18	242	0.021	<2	52
101 LAGR-019	5	0.2	8	11	2.56	<1	<1	4	0.007	<2	10
102 LA-01-17R	10	0.8	44	226	2.97	2	1	16	1.980	<2	228
103 LA-11-12	<1	<0.2	14	126	12.80	7	<1	68	0.017	<2	18
104 LA-43-18R	4	<0.2	4	2	6.89	<1	2	<2	0.009	<2	

付表 9 K-Ar年代測定結果一覽表

Sample No.	Rock Type	Sample Locality (latitude, longitude)	POTASSIUM (K wt%)	Rad. ⁴⁰ Ar (10 ⁻⁸ c./g)	K-Ar AGE (Ma)	AIR CONT. (%)	Average of K-Ar Age (Ma)
ACR026	Amphibole Porphyry	Solong Prospect. (N 13° 39' 31", E 124° 17' 32")	1.14 ± 0.03	135 ± 2.0 136 ± 2.0	30.3 ± 1.0 30.6 ± 1.0	13.0 12.0	30.5 ± 1.0
ACR135	Biotite Diorite	Agban Prospect. (N 13° 43' 32", E 124° 23' 35")	1.51 ± 0.05	177 ± 2.0 180 ± 2.0	30.0 ± 1.0 30.4 ± 1.0	16.0 15.4	30.2 ± 1.0
CCR011	Gabbro	1.6km north of Calolbon (N 13° 37' 12", E 124° 06' 15")	1.42 ± 0.04	382 ± 5.0 378 ± 5.0	68.0 ± 2.2 67.4 ± 2.1	8.3 9.0	67.7 ± 2.1
DCR008	Basalt	2.4km northwest of Tabugoc. (N 14° 04' 07", E 124° 13' 30")	2.72 ± 0.05	513 ± 6.0 509 ± 5.8	48.0 ± 1.1 47.6 ± 1.1	7.2 5.6	47.8 ± 1.1
GCR004	Plagioclase Porphyry	7.5km northeast of Cuiamlong. (N 13° 42' 31", E 124° 14' 20")	2.17 ± 0.04	327 ± 4.0 330 ± 5.0	38.5 ± 0.9 38.9 ± 0.9	19.3 19.9	38.7 ± 0.9
GCR006	Diorite	Lower Stream of the Sumigin River. (N 13° 50' 45", E 124° 12' 02")	3.75 ± 0.08	578 ± 7.0 584 ± 7.0	39.3 ± 0.9 39.7 ± 0.9	11.2 11.3	39.5 ± 0.9
BLR001	Dacite	Southern coast of Gata Prospect. (N 13° 55' 20", E 123° 50' 38")	0.75 ± 0.05	197 ± 3.0 199 ± 3.0	66.4 ± 4.1 67.2 ± 4.1	30.1 34.5	66.8 ± 4.1
BLR028	Andesite	170m east of Matalhod Point. (N 13° 56' 28", E 123° 49' 51")	1.74 ± 0.05	602 ± 7.0 615 ± 7.0	87.2 ± 2.8 89.2 ± 2.8	9.8 9.4	88.2 ± 2.8
ALR071	Andesite	420m southeast of Balogo Point. (N 13° 56' 53", E 123° 49' 04")	1.55 ± 0.05	571 ± 7.0 577 ± 7.0	92.5 ± 2.9 93.4 ± 3.0	12.6 13.0	93.0 ± 3.0
ALR075	Dacite	500m north of Gogon. (N 13° 58' 04", E 123° 50' 30")	2.38 ± 0.05	380 ± 5.0 384 ± 5.0	40.7 ± 1.0 41.2 ± 1.0	14.5 13.9	41.0 ± 1.0

* Dating was done on bulk samples by Mitsubishi Material Co., Ltd. Central Laboratory.

* Decay Constant(after Steiger and Jaeger, 1977):

$$\lambda_e = 0.581 \times 10^{-10} / \text{yr}$$

$$\lambda_\beta = 4.962 \times 10^{-10} / \text{yr}$$

* ⁴⁰K content in K : ⁴⁰K/K = 0.01167 atom %

* Error estimation was done after Nagao et al. (1984)

付表10 カタンドゥアネス島の河床堆積物試料分析結果一覧表 (2)

No.	Element Unit	Au ppb	Ag ppm	As ppm	Cu ppm	Fe %	Hg ppm	Mo ppm	Pb ppm	S % Total	Sb ppm	Zn ppm
101	CCS-001	8	<0.2	<2	121	6.61	<1	<1	<2	<0.001	<2	100
102	CCS-002	2	<0.2	<2	97	8.14	<1	<1	<2	0.003	<2	96
103	CCS-003	19	<0.2	<2	77	4.57	<1	<1	<2	0.004	<2	72
104	CCS-004	<1	<0.2	14	139	5.64	<1	<1	<2	<0.001	<2	112
105	CCS-005	2	<0.2	<2	158	5.82	<1	<1	4	0.037	<2	104
106	CCS-006	76	<0.2	<2	184	6.60	<1	<1	4	0.009	<2	110
107	CCS-007	<1	<0.2	16	172	8.34	<1	<1	4	0.033	<2	120
108	CCS-008	5	<0.2	<2	145	11.15	<1	<1	4	0.003	<2	126
109	CCS-009	<1	<0.2	<2	110	10.90	<1	<1	4	0.003	<2	104
110	CCS-010	<1	<0.2	<2	105	12.35	<1	<1	<2	<0.001	<2	230
111	CCS-011	<1	<0.2	<2	75	11.50	<1	<1	<2	<0.001	<2	194
112	CCS-012	<1	<0.2	<2	120	11.70	<1	<1	4	<0.001	<2	202
113	CCS-013	3	<0.2	<2	84	12.10	<1	<1	2	0.071	<2	200
114	CCS-014	1	<0.2	<2	137	7.54	<1	<1	10	0.014	<2	106
115	CCS-015	62	<0.2	<2	131	7.50	<1	<1	2	0.045	<2	108
116	CCS-016	1	<0.2	<2	94	8.92	<1	<1	<2	0.006	<2	138
117	CCS-017	<1	<0.2	<2	117	14.10	<1	<1	2	0.004	<2	216
118	CCS-018	42	<0.2	<2	139	9.43	<1	<1	<2	0.171	<2	136
119	CCS-019	2	<0.2	<2	102	>15.00	<1	<1	<2	0.025	<2	154
120	CCS-020	<1	<0.2	<2	96	13.70	<1	<1	<2	0.022	<2	152
121	CCS-021	<1	<0.2	<2	135	12.50	<1	1	<2	0.005	<2	114
122	CCS-022	<1	<0.2	10	64	11.45	<1	<1	<2	0.005	2	138
123	CCS-023	<1	<0.2	6	70	7.87	<1	<1	<2	0.007	2	90
124	CCS-024	1	<0.2	8	73	>15.00	<1	<1	<2	0.004	4	178
125	CCS-025	<1	<0.2	<2	77	10.65	<1	<1	2	0.003	4	146
126	CCS-026	1	<0.2	<2	92	12.25	<1	<1	<2	0.004	2	172
127	CCS-027	1	<0.2	<2	91	>15.00	<1	<1	2	0.023	4	232
128	CCS-028	2	<0.2	<2	83	>15.00	<1	<1	<2	0.014	4	274
129	CCS-029	17	<0.2	<2	95	13.60	<1	<1	<2	0.030	2	202
130	CCS-030	<1	<0.2	2	108	>15.00	<1	1	<2	0.003	6	260
131	CCS-031	<1	<0.2	<2	74	>15.00	<1	1	2	0.008	2	284
132	CCS-032	<1	<0.2	6	54	10.50	<1	<1	<2	0.003	2	150
133	CCS-033	<1	<0.2	2	56	8.44	<1	<1	4	0.006	<2	118
134	CCS-034	<1	<0.2	<2	54	9.77	<1	1	<2	0.004	4	140
135	CCS-035	<1	<0.2	<2	51	5.84	<1	<1	<2	0.004	2	76
136	CCS-036	<1	<0.2	6	49	7.86	<1	1	<2	0.003	4	108
137	CCS-037	<1	<0.2	<2	48	6.80	<1	1	2	0.004	2	92
138	CCS-038	95	<0.2	14	56	9.78	<1	1	<2	0.002	2	138
139	CCS-039	3	<0.2	<2	141	14.95	<1	<1	<2	0.007	<2	152
140	CCS-040	2	<0.2	<2	158	13.60	<1	<1	8	0.012	6	146
141	CCS-041	<1	<0.2	<2	62	>15.00	<1	1	6	0.003	2	120
142	CCS-042	1	<0.2	20	106	>15.00	<1	<1	<2	0.006	6	124
143	CCS-043	<1	<0.2	<2	101	14.25	<1	<1	<2	0.006	2	210
144	CCS-044	<1	<0.2	<2	121	>15.00	<1	1	<2	0.009	<2	270
145	CCS-045	26	<0.2	20	97	7.73	<1	<1	2	0.052	4	102
146	CCS-046	<1	<0.2	<2	96	10.85	<1	<1	<2	0.008	4	148
147	CCS-047	1	<0.2	<2	97	8.86	<1	<1	6	0.018	6	116
148	CCS-048	24	<0.2	<2	96	9.23	<1	<1	4	0.016	4	116
149	CCS-049	<1	<0.2	12	91	8.68	<1	<1	2	0.007	6	138
150	CCS-051	4	<0.2	12	103	7.93	<1	2	2	0.006	4	126
151	CCS-052	<1	<0.2	14	105	9.25	<1	1	2	0.005	2	122
152	CCS-053	<1	<0.2	4	90	9.87	<1	<1	<2	0.010	4	166
153	CCS-055	176	<0.2	2	77	10.20	<1	<1	<2	0.006	<2	118
154	CCS-056	89	<0.2	12	82	9.00	<1	1	<2	0.006	4	108
155	CCS-057	2	<0.2	<2	78	6.33	<1	<1	<2	0.004	<2	80
156	CCS-058	1	<0.2	<2	76	5.70	<1	1	2	0.008	<2	74
157	CCS-059	2	<0.2	<2	99	5.83	<1	<1	<2	0.008	<2	66
158	CCS-060	2	<0.2	12	83	7.20	<1	<1	2	0.009	2	84
159	CCS-062	8	<0.2	2	81	5.40	<1	<1	<2	0.008	4	68
160	CCS-063	1	<0.2	<2	94	5.72	<1	<1	<2	<0.001	4	60
161	CCS-065	2	<0.2	<2	89	5.34	<1	<1	10	0.006	2	58
162	CCS-066	1	<0.2	<2	98	4.89	<1	<1	<2	0.009	4	60
163	CCS-067	2	<0.2	<2	85	6.51	<1	1	<2	0.028	<2	64
164	CCS-068	<1	<0.2	<2	102	5.34	<1	<1	6	0.003	6	64
165	CCS-069	<1	<0.2	<2	64	3.75	<1	<1	<2	0.006	<2	48
166	CCS-070	39	<0.2	8	40	6.28	<1	<1	<2	0.009	<2	36
167	CCS-071	<1	<0.2	<2	114	2.86	<1	8	4	0.006	<2	36
168	CCS-072	<1	<0.2	6	67	4.45	<1	2	6	0.051	4	42
169	CCS-073	<1	<0.2	<2	61	5.85	<1	1	6	0.017	4	54
170	CCS-074	7	<0.2	<2	59	5.82	<1	1	2	0.686	4	72
171	CCS-075	9	<0.2	<2	59	6.22	<1	<1	<2	0.032	4	68
172	CCS-076	2	<0.2	6	66	9.32	<1	<1	4	0.046	6	60
173	CCS-077	4	<0.2	<2	46	7.03	<1	2	<2	1.250	2	66
174	CCS-078	3	<0.2	4	47	6.44	<1	1	2	0.512	2	68
175	CCS-079	754	<0.2	2	77	5.50	<1	2	<2	0.041	2	48
176	CCS-080	6	<0.2	<2	128	12.00	<1	<1	4	0.009	<2	80
177	CCS-082	1	<0.2	10	171	7.70	<1	<1	8	0.012	4	100
178	CCS-083	3	<0.2	<2	132	12.40	<1	1	<2	0.012	<2	76
179	CCS-084	<1	<0.2	8	191	6.11	<1	1	<2	0.045	4	134
180	CCS-085	2	<0.2	<2	184	7.89	<1	2	4	0.022	2	108
181	CCS-086	4	<0.2	24	203	9.35	<1	1	<2	0.016	6	114
182	CCS-088	3	<0.2	<2	60	7.16	<1	<1	4	0.007	4	54
183	CCS-090	4	<0.2	<2	58	7.32	<1	<1	2	0.006	2	48
184	CCS-091	197	<0.2	<2	58	8.20	<1	1	<2	0.010	2	56
185	CCS-092	441	<0.2	<2	61	7.91	<1	1	<2	0.006	2	52
186	CCS-093	3	<0.2	<2	99	>15.00	<1	<1	<2	0.003	6	238
187	CCS-095	<1	<0.2	<2	92	>15.00	<1	<1	10	0.003	12	310
188	CCS-097	<1	<0.2	<2	89	>15.00	<1	1	6	0.004	2	212
189	CCS-098	<1	<0.2	<2	95	7.38	<1	<1	8	0.125	2	124
190	CCS-099	<1	<0.2	<2	82	4.88	<1	<1	4	0.240	6	80
191	CCS-100	<1	<0.2	<2	83	6.22	<1	<1	6	0.174	4	114
192	CCS-101	1	<0.2	<2	83	10.80	<1	<1	10	0.181	2	216
193	CCS-102	<1	<0.2	<2	80	9.99	<1	<1	10	0.161	4	174
194	CCS-103	<1	<0.2	<2	83	10.80	<1	<1	8	0.192	6	188
195	CCS-104	<1	<0.2	<2	82	7.90	<1	<1	14	0.007	6	66
196	CCS-105	<1	<0.2	<2	60	7.27	<1	<1	<2	0.005	<2	74
197	CCS-106	5	<0.2	<2	68	7.66	<1	<1	<2	0.007	6	74
198	CCS-107	136	<0.2	<2	65	7.14	<1	<1	2	0.008	<2	70
199	CCS-108	1	<0.2	<2	63	6.40	<1	<1	8	0.004	2	72
200	CCS-109	6	<0.2	<2	69	6.37	<1	1	<2	0.007	<2	74

付表10 カタンドゥアネス島の河床堆積物試料分析結果一覧表 (3)

No.	Element Unit	Au ppb	Ag ppm	As ppm	Cu ppm	Fe %	Hg ppb	Mo ppm	Pb ppm	S % Total	Sb ppm	Zn ppm
201	CCS-110	2	0.2	4	112	8.15	<1	<1	<2	0.005	4	112
202	CCS-111	1	<0.2	6	104	6.49	<1	<1	<2	0.007	2	90
203	CCS-113	<1	<0.2	6	96	7.32	<1	<1	<2	0.019	2	160
204	DCS-001	3	0.2	8	131	7.83	<1	<1	<2	0.015	2	96
205	DCS-002	3	0.2	16	141	7.86	<1	<1	<2	0.008	2	96
206	DCS-003	410	0.4	16	149	8.69	<1	<1	<2	0.013	2	108
207	DCS-004	6	<0.2	6	150	9.05	<1	<1	<2	0.025	2	112
208	DCS-005	3	0.2	8	151	8.85	<1	<1	<2	0.044	2	110
209	DCS-006	4	<0.2	12	150	9.65	<1	<1	<2	0.053	2	116
210	DCS-007	<1	0.2	<2	71	10.95	<1	<1	<2	0.013	2	178
211	DCS-008	<1	0.6	14	86	12.00	<1	<1	<2	0.020	2	206
212	DCS-009	<1	0.4	2	72	12.00	<1	<1	<2	0.026	2	180
213	DCS-010	<1	0.2	4	69	12.75	<1	<1	2	0.048	2	194
214	DCS-011	<1	<0.2	4	67	>15.00	<1	<1	4	0.030	2	246
215	DCS-012	<1	0.4	4	67	8.87	<1	<1	<2	0.010	2	128
216	DCS-013	<1	<0.2	4	57	11.95	<1	<1	<2	0.008	2	174
217	DCS-014	<1	0.4	12	68	9.15	<1	<1	<2	0.008	2	130
218	DCS-015	<1	0.2	2	78	9.89	<1	<1	<2	0.011	2	124
219	DCS-016	<1	<0.2	<2	66	>15.00	<1	<1	<2	0.007	2	200
220	DCS-017	<1	0.2	2	72	13.60	<1	<1	<2	0.010	2	202
221	DCS-018	53	<0.2	<2	61	>15.00	<1	<1	<2	0.017	2	338
222	DCS-019	229	<0.2	<2	79	>15.00	<1	<1	<2	0.048	2	308
223	DCS-020	1	0.4	<2	76	13.75	<1	<1	<2	0.003	2	188
224	DCS-021	<1	0.2	<2	72	13.55	<1	<1	<2	0.006	2	182
225	DCS-022	<1	0.4	<2	72	13.20	<1	<1	<2	0.006	2	178
226	DCS-023	<1	0.4	<2	65	12.90	<1	<1	<2	0.004	2	164
227	DCS-024	1	0.8	4	78	8.80	<1	<1	<2	0.005	2	112
228	DCS-025	<1	<0.2	<2	85	>15.00	<1	<1	<2	0.003	2	318
229	DCS-026	281	0.2	<2	93	>15.00	<1	<1	2	0.006	2	312
230	DCS-027	<1	1.2	<2	89	>15.00	<1	<1	<2	0.002	2	276
231	DCS-028	1	0.8	8	104	10.40	<1	<1	<2	0.010	2	182
232	DCS-029	23	0.8	8	105	9.89	<1	<1	<2	0.006	2	168
233	DCS-030	2	0.6	8	162	13.80	<1	<1	<2	0.008	2	188
234	DCS-031	1	0.2	<2	119	>15.00	<1	<1	<2	0.003	2	238
235	DCS-032	<1	0.2	<2	133	>15.00	<1	<1	<2	0.003	2	252
236	DCS-033	<1	1.0	4	147	>15.00	<1	<1	4	0.002	2	206
237	DCS-034	<1	0.4	<2	121	>15.00	<1	<1	4	0.003	2	330
238	DCS-035	15	0.6	14	75	6.12	<1	<1	<2	0.071	4	90
239	DCS-036	1	0.6	12	78	6.87	<1	<1	<2	0.017	2	94
240	DCS-037	<1	0.6	18	93	8.65	<1	<1	<2	0.007	2	116
241	DCS-038	5	0.4	4	78	6.61	<1	<1	<2	0.004	2	176
242	DCS-039	2	0.4	20	93	6.36	<1	<1	<2	0.027	4	108
243	DCS-040	<1	0.6	10	76	8.29	<1	<1	<2	0.005	2	140
244	DCS-041	<1	0.6	2	81	14.20	<1	<1	<2	0.006	2	234
245	DCS-042	<1	0.8	6	77	8.26	<1	<1	<2	0.004	2	138
246	DCS-043	<1	0.6	<2	40	14.45	<1	<1	<2	0.003	2	198
247	DCS-044	2	0.4	2	75	7.39	<1	<1	<2	0.006	2	114
248	DCS-045	<1	0.4	12	64	5.51	<1	<1	<2	0.004	2	78
249	DCS-046	1465	0.4	6	63	>15.00	<1	<1	<2	0.019	2	108
250	DCS-047	610	0.4	<2	59	12.95	<1	<1	<2	0.012	2	164
251	DCS-048	1370	<0.2	<2	53	>15.00	<1	<1	<2	0.016	2	192
252	DCS-049	<1	0.2	2	66	5.00	<1	<1	<2	0.033	2	64
253	DCS-050	113	0.2	2	71	13.15	<1	<1	<2	0.014	2	142
254	DCS-051	663	0.4	8	69	10.65	<1	<1	<2	0.016	2	118
255	DCS-052	8	0.4	<2	60	6.87	<1	<1	<2	0.023	2	68
256	DCS-053	936	0.2	2	63	4.09	<1	<1	<2	0.056	2	76
257	DCS-054	296	0.2	<2	67	5.54	<1	<1	<2	0.016	2	58
258	DCS-055	4510	<0.2	<2	59	>15.00	<1	<1	<2	0.031	2	150
259	DCS-056	986	<0.2	<2	55	>15.00	<1	<1	<2	0.065	2	162
260	DCS-057	367	0.2	<2	51	14.05	<1	<1	<2	0.038	2	140
261	DCS-058	2830	1.4	6	79	11.05	<1	<1	4	0.061	2	72
262	DCS-059	1205	<0.2	<2	58	13.35	<1	<1	<2	0.007	2	108
263	DCS-060	8	0.2	<2	70	7.85	<1	<1	4	0.060	2	60
264	DCS-061	5	0.2	<2	68	7.53	<1	<1	<2	0.142	2	66
265	DCS-062	876	<0.2	<2	61	>15.00	2	<1	<2	0.013	2	140
266	DCS-064	1580	<0.2	<2	93	>15.00	<1	<1	<2	0.011	2	120
267	DCS-066	56	<0.2	<2	95	>15.00	<1	<1	<2	0.008	2	114
268	DCS-068	2	<0.2	<2	96	>15.00	<1	<1	<2	0.006	2	114
269	DCS-069	2	<0.2	<2	96	11.90	<1	<1	<2	0.013	2	98
270	DCS-070	7	<0.2	<2	90	>15.00	<1	<1	<2	0.005	2	118
271	DCS-071	1	<0.2	<2	73	14.60	<1	<1	<2	0.006	2	96
272	DCS-072	5	<0.2	6	96	>15.00	<1	<1	<2	0.005	2	116
273	DCS-073	<1	<0.2	<2	88	13.05	<1	<1	<2	0.003	2	104
274	DCS-074	11	0.2	20	139	6.45	<1	<1	4	0.016	2	90
275	DCS-075	11	0.4	<2	53	10.05	<1	<1	<2	0.002	2	82
276	DCS-076	17	0.6	<2	57	>15.00	<1	<1	<2	0.009	2	92
277	DCS-077	75	0.4	<2	52	>15.00	<1	<1	<2	0.006	2	100
278	DCS-078	284	<0.2	<2	60	>15.00	<1	<1	<2	0.012	2	118
279	DCS-079	23	0.2	<2	62	>15.00	2	<1	<2	0.016	2	118
280	DCS-080	83	0.4	94	82	5.09	<1	<1	12	0.873	2	64
281	DCS-081	13	<0.2	<2	61	>15.00	<1	<1	<2	0.009	2	120
282	DCS-082	39	<0.2	<2	44	>15.00	<1	<1	<2	0.005	2	338
283	DCS-083	17	<0.2	<2	37	>15.00	<1	<1	<2	0.006	2	312
284	DCS-084	497	<0.2	<2	39	>15.00	<1	<1	<2	0.004	2	284
285	DCS-085	76	0.4	<2	47	>15.00	<1	<1	<2	0.003	2	248
286	DCS-086	<1	<0.2	<2	38	>15.00	<1	<1	<2	<0.001	2	298
287	DCS-087	<1	0.6	<2	53	>15.00	<1	<1	<2	0.004	2	292
288	DCS-088	164	0.6	2	47	>15.00	<1	<1	<2	0.013	2	358
289	DCS-089	<1	1.0	4	50	11.05	<1	<1	<2	0.003	2	144
290	DCS-090	1	<0.2	<2	45	>15.00	<1	<1	<2	0.019	2	376
291	DCS-091	<1	0.6	<2	41	11.85	<1	<1	<2	0.006	2	154
292	DCS-092	<1	0.6	6	40	6.56	<1	<1	<2	0.012	2	82
293	DCS-093	<1	0.8	<2	45	>15.00	<1	<1	<2	0.018	2	262
294	DCS-094	67	<0.2	<2	49	>15.00	<1	<1	<2	0.011	2	424
295	DCS-095	11	0.8	18	127	8.03	<1	<1	<2	<0.001	6	112
296	DCS-096	4	0.6	6	123	7.47	<1	<1	<2	0.004	2	112
297	DCS-097	63	0.6	10	109	9.79	<1	<1	<2	0.001	4	120
298	DCS-098	1085	0.8	2	96	12.40	<1	2	<2	0.003	2	140
299	DCS-099	76	0.8	28	111	5.87	<1	<1	<2	0.005	4	100
300	DCS-100	839	0.6	6	98	10.55	<1	<1	<2	0.003	4	124

付表10 カタンドウアネス島の河床堆積物試料分析結果一覧表 (4)

No.	Element Unit	Au ppb	Ag ppm	As ppm	Cu ppm	Fe %	Hg ppm	Mo ppm	Pb ppm	S % Total	Sb ppm	Zn ppm
301	DCS-101	861	0.6	8	108	9.96	<1	<1	<2	0.004	2	118
302	DCS-102	6	0.4	4	109	12.90	<1	<1	<2	<0.001	<2	112
303	DCS-103	1	0.4	<2	62	12.20	<1	<1	<2	<0.001	<2	156
304	DCS-104	20	0.6	4	93	8.45	<1	<1	<2	<0.001	<2	100
305	DCS-105	225	0.4	6	91	11.05	<1	<1	<2	<0.001	<2	102
306	ECS-001	12	0.4	16	142	7.35	<1	<1	<2	<0.001	<2	112
307	ECS-002	5	0.4	18	149	8.01	<1	<1	<2	<0.001	2	116
308	ECS-003	828	0.4	26	148	7.54	<1	<1	<2	0.002	4	112
309	ECS-004	<1	0.2	12	152	5.35	<1	<1	12	0.012	4	120
310	ECS-005	<1	0.4	6	119	6.44	<1	<1	<2	0.023	2	94
311	ECS-007	3	0.4	16	173	7.85	<1	<1	2	0.010	<2	106
312	ECS-008	<1	0.2	8	166	8.59	<1	<1	<2	0.013	2	118
313	ECS-009	<1	0.4	4	54	6.52	<1	<1	<2	0.006	<2	98
314	ECS-010	<1	0.4	6	48	6.79	<1	<1	<2	0.014	<2	102
315	ECS-012	<1	0.2	<2	51	6.84	<1	<1	<2	0.008	<2	98
316	ECS-013	<1	0.4	12	50	8.43	<1	<1	<2	0.016	<2	132
317	ECS-014	2	<0.2	4	97	>15.00	<1	<1	<2	0.098	<2	272
318	ECS-015	2	1.4	8	95	14.60	<1	<1	<2	0.090	2	226
319	ECS-016	1	1.2	18	82	>15.00	<1	<1	2	0.032	4	260
320	ECS-017	5	0.4	16	74	>15.00	<1	<1	<2	0.002	<2	262
321	ECS-018	2	<0.2	2	76	>15.00	<1	<1	<2	0.005	<2	254
322	ECS-019	<1	<0.2	16	99	9.14	<1	<1	2	0.003	2	160
323	ECS-020	<1	0.2	8	100	14.50	<1	<1	2	0.012	2	268
324	ECS-021	<1	0.2	14	114	11.30	<1	<1	<2	0.006	<2	204
325	ECS-022	<1	<0.2	14	119	9.78	<1	<1	<2	0.003	<2	192
326	ECS-023	<1	<0.2	22	116	6.25	<1	<1	<2	0.023	<2	114
327	ECS-024	18	<0.2	12	102	5.23	<1	<1	<2	0.187	2	94
328	ECS-025	<1	0.2	38	86	6.03	<1	<1	<2	0.006	6	80
329	ECS-026	1	<0.2	16	94	6.41	<1	<1	<2	<0.001	4	96
330	ECS-027	<1	<0.2	12	85	5.06	<1	<1	<2	0.003	4	68
331	ECS-028	<1	<0.2	12	65	8.75	<1	<1	4	0.014	2	156
332	ECS-029	<1	<0.2	12	88	9.04	<1	<1	<2	0.009	2	144
333	ECS-031	<1	<0.2	14	80	7.35	<1	<1	<2	0.091	2	128
334	ECS-032	<1	<0.2	16	78	9.20	<1	<1	<2	0.004	<2	160
335	ECS-033	<1	<0.2	12	83	>15.00	<1	<1	<2	0.005	<2	264
336	ECS-034	<1	<0.2	<2	81	8.09	<1	<1	<2	0.048	<2	138
337	ECS-035	<1	<0.2	14	83	8.15	<1	<1	<2	0.020	<2	142
338	ECS-036	<1	<0.2	<2	58	14.15	<1	<1	<2	0.015	<2	228
339	ECS-037	<1	<0.2	4	98	9.28	<1	<1	<2	0.014	<2	170
340	ECS-038	<1	<0.2	16	97	12.00	<1	<1	<2	0.017	2	224
341	ECS-039	<1	0.2	20	102	10.90	<1	<1	<2	0.032	4	196
342	ECS-040	630	<0.2	12	78	4.99	<1	<1	6	0.049	2	78
343	ECS-041	195	<0.2	18	82	5.46	<1	<1	2	0.022	2	74
344	ECS-042	1725	<0.2	2	49	>15.00	1	<1	<2	0.027	<2	148
345	ECS-043	2100	<0.2	16	77	9.73	<1	<1	<2	0.038	2	92
346	ECS-044	378	<0.2	<2	66	8.37	<1	<1	<2	0.039	<2	78
347	ECS-045	55	<0.2	<2	56	>15.00	<1	<1	<2	0.109	<2	198
348	ECS-046	<1	<0.2	12	70	3.18	<1	<1	<2	0.005	<2	54
349	ECS-047	1	0.2	12	204	9.18	<1	<1	<2	0.022	<2	88
350	ECS-048	1	0.2	20	109	12.35	<1	<1	<2	0.009	<2	108
351	ECS-049	76	0.4	16	132	6.88	<1	<1	<2	<0.001	<2	98
352	ECS-050	3	0.4	18	107	7.06	<1	<1	<2	0.007	<2	92
353	ECS-051	84	0.2	26	138	6.40	<1	<1	<2	0.006	2	94
354	ECS-052	2	0.4	12	63	8.86	<1	<1	<2	<0.001	<2	68
355	ECS-053	25	0.4	8	58	10.15	<1	<1	<2	0.003	<2	68
356	ECS-054	3	0.4	8	102	13.05	<1	<1	<2	0.003	<2	138
357	ECS-055	<1	0.4	12	103	11.40	<1	<1	<2	0.005	2	118
358	ECS-056	37	0.2	8	97	14.65	<1	<1	<2	0.006	2	130
359	ECS-057	2	0.4	36	168	7.74	<1	<1	<2	0.001	4	124
360	ECS-058	28	0.4	24	112	8.88	<1	<1	<2	0.009	2	104
361	ECS-059	1	0.2	22	150	7.40	<1	<1	6	0.013	<2	168
362	ECS-060	2	0.4	12	75	11.55	<1	<1	<2	<0.001	<2	184
363	ECS-061	1	0.2	4	77	7.64	<1	<1	2	0.007	<2	118
364	ECS-062	42	0.4	6	65	9.08	<1	<1	<2	0.002	<2	142
365	ECS-063	4	0.2	2	43	12.85	<1	<1	<2	0.003	<2	194
366	ECS-064	<1	<0.2	<2	52	14.60	<1	<1	<2	0.004	<2	240
367	ECS-065	<1	0.4	8	56	8.28	<1	<1	<2	0.004	<2	126
368	ECS-066	3	0.2	4	85	8.60	<1	<1	<2	0.002	2	106
369	ECS-067	6	0.2	6	131	6.76	<1	<1	<2	0.003	4	92
370	ECS-068	4	0.4	26	152	6.98	<1	<1	<2	<0.001	4	96
371	ECS-069	58	0.2	8	94	5.83	<1	<1	<2	0.007	2	96
372	ECS-070	2	0.2	2	109	6.48	<1	<1	<2	0.002	2	102
373	ECS-071	5	<0.2	12	89	5.49	<1	<1	<2	0.130	<2	86
374	ECS-072	5	0.2	22	114	6.87	<1	<1	<2	0.007	<2	102
375	ECS-073	5	<0.2	10	108	6.61	<1	<1	<2	0.006	<2	108
376	ECS-074	16	0.2	12	82	6.23	<1	<1	<2	0.019	2	102
377	ECS-075	14	0.2	12	137	8.60	<1	<1	<2	0.005	2	118
378	ECS-076	6	<0.2	2	94	6.47	<1	<1	<2	0.008	<2	96
379	ECS-077	102	<0.2	12	93	6.06	<1	<1	<2	0.004	<2	86
380	ECS-078	438	0.2	16	146	7.34	<1	<1	<2	0.010	2	128
381	ECS-079	6	<0.2	8	162	7.98	<1	<1	<2	0.004	<2	100
382	ECS-080	45	0.2	2	138	7.92	<1	<1	<2	0.006	<2	96
383	ECS-081	354	<0.2	22	156	9.28	<1	<1	<2	0.003	<2	94
384	ECS-082	41	<0.2	18	157	8.61	<1	<1	<2	0.003	<2	96
385	ECS-083	327	<0.2	12	127	>15.00	<1	<1	<2	0.011	<2	82
386	ECS-084	295	<0.2	18	127	7.17	<1	<1	<2	0.008	2	94
387	ECS-085	80	<0.2	24	121	8.44	<1	<1	<2	0.003	2	100
388	ECS-086	3940	<0.2	18	118	6.79	<1	<1	<2	0.008	<2	100
389	ECS-087	13	<0.2	26	123	5.80	<1	<1	2	0.009	4	102
390	ECS-088	2	<0.2	24	110	5.49	<1	<1	<2	0.020	<2	88
391	ECS-089	71	<0.2	22	104	5.21	<1	<1	<2	0.016	2	96
392	ECS-090	1	<0.2	36	127	5.55	<1	<1	<2	0.010	6	104
393	ECS-091	3	<0.2	<2	109	7.85	<1	<1	2	0.011	<2	82
394	ECS-092	231	<0.2	4	132	6.82	<1	<1	8	0.007	<2	96
395	ECS-093	7	<0.2	<2	111	8.24	<1	<1	28	0.005	<2	86
396	ECS-094	5	<0.2	<2	131	7.12	<1	<1	8	0.010	2	92
397	ECS-095	2	<0.2	4	138	6.35	<1	<1	2	0.007	<2	96
398	ECS-096	<1	<0.2	<2	127	7.18	<1	<1	6	0.017	<2	100
399	ECS-097	2	<0.2	<2	112	6.20	<1	<1	4	0.024	<2	86
400	ECS-098	5	<0.2	14	118	6.73	<1	<1	<2	0.021	<2	88

付表10 カタンドウアネス島の河床堆積物試料分析結果一覧表(5)

No.	Element Unit	Au ppb	Ag ppm	As ppm	Cu ppm	Fe %	Hg ppm	Mo ppm	Pb ppm	S % Total	Sb ppm	Zn ppm
401	FCS-099	2	<0.2	14	103	6.48	<1	1	2	0.033	<2	80
402	FCS-001	1	<0.2	4	191	8.91	<1	1	6	0.037	<2	112
403	FCS-002	3	<0.2	20	131	8.32	<1	<1	<2	0.018	<2	100
404	FCS-003	7	<0.2	22	121	11.20	<1	<1	4	0.014	<2	176
405	FCS-004	1	<0.2	6	159	11.60	<1	<1	8	0.012	<2	122
406	FCS-005	1	<0.2	20	128	7.91	<1	<1	10	0.013	<2	92
407	FCS-006	1	<0.2	<2	158	>15.00	<1	<2	6	0.011	4	160
408	FCS-007	<1	<0.2	4	154	>15.00	<1	<1	16	0.004	<2	168
409	FCS-008	<1	<0.2	20	150	8.65	<1	<1	6	0.008	<2	102
410	FCS-009	<1	<0.2	16	169	10.25	<1	<1	8	0.006	<2	124
411	FCS-010	<1	<0.2	14	170	12.05	<1	<1	10	0.005	<2	150
412	FCS-011	<1	<0.2	14	155	13.20	1	1	12	0.004	<2	210
413	FCS-012	<1	<0.2	6	192	>15.00	<1	3	16	0.001	<2	160
414	FCS-013	<1	<0.2	<2	157	>15.00	<1	<2	8	0.003	<2	206
415	FCS-014	<1	<0.2	16	127	7.49	<1	<1	<2	0.008	<2	94
416	FCS-015	<1	<0.2	6	118	10.95	<1	<1	8	0.010	<2	116
417	FCS-016	<1	<0.2	12	162	12.75	<1	<1	14	0.004	<2	128
418	FCS-017	<1	<0.2	6	93	>15.00	<1	<2	2	0.008	<2	204
419	FCS-018	<1	<0.2	18	126	9.55	<1	<1	8	0.016	<2	138
420	FCS-019	<1	<0.2	14	130	9.01	<1	<1	6	0.018	<2	130
421	FCS-020	<1	<0.2	16	130	9.34	<1	<1	<2	0.023	<2	128
422	FCS-021	<1	<0.2	14	122	12.60	<1	3	10	0.012	<2	164
423	FCS-022	<1	<0.2	4	94	>15.00	<1	<1	2	0.010	<2	160
424	FCS-023	<1	<0.2	10	81	9.89	<1	<1	12	0.013	<2	132
425	FCS-024	<1	<0.2	8	81	9.46	<1	<1	2	0.007	<2	130
426	FCS-025	<1	<0.2	14	80	12.30	<1	<1	<2	0.005	<2	178
427	FCS-026	<1	<0.2	6	70	13.25	<1	<1	14	0.007	<2	182
428	FCS-027	<1	<0.2	4	102	9.13	<1	<1	10	0.020	4	184
429	FCS-028	<1	<0.2	16	133	8.52	<1	<1	10	0.027	<2	108
430	FCS-029	<1	<0.2	28	94	9.80	<1	<2	12	0.009	<2	114
531	FCS-030	<1	<0.2	4	115	8.85	<1	<1	2	0.019	<2	114
432	FCS-031	<1	<0.2	18	127	7.70	<1	<1	4	0.018	<2	112
433	FCS-032	<1	<0.2	10	120	9.56	<1	<1	6	0.016	<2	124
434	FCS-033	<1	<0.2	8	125	8.11	<1	<1	4	0.011	<2	114
435	FCS-034	<1	<0.2	8	124	8.74	<1	<1	4	0.015	<2	114
436	FCS-035	<1	<0.2	6	114	7.01	<1	<1	<2	0.015	<2	104
437	FCS-036	4	<0.2	20	145	10.90	<1	<1	6	0.016	<2	136
438	FCS-037	1	<0.2	20	146	8.12	<1	<1	4	0.016	<2	122
439	FCS-038	3	<0.2	12	127	10.00	<1	<1	<2	0.017	<2	126
440	FCS-039	<1	<0.2	<2	138	7.25	<1	<1	4	0.017	<2	104
441	FCS-040	<1	<0.2	14	156	10.45	<1	<1	2	0.021	<2	116
442	FCS-041	<1	<0.2	16	152	11.65	<1	<1	4	0.017	<2	118
443	FCS-042	<1	<0.2	14	153	9.67	<1	<2	8	0.016	<2	110
444	FCS-043	<1	<0.2	<2	76	>15.00	3	<1	<2	0.003	4	160
445	FCS-044	<1	<0.2	<2	89	10.10	1	<1	<2	0.012	4	102
446	FCS-045	<1	<0.2	2	70	14.85	<1	<1	2	0.011	4	120
447	FCS-046	<1	<0.2	18	112	11.10	1	<1	<2	0.010	4	132
448	FCS-047	<1	<0.2	16	86	9.56	1	<1	8	0.010	4	110
449	FCS-048	<1	<0.2	8	82	13.80	<1	<1	10	0.005	<2	120
450	FCS-049	<1	<0.2	18	91	13.55	1	<1	4	0.016	<2	118
451	FCS-050	<1	<0.2	18	84	13.75	2	<1	4	0.010	<2	116
452	FCS-051	<1	<0.2	40	149	7.75	2	<1	14	0.021	<2	102
453	FCS-052	2	<0.2	8	117	>15.00	2	<1	8	0.011	<2	154
454	FCS-053	2	<0.2	16	111	8.39	1	<1	2	0.015	<2	86
455	FCS-054	<1	<0.2	24	107	6.63	1	<1	<2	0.021	<2	88
456	FCS-055	3	<0.2	18	107	7.16	2	<1	<2	0.007	<2	86
457	FCS-056	768	<0.2	18	103	7.43	<1	<1	<2	0.020	<2	88
458	FCS-057	38	<0.2	8	115	7.66	<1	<1	<2	0.011	<2	98
459	FCS-058	3410	<0.2	24	125	8.01	<1	<1	14	0.032	<2	98
460	FCS-059	<1	<0.2	38	124	6.66	<1	<1	8	0.020	<2	102
461	FCS-060	328	<0.2	24	128	7.63	<1	<1	<2	0.009	<2	108
462	FCS-061	2	<0.2	8	125	6.69	<1	<1	2	0.027	<2	104
463	FCS-062	120	<0.2	16	124	5.53	<1	<1	2	0.019	<2	98
464	FCS-063	1	<0.2	12	73	5.42	2	<1	6	0.001	<2	82
465	FCS-064	1625	<0.2	30	102	6.21	<1	<1	10	0.011	4	84
466	FCS-065	7	<0.2	26	113	6.60	<1	<1	<2	0.022	<2	100
467	FCS-066	134	<0.2	20	121	6.89	<1	<1	<2	0.017	4	102
468	FCS-067	44	<0.2	16	101	5.67	<1	<1	4	<0.001	4	82
469	FCS-068	3	<0.2	8	95	13.90	<1	<1	<2	0.022	4	160
470	FCS-069	1	<0.2	24	114	9.79	<1	<1	4	0.015	4	128
471	FCS-070	<1	<0.2	12	117	10.45	<1	<1	12	0.020	2	124
472	FCS-071	<1	<0.2	22	132	10.85	<1	<1	<2	<0.001	<2	134
473	FCS-072	<1	<0.2	22	121	10.60	<1	<1	4	0.010	<2	150
474	FCS-073	<1	<0.2	26	118	>15.00	<1	4	4	0.016	2	214
475	FCS-074	<1	<0.2	22	130	9.97	<1	<1	<2	0.018	4	130
476	FCS-075	<1	<0.2	16	110	>15.00	<1	1	<2	0.014	4	194
477	FCS-076	<1	<0.2	18	116	>15.00	1	2	<2	0.023	8	202
478	FCS-077	<1	<0.2	22	109	>15.00	<1	1	<2	0.016	4	224
479	FCS-078	11	<0.2	22	122	12.05	2	1	6	0.001	<2	180
480	FCS-079	<1	<0.2	<2	79	13.55	<1	1	<2	0.009	8	152
481	FCS-080	47	<0.2	10	97	7.92	<1	<1	<2	0.008	6	98
482	FCS-081	2	<0.2	16	91	9.34	<1	<1	2	0.004	4	112
483	FCS-082	<1	<0.2	6	65	12.30	<1	<1	<2	0.007	2	134
484	FCS-083	<1	<0.2	12	73	12.00	<1	<1	<2	0.003	8	134
485	FCS-084	2	<0.2	6	68	10.10	<1	<1	<2	0.006	6	114
486	FCS-085	2	<0.2	8	121	8.41	<1	<1	14	0.003	<2	98
487	FCS-086	4	<0.2	8	128	9.39	<1	<1	4	0.007	<2	104
488	FCS-087	2	<0.2	22	115	8.57	<1	<1	<2	0.003	4	96
489	FCS-088	3	<0.2	2	112	11.25	<1	<1	2	0.006	4	122
490	FCS-089	3	<0.2	2	131	8.58	<1	<1	2	0.005	2	112
491	FCS-090	2	<0.2	6	127	9.20	<1	<1	<2	0.006	2	106
492	FCS-091	25	<0.2	16	159	7.41	<1	<1	2	0.002	4	100
493	FCS-092	26	<0.2	8	166	6.81	<1	<1	<2	0.004	6	112
494	FCS-093	141	<0.2	4	148	7.77	1	1	<2	0.003	2	96
495	FCS-094	634	<0.2	8	142	6.59	<1	<1	<2	0.004	<2	98
496	FCS-095	107	<0.2	18	149	7.09	<1	<1	<2	0.004	2	94
497	FCS-096	3	<0.2	8	155	7.29	<1	<1	<2	0.006	<2	112
498	FCS-097	<1	<0.2	4	139	8.83	<1	<1	2	0.006	<2	138
499	FCS-098	3	<0.2	26	157	7.61	1	<1	<2	0.007	<2	116
500	FCS-099	2	<0.2	16	152	7.42	1	<1	<2	0.001	<2	106

付表10 カタンドゥアネス島の河床堆積物試料分析結果一覧表(8)

No.	Element Unit	Au ppb	Ag ppm	As ppm	Cu ppm	Fe %	Hg ppm	Mo ppm	Pb ppm	S % Total	Sb ppm	Zn ppm
701	HCS-095	3	<0.2	<2	132	7.55	<1	<1	<2	0.005	<2	104
702	HCS-096	2	<0.2	<2	108	9.19	<1	<1	<2	0.005	<2	90
703	HCS-097	2	<0.2	<2	122	8.47	<1	<1	<2	0.005	<2	100
704	HCS-098	3	<0.2	<2	137	7.08	<1	<1	<2	0.008	<2	104
705	HCS-099	2	<0.2	<2	130	9.09	<1	<1	<2	0.010	<2	112
706	HCS-100	3	<0.2	<2	127	8.67	<1	<1	<2	0.013	<2	108
707	HCS-101	3	<0.2	<2	136	8.59	<1	<1	<2	0.011	<2	106
708	HCS-102	3	<0.2	<2	140	9.54	<1	<1	<2	0.006	<2	110
709	HCS-103	5	<0.2	<2	137	7.34	<1	<1	<2	0.017	<2	112
710	HCS-104	2	<0.2	8	106	5.88	<1	<1	<2	0.017	<2	98
711	HCS-105	80	<0.2	<2	100	9.64	<1	<1	<2	0.019	<2	94
712	HCS-106	4	<0.2	6	159	6.61	<1	<1	<2	0.017	<2	130
713	HCS-107	32	<0.2	4	150	7.40	<1	<1	<2	0.015	2	120
714	HCS-108	13	<0.2	<2	66	4.00	<1	<1	<2	0.001	<2	80
715	HCS-109	3	<0.2	<2	145	8.70	<1	2	2	0.013	<2	64
716	HCS-110	96	<0.2	<2	91	7.92	<1	8	<2	0.030	<2	22
717	HCS-111	33	<0.2	4	96	5.86	<1	<1	<2	0.008	<2	116

付表11 ラファイ島の土壌試料分析結果一覧表(6)

No.	Element Unit	Au ppb	Ag ppm	As ppm	Cu ppm	Fe %	Hg ppm	Mo ppm	Pb ppm	S% Total	Sb ppm	Zn ppm
501	LA-29-08	1.0	<0.2	<2.0	34.0	4.21	<1.0	<1.0	8.0	0.009	<2.0	42.0
502	LA-29-09	45.0	<0.2	<2.0	35.0	5.10	<1.0	<1.0	<2.0	0.002	<2.0	54.0
503	LA-29-10	2.0	<0.2	<2.0	22.0	3.99	<1.0	1.0	<2.0	<0.001	<2.0	34.0
504	LA-29-11	14.0	<0.2	6.0	47.0	3.95	<1.0	<1.0	<2.0	0.002	<2.0	22.0
505	LA-29-12	8.0	<0.2	2.0	55.0	4.27	<1.0	<1.0	<2.0	<0.001	<2.0	44.0
506	LA-29-13	4.0	<0.2	2.0	64.0	4.11	<1.0	<1.0	4.0	<0.001	<2.0	48.0
507	LA-29-14	3.0	<0.2	<2.0	142.0	7.02	<1.0	1.0	<2.0	0.002	<2.0	50.0
508	LA-29-15	3.0	<0.2	2.0	53.0	4.13	<1.0	<1.0	6.0	0.002	<2.0	56.0
509	LA-29-16	2.0	<0.2	2.0	44.0	4.09	<1.0	1.0	<2.0	0.002	4.0	44.0
510	LA-29-17	5.0	<0.2	2.0	52.0	4.35	<1.0	<1.0	6.0	0.004	<2.0	40.0
511	LA-29-18	3.0	<0.2	<2.0	47.0	4.69	<1.0	<1.0	<2.0	0.002	<2.0	40.0
512	LA-29-19	2.0	<0.2	2.0	56.0	4.05	<1.0	<1.0	<2.0	<0.001	<2.0	42.0
513	LA-29-20	10.0	<0.2	4.0	75.0	4.20	<1.0	<1.0	<2.0	<0.001	<2.0	46.0
514	LA-29-21	4.0	<0.2	2.0	85.0	4.81	<1.0	<1.0	<2.0	<0.001	4.0	38.0
515	LA-30-02	16.0	<0.2	2.0	30.0	3.10	<1.0	<1.0	<2.0	0.010	2.0	54.0
516	LA-30-03	4.0	<0.2	<2.0	31.0	2.72	<1.0	<1.0	<2.0	0.006	<2.0	42.0
517	LA-30-04	2.0	<0.2	<2.0	19.0	2.36	<1.0	1.0	<2.0	0.005	<2.0	30.0
518	LA-30-05	5.0	<0.2	<2.0	11.0	2.59	<1.0	<1.0	2.0	0.003	<2.0	28.0
519	LA-30-06	4.0	0.4	2.0	25.0	2.67	<1.0	1.0	<2.0	0.010	<2.0	46.0
520	LA-30-07	3.0	<0.2	8.0	30.0	3.93	<1.0	1.0	8.0	0.010	<2.0	32.0
521	LA-30-08	2.0	<0.2	<2.0	30.0	4.22	<1.0	<1.0	<2.0	<0.001	<2.0	20.0
522	LA-30-09	7.0	<0.2	<2.0	27.0	3.90	<1.0	<1.0	<2.0	<0.001	<2.0	22.0
523	LA-30-10	3.0	<0.2	<2.0	28.0	3.69	<1.0	<1.0	<2.0	0.002	2.0	26.0
524	LA-30-11	5.0	<0.2	<2.0	45.0	3.16	<1.0	<1.0	<2.0	0.007	<2.0	36.0
525	LA-30-12	4.0	<0.2	2.0	43.0	3.29	<1.0	<1.0	<2.0	0.018	<2.0	54.0
526	LA-30-13	3.0	<0.2	2.0	69.0	5.00	<1.0	<1.0	<2.0	0.001	2.0	82.0
527	LA-30-14	2.0	<0.2	2.0	66.0	5.64	<1.0	<1.0	<2.0	0.013	<2.0	48.0
528	LA-30-15	3.0	<0.2	2.0	93.0	6.01	<1.0	<1.0	4.0	0.003	2.0	76.0
529	LA-30-16	3.0	<0.2	4.0	65.0	4.61	<1.0	<1.0	4.0	0.006	2.0	38.0
530	LA-30-17	1.0	<0.2	4.0	41.0	3.97	<1.0	<1.0	2.0	0.012	<2.0	60.0
531	LA-30-18	3.0	<0.2	2.0	61.0	4.53	<1.0	<1.0	4.0	0.007	<2.0	42.0
532	LA-30-19	7.0	<0.2	2.0	51.0	3.62	<1.0	<1.0	<2.0	0.014	<2.0	48.0
533	LA-30-20	24.0	<0.2	22.0	16.0	1.95	<1.0	<1.0	<2.0	0.061	2.0	20.0
534	LA-31-02	11.0	<0.2	<2.0	27.0	3.18	<1.0	<1.0	<2.0	0.013	<2.0	42.0
535	LA-31-03	6.0	<0.2	<2.0	27.0	3.35	<1.0	<1.0	6.0	0.012	2.0	46.0
536	LA-31-04	4.0	<0.2	<2.0	38.0	3.40	<1.0	<1.0	<2.0	0.004	<2.0	50.0
537	LA-31-05	1.0	<0.2	<2.0	9.0	2.36	<1.0	<1.0	6.0	0.011	<2.0	14.0
538	LA-31-06	4.0	<0.2	10.0	22.0	2.71	<1.0	<1.0	<2.0	0.004	2.0	18.0
539	LA-31-07	13.0	<0.2	2.0	17.0	2.08	<1.0	1.0	<2.0	0.011	<2.0	22.0
540	LA-31-08	8.0	0.2	64.0	18.0	1.84	<1.0	1.0	<2.0	0.009	<2.0	12.0
541	LA-31-09	6.0	<0.2	6.0	25.0	4.19	<1.0	<1.0	<2.0	0.001	4.0	26.0
542	LA-31-10	2.0	<0.2	<2.0	32.0	5.72	<1.0	<1.0	2.0	0.003	<2.0	30.0
543	LA-31-11	3.0	<0.2	<2.0	34.0	4.54	<1.0	<1.0	<2.0	0.003	2.0	54.0
544	LA-31-12	1.0	<0.2	<2.0	41.0	3.53	<1.0	<1.0	<2.0	<0.001	<2.0	34.0
545	LA-31-13	9.0	<0.2	<2.0	79.0	5.61	<1.0	<1.0	<2.0	<0.001	2.0	56.0
546	LA-31-14	8.0	<0.2	<2.0	82.0	4.53	<1.0	<1.0	<2.0	<0.001	<2.0	44.0
547	LA-31-15	5.0	<0.2	2.0	66.0	5.79	<1.0	<1.0	<2.0	0.002	4.0	40.0
548	LA-31-16	6.0	<0.2	4.0	64.0	4.85	<1.0	<1.0	<2.0	0.001	<2.0	44.0
549	LA-31-17	<1.0	<0.2	2.0	54.0	4.10	<1.0	<1.0	<2.0	<0.001	<2.0	40.0
550	LA-31-18	2.0	<0.2	<2.0	63.0	5.32	<1.0	<1.0	8.0	<0.001	<2.0	58.0
551	LA-31-19	4.0	<0.2	<2.0	78.0	5.51	<1.0	<1.0	<2.0	0.006	<2.0	60.0
552	LA-31-20	2.0	<0.2	<2.0	82.0	5.12	<1.0	<1.0	214.0	<0.001	<2.0	160.0
553	LA-31-21	2.0	<0.2	<2.0	49.0	4.62	<1.0	1.0	26.0	0.003	2.0	44.0
554	LA-31-22	3.0	<0.2	<2.0	64.0	4.85	<1.0	<1.0	6.0	<0.001	<2.0	38.0
555	LA-32-02	75.0	<0.2	12.0	86.0	2.38	<1.0	<1.0	4.0	0.009	<2.0	48.0
556	LA-32-03	16.0	<0.2	<2.0	27.0	2.20	<1.0	<1.0	<2.0	0.009	2.0	54.0
557	LA-32-04	3.0	<0.2	<2.0	31.0	3.37	<1.0	<1.0	<2.0	0.008	<2.0	48.0
558	LA-32-05	5.0	<0.2	<2.0	32.0	3.92	<1.0	<1.0	<2.0	<0.001	<2.0	48.0
559	LA-32-06	11.0	<0.2	14.0	29.0	2.19	<1.0	1.0	2.0	0.005	<2.0	20.0
560	LA-32-07	7.0	<0.2	2.0	29.0	2.87	<1.0	<1.0	<2.0	0.010	2.0	36.0
561	LA-32-08	2.0	<0.2	<2.0	40.0	3.44	<1.0	<1.0	<2.0	<0.001	<2.0	26.0
562	LA-32-09	2.0	<0.2	<2.0	34.0	4.76	<1.0	<1.0	8.0	<0.001	<2.0	36.0
563	LA-32-10	2.0	<0.2	<2.0	54.0	5.30	<1.0	<1.0	4.0	0.001	<2.0	50.0
564	LA-32-11	8.0	<0.2	<2.0	78.0	5.19	2.0	<1.0	6.0	<0.001	<2.0	64.0
565	LA-32-12	1.0	<0.2	2.0	68.0	4.70	<1.0	<1.0	2.0	0.012	4.0	74.0
566	LA-32-13	<1.0	<0.2	2.0	55.0	3.55	<1.0	<1.0	<2.0	0.003	2.0	44.0
567	LA-32-14	8.0	<0.2	2.0	54.0	3.79	<1.0	<1.0	<2.0	0.008	2.0	40.0
568	LA-32-15	6.0	<0.2	<2.0	53.0	4.31	<1.0	<1.0	2.0	0.020	<2.0	66.0
569	LA-32-16	6.0	<0.2	<2.0	47.0	4.07	<1.0	<1.0	<2.0	<0.001	<2.0	36.0
570	LA-32-17	4.0	<0.2	<2.0	58.0	3.99	<1.0	<1.0	4.0	0.012	<2.0	52.0
571	LA-32-18	2.0	<0.2	<2.0	54.0	4.38	<1.0	<1.0	<2.0	0.004	<2.0	38.0
572	LA-32-19	5.0	<0.2	<2.0	56.0	4.93	<1.0	<1.0	<2.0	0.012	<2.0	36.0
573	LA-32-20	1.0	<0.2	<2.0	64.0	5.73	<1.0	<1.0	4.0	0.011	<2.0	46.0
274	LA-32-21	1.0	<0.2	2.0	69.0	5.63	<1.0	<1.0	2.0	0.012	<2.0	46.0
575	LA-33-01	35.0	<0.2	4.0	19.0	2.23	<1.0	<1.0	<2.0	0.011	<2.0	32.0
576	LA-33-02	2.0	<0.2	8.0	19.0	2.52	<1.0	<1.0	2.0	0.010	<2.0	68.0
577	LA-33-03	6.0	<0.2	<2.0	25.0	3.08	<1.0	2.0	6.0	0.008	<2.0	46.0
578	LA-33-04	6.0	<0.2	4.0	40.0	4.23	<1.0	1.0	<2.0	0.011	<2.0	80.0
579	LA-33-05	15.0	<0.2	<2.0	39.0	2.38	<1.0	1.0	<2.0	0.011	<2.0	8.0
580	LA-33-06	5.0	<0.2	<2.0	39.0	5.54	<1.0	1.0	<2.0	0.013	2.0	8.0
581	LA-33-07	5.0	<0.2	<2.0	45.0	3.08	<1.0	<1.0	<2.0	<0.001	<2.0	16.0
582	LA-33-08	7.0	<0.2	<2.0	24.0	3.44	<1.0	<1.0	<2.0	<0.001	<2.0	16.0
583	LA-33-09	2.0	<0.2	<2.0	49.0	5.33	<1.0	<1.0	8.0	<0.001	<2.0	32.0
584	LA-33-10	3.0	<0.2	2.0	17.0	3.85	<1.0	<1.0	<2.0	0.002	<2.0	28.0
585	LA-33-11	16.0	<0.2	<2.0	65.0	5.53	<1.0	<1.0	8.0	<0.001	<2.0	48.0
586	LA-33-12	15.0	<0.2	<2.0	68.0	5.04	<1.0	<1.0	<2.0	<0.001	<2.0	60.0
587	LA-33-13	3.0	<0.2	<2.0	56.0	4.10	<1.0	<1.0	4.0	0.020	2.0	48.0
588	LA-33-14	10.0	<0.2	<2.0	68.0	4.62	<1.0	<1.0	2.0	0.013	2.0	36.0
589	LA-33-15	9.0	<0.2	<2.0	48.0	5.18	<1.0	<1.0	2.0	0.016	<2.0	30.0
590	LA-33-16	13.0	<0.2	<2.0	84.0	5.40	<1.0	<1.0	2.0	0.014	<2.0	34.0
591	LA-33-17	15.0	<0.2	<2.0	117.0	4.18	<1.0	<1.0	4.0	0.004	2.0	46.0
592	LA-33-18	5.0	<0.2	<2.0	55.0	4.26	<1.0	<1.0	2.0	0.013	2.0	30.0
593	LA-33-19	7.0	<0.2	<2.0	78.0	5.09	<1.0	1.0	6.0	0.015	<2.0	38.0
594	LA-33-20	2.0	<0.2	<2.0	70.0	4.83	<1.0	<1.0	4.0	0.018	<2.0	36.0
595	LA-33-21	4.0	<0.2	2.0	76.0	4.24	<1.0	<1.0				

付表 1 1 ラフィ島の土壌試料分析結果一覧表 (7)

No.	Element Unit	Au ppm	Ag ppm	As ppm	Cu ppm	Fe %	Hg ppm	Mo ppm	Pb ppm	S% Total	Sb ppm	Zn ppm
601	LA-34-06	5.0	<0.2	4.0	36.0	1.83	<1.0	<1.0	<1.0	0.013	<2.0	14.0
602	LA-34-07	10.0	<0.2	2.0	15.0	2.18	<1.0	<1.0	<2.0	0.022	<2.0	16.0
603	LA-34-08	18.0	<0.2	<2.0	25.0	4.12	<1.0	<1.0	<2.0	0.004	<2.0	64.0
604	LA-34-09	11.0	<0.2	6.0	27.0	3.99	<1.0	<1.0	<2.0	0.002	<2.0	50.0
605	LA-34-10	69.0	<0.2	10.0	39.0	2.38	<1.0	2.0	4.0	0.226	<2.0	28.0
606	LA-34-11	29.0	<0.2	2.0	32.0	3.79	<1.0	<1.0	4.0	0.025	<2.0	28.0
607	LA-34-12	19.0	<0.2	2.0	34.0	5.02	<1.0	<1.0	2.0	0.022	<2.0	38.0
608	LA-34-13	23.0	<0.2	12.0	71.0	7.99	<1.0	<1.0	10.0	0.031	<2.0	72.0
609	LA-34-14	13.0	<0.2	<2.0	97.0	5.03	<1.0	<1.0	2.0	<0.001	<2.0	66.0
610	LA-34-15	5.0	0.2	<2.0	73.0	5.31	<1.0	<1.0	<2.0	0.015	<2.0	86.0
611	LA-34-16	4.0	0.2	<2.0	72.0	4.68	<1.0	<1.0	<2.0	0.015	<2.0	66.0
612	LA-34-17	14.0	<0.2	14.0	42.0	2.95	<1.0	<1.0	2.0	0.002	<2.0	36.0
613	LA-34-18	6.0	<0.2	<2.0	33.0	3.96	<1.0	<1.0	<2.0	0.016	<2.0	32.0
614	LA-34-19	12.0	<0.2	16.0	98.0	5.44	<1.0	<1.0	4.0	0.023	<2.0	40.0
615	LA-34-20	9.0	<0.2	<2.0	54.0	5.47	<1.0	<1.0	2.0	0.018	<2.0	32.0
616	LA-34-21	14.0	<0.2	8.0	77.0	5.34	<1.0	<1.0	8.0	0.004	<2.0	52.0
617	LA-34-22	13.0	<0.2	<2.0	74.0	3.94	<1.0	<1.0	<2.0	0.002	<2.0	38.0
618	LA-34-23	9.0	<0.2	<2.0	77.0	4.42	<1.0	<1.0	<2.0	0.015	<2.0	36.0
619	LA-34-24	102.0	<0.2	<2.0	82.0	4.65	<1.0	<1.0	4.0	0.003	<2.0	50.0
620	LA-35-01	379.0	<0.2	24.0	55.0	4.84	<1.0	<1.0	32.0	0.015	<2.0	92.0
621	LA-35-02	95.0	<0.2	2.0	47.0	4.35	<1.0	<1.0	2.0	0.015	<2.0	38.0
622	LA-35-03	83.0	<0.2	6.0	31.0	3.67	<1.0	<1.0	22.0	<0.001	<2.0	108.0
623	LA-35-04	525.0	0.2	4.0	57.0	3.61	<1.0	1.0	182.0	0.002	<2.0	160.0
624	LA-35-05	88.0	<0.2	26.0	25.0	4.10	<1.0	1.0	22.0	0.018	<2.0	38.0
625	LA-35-06	941.0	<0.2	26.0	27.0	3.19	<1.0	<1.0	20.0	0.025	<2.0	60.0
626	LA-35-07	2110.0	0.4	52.0	48.0	3.69	2.0	2.0	140.0	0.031	<2.0	286.0
627	LA-35-08	10.0	<0.2	14.0	20.0	4.04	<1.0	<1.0	2.0	0.022	<2.0	50.0
628	LA-35-09	1.0	0.2	<2.0	24.0	4.03	<1.0	<1.0	2.0	0.023	<2.0	60.0
629	LA-35-10	13.0	<0.2	8.0	38.0	2.39	<1.0	3.0	10.0	1.230	<2.0	52.0
630	LA-35-11	27.0	0.2	6.0	51.0	3.61	<1.0	1.0	8.0	1.710	<2.0	76.0
631	LA-35-12	20.0	<0.2	4.0	55.0	4.31	<1.0	1.0	4.0	0.608	<2.0	74.0
632	LA-35-13	6.0	<0.2	<2.0	66.0	6.50	<1.0	<1.0	2.0	0.029	<2.0	62.0
633	LA-35-14	26.0	<0.2	2.0	66.0	5.27	<1.0	<1.0	4.0	0.003	<2.0	78.0
634	LA-35-15	4.0	<0.2	<2.0	59.0	4.16	<1.0	<1.0	<2.0	<0.001	<2.0	54.0
635	LA-35-16	6.0	<0.2	8.0	61.0	3.80	<1.0	<1.0	<2.0	<0.001	<2.0	56.0
636	LA-35-17	4.0	<0.2	<2.0	54.0	4.42	<1.0	<1.0	<2.0	0.002	<2.0	66.0
637	LA-35-18	34.0	<0.2	<2.0	66.0	6.11	<1.0	<1.0	4.0	0.013	<2.0	52.0
638	LA-35-19	34.0	<0.2	<2.0	52.0	5.92	<1.0	<1.0	14.0	0.019	<2.0	44.0
639	LA-35-20	9.0	<0.2	<2.0	75.0	4.50	<1.0	<1.0	<2.0	0.015	<2.0	50.0
640	LA-35-21	15.0	0.2	<2.0	67.0	4.40	<1.0	<1.0	<2.0	0.003	<2.0	50.0
641	LA-35-22	17.0	<0.2	<2.0	79.0	4.74	<1.0	<1.0	2.0	0.014	<2.0	64.0
642	LA-35-23	26.0	0.2	<2.0	103.0	4.84	<1.0	<1.0	<2.0	0.004	<2.0	68.0
643	LA-35-24	8.0	0.2	<2.0	126.0	5.69	<1.0	<1.0	4.0	0.021	<2.0	50.0
644	LA-36-01	8.0	<0.2	<2.0	89.0	7.79	<1.0	<1.0	<2.0	0.005	<2.0	44.0
645	LA-36-02	12.0	<0.2	2.0	226.0	5.50	<1.0	<1.0	2.0	<0.001	<2.0	66.0
646	LA-36-03	7.0	<0.2	<2.0	73.0	5.01	<1.0	<1.0	<2.0	<0.001	<2.0	58.0
647	LA-36-04	<1.0	<0.2	<2.0	58.0	4.29	<1.0	<1.0	<2.0	<0.001	<2.0	58.0
648	LA-36-05	2.0	<0.2	<2.0	62.0	4.75	<1.0	<1.0	<2.0	<0.001	<2.0	74.0
649	LA-36-06	2.0	0.2	<2.0	66.0	4.62	<1.0	<1.0	<2.0	0.003	<2.0	56.0
650	LA-36-07	50.0	<0.2	<2.0	57.0	3.87	<1.0	<1.0	<2.0	<0.001	<2.0	40.0
651	LA-36-08	2.0	<0.2	6.0	64.0	4.44	<1.0	<1.0	2.0	0.006	<2.0	52.0
652	LA-36-09	2.0	<0.2	6.0	40.0	3.58	<1.0	<1.0	<2.0	0.003	<2.0	36.0
653	LA-36-10	3.0	<0.2	<2.0	51.0	4.91	<1.0	<1.0	<2.0	<0.001	<2.0	42.0
654	LA-36-11	15.0	<0.2	2.0	43.0	3.18	<1.0	<1.0	<2.0	<0.001	<2.0	26.0
655	LA-37-01	11.0	<0.2	<2.0	125.0	8.54	<1.0	<1.0	<2.0	<0.001	<2.0	56.0
656	LA-37-02	3.0	<0.2	4.0	60.0	4.81	<1.0	<1.0	<2.0	<0.001	<2.0	64.0
657	LA-37-03	<1.0	<0.2	<2.0	50.0	3.91	<1.0	<1.0	<2.0	<0.001	<2.0	52.0
658	LA-37-04	7.0	<0.2	<2.0	62.0	3.85	<1.0	<1.0	<2.0	<0.001	<2.0	44.0
659	LA-37-05	4.0	<0.2	<2.0	52.0	3.46	<1.0	<1.0	<2.0	<0.001	<2.0	40.0
660	LA-37-06	4.0	<0.2	2.0	38.0	3.23	<1.0	<1.0	4.0	<0.001	<2.0	50.0
661	LA-37-07	5.0	<0.2	10.0	58.0	3.76	<1.0	<1.0	4.0	<0.001	<2.0	38.0
662	LA-37-08	3.0	<0.2	<2.0	58.0	3.62	<1.0	<1.0	<2.0	<0.001	<2.0	36.0
663	LA-37-09	6.0	<0.2	8.0	62.0	4.68	<1.0	<1.0	4.0	<0.001	<2.0	40.0
664	LA-37-10	6.0	<0.2	6.0	97.0	4.70	<1.0	<1.0	<2.0	0.002	<2.0	48.0
665	LA-37-11	16.0	<0.2	<2.0	57.0	5.04	<1.0	<1.0	2.0	<0.001	<2.0	48.0
666	LA-38-01	21.0	<0.2	16.0	47.0	4.52	1.0	<1.0	<2.0	<0.001	<2.0	52.0
667	LA-38-02	<1.0	<0.2	<2.0	45.0	4.06	<1.0	<1.0	<2.0	<0.001	<2.0	48.0
668	LA-38-03	<1.0	<0.2	12.0	41.0	3.83	1.0	<1.0	<2.0	0.003	2.0	48.0
669	LA-38-04	<1.0	<0.2	<2.0	61.0	4.63	<1.0	<1.0	<2.0	<0.001	<2.0	64.0
670	LA-38-05	2.0	<0.2	2.0	43.0	5.00	<1.0	<1.0	4.0	0.004	<2.0	40.0
671	LA-38-06	1.0	<0.2	6.0	57.0	4.97	<1.0	<1.0	2.0	<0.001	<2.0	40.0
672	LA-38-07	4.0	<0.2	<2.0	45.0	5.06	<1.0	<1.0	<2.0	<0.001	<2.0	50.0
673	LA-38-08	2.0	<0.2	6.0	52.0	4.40	1.0	<1.0	2.0	<0.001	<2.0	34.0
674	LA-38-09	6.0	<0.2	6.0	57.0	3.40	<1.0	<1.0	2.0	0.002	<2.0	32.0
675	LA-38-10	2.0	<0.2	6.0	61.0	4.48	1.0	<1.0	<2.0	<0.001	<2.0	52.0
676	LA-38-11	3.0	<0.2	<2.0	69.0	3.98	<1.0	<1.0	2.0	<0.001	<2.0	44.0
677	LA-38-12	4.0	<0.2	<2.0	53.0	5.11	<1.0	<1.0	2.0	0.003	<2.0	50.0
678	LA-38-13	3.0	<0.2	4.0	72.0	3.02	<1.0	<1.0	4.0	<0.001	<2.0	52.0
679	LA-38-14	2.0	<0.2	10.0	47.0	4.36	<1.0	<1.0	4.0	<0.001	<2.0	42.0
680	LA-39-01	9.0	<0.2	<2.0	96.0	7.50	<1.0	<1.0	<2.0	<0.001	<2.0	62.0
681	LA-39-02	11.0	<0.2	<2.0	48.0	4.34	<1.0	<1.0	2.0	<0.001	<2.0	52.0
682	LA-39-03	3.0	<0.2	<2.0	67.0	4.77	<1.0	<1.0	<2.0	<0.001	<2.0	66.0
683	LA-39-04	<1.0	<0.2	<2.0	42.0	4.49	<1.0	<1.0	<2.0	<0.001	<2.0	66.0
684	LA-39-05	44.0	<0.2	4.0	81.0	5.82	<1.0	<1.0	4.0	0.002	<2.0	44.0
685	LA-39-06	27.0	<0.2	6.0	58.0	3.41	<1.0	<1.0	<2.0	<0.001	<2.0	34.0
686	LA-39-07	1.0	<0.2	6.0	66.0	6.57	<1.0	<1.0	<2.0	<0.001	<2.0	42.0
687	LA-39-08	1.0	<0.2	14.0	73.0	5.39	<1.0	<1.0	4.0	<0.001	<2.0	46.0
688	LA-39-09	1.0	<0.2	<2.0	60.0	4.69	<1.0	<1.0	2.0	<0.001	<2.0	42.0
689	LA-39-10	2.0	<0.2	8.0	62.0	5.40	<1.0	<1.0	4.0	<0.001	<2.0	52.0
690	LA-39-11	3.0	<0.2	<2.0	60.0	4.57	<1.0	<1.0	<2.0	<0.001	<2.0	38.0
691	LA-39-12	2.0	<0.2	<2.0	55.0	6.15	<1.0	<1.0	4.0	<0.001	<2.0	50.0
692	LA-39-13	4.0	<0.2	<2.0	43.0	5.71	<1.0	<1.0	4.0	<0.001	<2.0	40.0
693	LA-39-14	4.0	<0.2	2.0	72.0	3.78	<1.0	<1.0	<2.0	<0.001	<2.0	68.0
694	LA-40-01	8.0	<0.2	6.0	75.0	5.34	1.0	<1.0	2.0	<0.001	<2.0	68.0
695	LA-40-02											

付表11 ラフィ島の土壌試料分析結果一覧表(8)

No.	Element Unit	Au ppm	Ag ppm	As ppm	Cu ppm	Fe %	Hg ppm	No ppm	Pb ppm	S% Total	Sb ppm	Zn ppm
701	LA-40-08	1.0	<0.2	<2.0	59.0	3.29	<1.0	<1.0	<2.0	<0.001	<2.0	34.0
702	LA-40-09	4.0	<0.2	<2.0	43.0	3.89	<1.0	<1.0	<2.0	<0.001	<2.0	30.0
703	LA-40-10	2.0	<0.2	<2.0	85.0	4.27	<1.0	<1.0	<2.0	<0.001	<2.0	68.0
704	LA-40-11	1.0	<0.2	<2.0	81.0	5.14	<1.0	<1.0	2.0	<0.001	<2.0	48.0
705	LA-40-12	6.0	<0.2	<2.0	54.0	5.78	<1.0	<1.0	8.0	<0.001	<2.0	26.0
706	LA-40-13	4.0	<0.2	<2.0	49.0	5.17	<1.0	<1.0	4.0	<0.001	<2.0	36.0
707	LA-40-14	2.0	<0.2	<2.0	41.0	3.93	<1.0	<1.0	2.0	<0.001	<2.0	48.0
708	LA-40-15	<1.0	<0.2	<2.0	39.0	3.76	<1.0	<1.0	4.0	<0.001	<2.0	60.0
709	LA-41-01	11.0	<0.2	<2.0	67.0	4.40	<1.0	<1.0	2.0	0.015	<2.0	98.0
710	LA-41-02	<1.0	<0.2	<2.0	101.0	7.22	<1.0	<1.0	2.0	<0.001	<2.0	84.0
711	LA-41-03	2.0	<0.2	<2.0	62.0	5.33	<1.0	<1.0	2.0	<0.001	<2.0	54.0
712	LA-41-04	5.0	<0.2	<2.0	77.0	4.61	<1.0	<1.0	<2.0	<0.001	<2.0	76.0
713	LA-41-05	12.0	<0.2	<2.0	63.0	3.53	<1.0	<1.0	24.0	<0.001	<2.0	86.0
714	LA-41-06	10.0	<0.2	<2.0	56.0	3.95	<1.0	<1.0	2.0	<0.001	<2.0	44.0
715	LA-41-07	5.0	<0.2	<2.0	54.0	4.48	<1.0	<1.0	4.0	<0.001	<2.0	52.0
716	LA-41-08	10.0	<0.2	<2.0	50.0	4.72	<1.0	<1.0	4.0	<0.001	<2.0	52.0
717	LA-41-09	5.0	<0.2	<2.0	56.0	4.53	<1.0	<1.0	6.0	<0.001	<2.0	32.0
718	LA-41-10	3.0	<0.2	10.0	48.0	5.44	<1.0	<1.0	8.0	<0.001	<2.0	28.0
719	LA-41-11	4.0	<0.2	6.0	36.0	3.64	<1.0	<1.0	4.0	<0.001	<2.0	52.0
720	LA-41-12	1.0	<0.2	2.0	43.0	3.69	<1.0	<1.0	4.0	<0.001	<2.0	40.0
721	LA-41-13	1.0	<0.2	<2.0	30.0	2.86	<1.0	<1.0	<2.0	<0.001	<2.0	48.0
722	LA-41-14	4.0	<0.2	<2.0	37.0	4.09	<1.0	<1.0	8.0	<0.001	<2.0	40.0
723	LA-41-15	2.0	<0.2	<2.0	43.0	3.98	<1.0	<1.0	4.0	<0.001	<2.0	52.0
724	LA-42-01	4.0	<0.2	<2.0	123.0	5.24	<1.0	<1.0	30.0	<0.001	<2.0	56.0
725	LA-42-02	51.0	<0.2	<2.0	92.0	7.11	<1.0	2.0	24.0	<0.001	<2.0	58.0
726	LA-42-03	19.0	<0.2	<2.0	77.0	5.00	<1.0	<1.0	20.0	<0.001	<2.0	58.0
727	LA-42-04	10.0	<0.2	<2.0	84.0	5.04	<1.0	<1.0	22.0	<0.001	<2.0	72.0
728	LA-42-05	5.0	<0.2	<2.0	79.0	4.28	<1.0	<1.0	12.0	<0.001	<2.0	54.0
729	LA-42-06	8.0	<0.2	<2.0	62.0	4.98	<1.0	<1.0	16.0	<0.001	<2.0	34.0
730	LA-42-07	1.0	<0.2	<2.0	46.0	3.75	<1.0	<1.0	14.0	<0.001	<2.0	44.0
731	LA-42-08	3.0	<0.2	<2.0	59.0	4.27	<1.0	1.0	20.0	<0.001	<2.0	56.0
732	LA-42-09	2.0	<0.2	<2.0	46.0	4.01	<1.0	<1.0	18.0	<0.001	<2.0	44.0
733	LA-42-10	2.0	<0.2	<2.0	50.0	4.46	<1.0	1.0	14.0	<0.001	<2.0	42.0
734	LA-42-11	6.0	<0.2	<2.0	47.0	4.30	<1.0	<1.0	18.0	<0.001	<2.0	38.0
735	LA-42-12	<1.0	<0.2	<2.0	34.0	3.86	<1.0	<1.0	12.0	<0.001	<2.0	46.0
736	LA-42-13	35.0	<0.2	<2.0	49.0	5.03	<1.0	1.0	18.0	<0.001	<2.0	44.0
737	LA-42-14	<1.0	<0.2	<2.0	74.0	6.51	<1.0	1.0	20.0	<0.001	2.0	82.0
738	LA-42-15	10.0	<0.2	<2.0	43.0	3.65	<1.0	<1.0	20.0	0.006	<2.0	70.0
739	LA-43-01	3.0	<0.2	<2.0	78.0	5.57	<1.0	<1.0	22.0	<0.001	<2.0	48.0
740	LA-43-02	79.0	<0.2	<2.0	92.0	6.15	<1.0	<1.0	48.0	<0.001	<2.0	68.0
741	LA-43-03	2.0	<0.2	<2.0	84.0	7.59	<1.0	1.0	30.0	<0.001	<2.0	64.0
742	LA-43-04	2.0	<0.2	<2.0	65.0	4.52	<1.0	1.0	16.0	<0.001	2.0	70.0
743	LA-43-05	5.0	<0.2	<2.0	64.0	4.83	<1.0	<1.0	20.0	<0.001	<2.0	50.0
744	LA-43-06	1.0	<0.2	<2.0	40.0	4.18	<1.0	1.0	12.0	0.013	<2.0	28.0
745	LA-43-07	6.0	<0.2	<2.0	54.0	4.92	<1.0	1.0	20.0	0.008	<2.0	28.0
746	LA-43-08	2.0	<0.2	<2.0	86.0	4.30	<1.0	1.0	32.0	<0.001	<2.0	52.0
747	LA-43-09	3.0	<0.2	<2.0	74.0	4.12	<1.0	1.0	18.0	<0.001	<2.0	38.0
748	LA-43-10	15.0	<0.2	<2.0	47.0	5.67	<1.0	1.0	28.0	<0.001	<2.0	46.0
749	LA-43-11	2.0	<0.2	<2.0	48.0	3.92	<1.0	<1.0	22.0	<0.001	<2.0	40.0
750	LA-43-12	3.0	<0.2	<2.0	39.0	4.01	<1.0	<1.0	14.0	<0.001	<2.0	36.0
751	LA-43-13	4.0	<0.2	<2.0	48.0	4.17	<1.0	<1.0	16.0	<0.001	<2.0	38.0
752	LA-44-01	2.0	<0.2	<2.0	73.0	4.98	<1.0	1.0	24.0	<0.001	<2.0	58.0
753	LA-44-02	3.0	<0.2	<2.0	65.0	4.67	<1.0	<1.0	14.0	0.007	<2.0	86.0
754	LA-44-03	1.0	<0.2	<2.0	67.0	4.38	<1.0	<1.0	28.0	0.020	<2.0	48.0
755	LA-44-04	16.0	<0.2	<2.0	72.0	5.17	<1.0	<1.0	26.0	0.011	<2.0	58.0
756	LA-44-05	5.0	<0.2	<2.0	73.0	5.41	<1.0	<1.0	24.0	0.007	<2.0	48.0
757	LA-44-06	15.0	<0.2	<2.0	69.0	4.93	<1.0	<1.0	20.0	0.017	<2.0	76.0
758	LA-44-07	4.0	<0.2	<2.0	60.0	5.23	<1.0	1.0	12.0	0.015	<2.0	58.0
759	LA-44-08	6.0	<0.2	<2.0	53.0	4.12	<1.0	<1.0	16.0	0.015	<2.0	50.0
760	LA-44-09	2.0	<0.2	<2.0	46.0	3.81	<1.0	<1.0	18.0	0.012	<2.0	48.0
761	LA-44-10	2.0	<0.2	<2.0	43.0	3.96	<1.0	<1.0	18.0	0.014	<2.0	54.0
762	LA-44-11	<1.0	<0.2	<2.0	68.0	3.81	<1.0	<1.0	16.0	0.012	2.0	48.0
763	LA-44-12	1.0	<0.2	<2.0	45.0	5.16	<1.0	1.0	16.0	<0.001	<2.0	54.0
764	LA-44-13	2.0	<0.2	<2.0	55.0	3.79	<1.0	1.0	14.0	0.003	<2.0	32.0
765	LA-45-01	2.0	<0.2	<2.0	63.0	4.69	<1.0	<1.0	20.0	0.007	<2.0	44.0
766	LA-45-02	4.0	<0.2	<2.0	66.0	4.52	<1.0	<1.0	12.0	0.009	<2.0	48.0
767	LA-45-03	3.0	<0.2	<2.0	95.0	7.26	<1.0	<1.0	24.0	<0.001	<2.0	64.0
768	LA-45-04	<1.0	<0.2	<2.0	106.0	10.45	<1.0	1.0	24.0	<0.001	<2.0	60.0
769	LA-45-05	56.0	<0.2	<2.0	95.0	6.26	<1.0	<1.0	38.0	<0.001	<2.0	54.0
770	LA-45-06	3.0	<0.2	<2.0	81.0	4.72	<1.0	1.0	22.0	<0.001	<2.0	50.0
771	LA-45-07	19.0	<0.2	<2.0	46.0	4.71	<1.0	1.0	24.0	<0.001	<2.0	56.0
772	LA-45-08	4.0	<0.2	<2.0	74.0	4.26	<1.0	<1.0	4.0	<0.001	2.0	56.0
773	LA-45-09	3.0	<0.2	<2.0	57.0	5.19	<1.0	<1.0	16.0	<0.001	<2.0	48.0
774	LA-45-10	1.0	<0.2	<2.0	65.0	4.46	<1.0	2.0	20.0	<0.001	4.0	40.0
775	LA-45-11	<1.0	<0.2	<2.0	53.0	4.36	<1.0	1.0	22.0	<0.001	<2.0	36.0
776	LA-46-01	3.0	<0.2	<2.0	71.0	4.78	<1.0	1.0	22.0	<0.001	<2.0	46.0
777	LA-46-02	<1.0	<0.2	<2.0	70.0	3.79	<1.0	1.0	22.0	<0.001	<2.0	42.0
778	LA-46-03	<1.0	<0.2	<2.0	71.0	4.65	<1.0	<1.0	22.0	<0.001	<2.0	44.0
779	LA-46-04	6.0	<0.2	<2.0	68.0	4.82	<1.0	<1.0	20.0	<0.001	<2.0	42.0
780	LA-46-05	<1.0	<0.2	<2.0	52.0	3.83	<1.0	<1.0	14.0	<0.001	<2.0	48.0
781	LA-46-06	3.0	<0.2	<2.0	100.0	5.31	<1.0	1.0	24.0	<0.001	<2.0	68.0
782	LA-46-07	20.0	<0.2	<2.0	52.0	4.61	<1.0	1.0	16.0	0.086	2.0	52.0
783	LAD-01	537.0	<0.2	<2.0	52.0	3.80	<1.0	<1.0	86.0	0.006	<2.0	164.0
784	LAD-02	957.0	<0.2	<2.0	33.0	3.38	<1.0	1.0	32.0	0.012	<2.0	76.0
785	LAD-03	313.0	<0.2	<2.0	57.0	3.55	<1.0	<1.0	26.0	0.004	<2.0	52.0
786	LAD-04	49.0	<0.2	<2.0	151.0	4.44	<1.0	1.0	30.0	0.004	<2.0	40.0
787	LAD-05	197.0	<0.2	<2.0	45.0	4.29	<1.0	<1.0	94.0	0.022	<2.0	142.0
788	LAD-06	632.0	<0.2	<2.0	46.0	3.60	<1.0	<1.0	60.0	0.009	2.0	96.0
789	LAE-01	641.0	<0.2	6.0	29.0	2.59	<1.0	2.0	44.0	0.008	4.0	46.0
790	LAE-02	1075.0	0.2	6.0	134.0	3.21	<1.0	2.0	678.0	0.057	<2.0	308.0
791	LAE-03	431.0	<0.2	8.0	61.0	3.05	<1.0	<1.0	96.0	0.014	<2.0	106.0
792	LAE-04	9930.0	0.8	16.0	93.0	4.26	<1.0	1.0	346.0	0.216	<2.0	286.0
793	LAE-05	1345.0	0.2	24.0	150.0	3.90	<1.0	2.0	716.0	0.079	<2.0	308.0
794	LAE-06	285.0	<0.2	<2.0	141.0	4.10	<1.0	1.0	158.0	0.016	<2.0	4

付表11 ラファイ島の土壤試料分析結果一覧表(9)

No.	Element Unit	Au ppb	Ag ppm	As ppm	Cu ppm	Fe %	Hg ppm	Mo ppm	Pb ppm	S% Total	Sb ppm	Zn ppm
801	LAG-04	886.0	<0.2	2.0	44.0	3.15	<1.0	2.0	156.0	0.012	<2.0	706.0
802	LAG-05	149.0	<0.2	<2.0	90.0	4.00	<1.0	1.0	86.0	0.019	<2.0	124.0
803	LAG-06	488.0	<0.2	<2.0	52.0	4.11	<1.0	<1.0	50.0	0.016	<2.0	82.0
804	LAG-07	106.0	<0.2	<2.0	31.0	3.18	<1.0	<1.0	46.0	0.018	<2.0	84.0
805	LAG-08	725.0	0.4	10.0	24.0	3.11	<1.0	1.0	26.0	0.028	<2.0	68.0
806	LAG-09	14.0	0.2	<2.0	45.0	2.89	<1.0	1.0	22.0	0.019	<2.0	46.0
807	LAH-01	75.0	0.2	<2.0	37.0	3.12	<1.0	1.0	22.0	0.011	<2.0	58.0
808	LAH-02	135.0	<0.2	<2.0	22.0	2.11	<1.0	<1.0	22.0	0.019	<2.0	32.0
809	LAH-03	298.0	<0.2	<2.0	22.0	2.07	<1.0	<1.0	12.0	0.022	<2.0	52.0
810	LAH-04	131.0	<0.2	<2.0	20.0	2.61	<1.0	<1.0	24.0	0.015	<2.0	44.0
811	LAH-05	172.0	0.4	6.0	17.0	1.85	<1.0	1.0	32.0	0.013	<2.0	30.0
812	LAH-06	263.0	0.6	10.0	33.0	2.62	<1.0	1.0	40.0	0.005	2.0	30.0
813	ACR-012	27.0	<0.2	2.0	865.0	6.34	<1.0	8.0	24.0	0.011	2.0	36.0
814	ACR-029	2.0	<0.2	<2.0	1055.0	6.38	<1.0	<1.0	20.0	<0.001	4.0	92.0
815	ACR-061	13.0	<0.2	<2.0	507.0	7.76	<1.0	14.0	30.0	<0.001	<2.0	32.0
816	ACR-072	19.0	<0.2	20.0	6230.0	9.30	<1.0	9.0	26.0	0.003	<2.0	640.0

JICA